

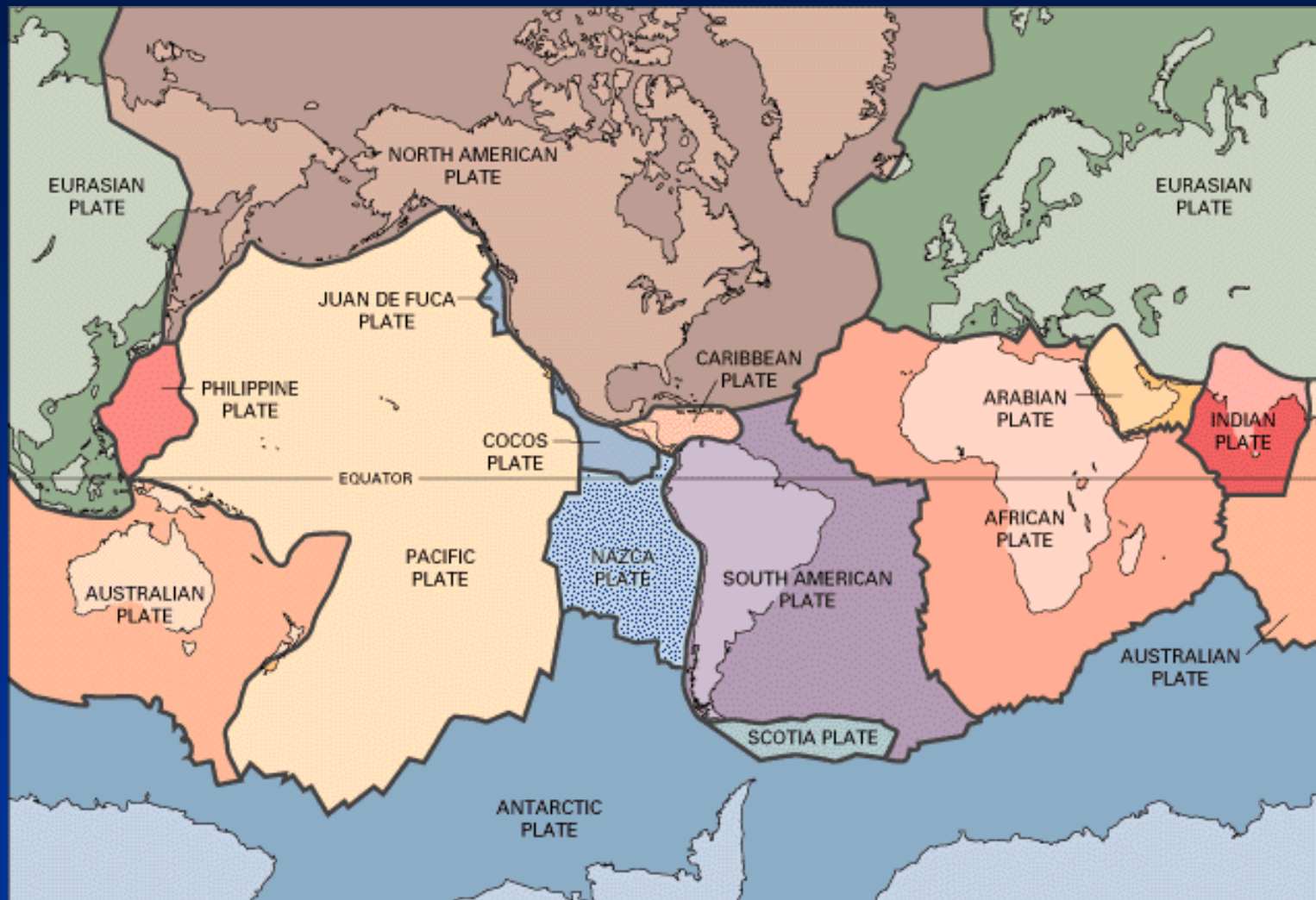
# **Associazioni di strutture tettoniche**

**Dalla scala  
dell'affioramento alla scala  
regionale**

Immagini e fotografie tratte da:

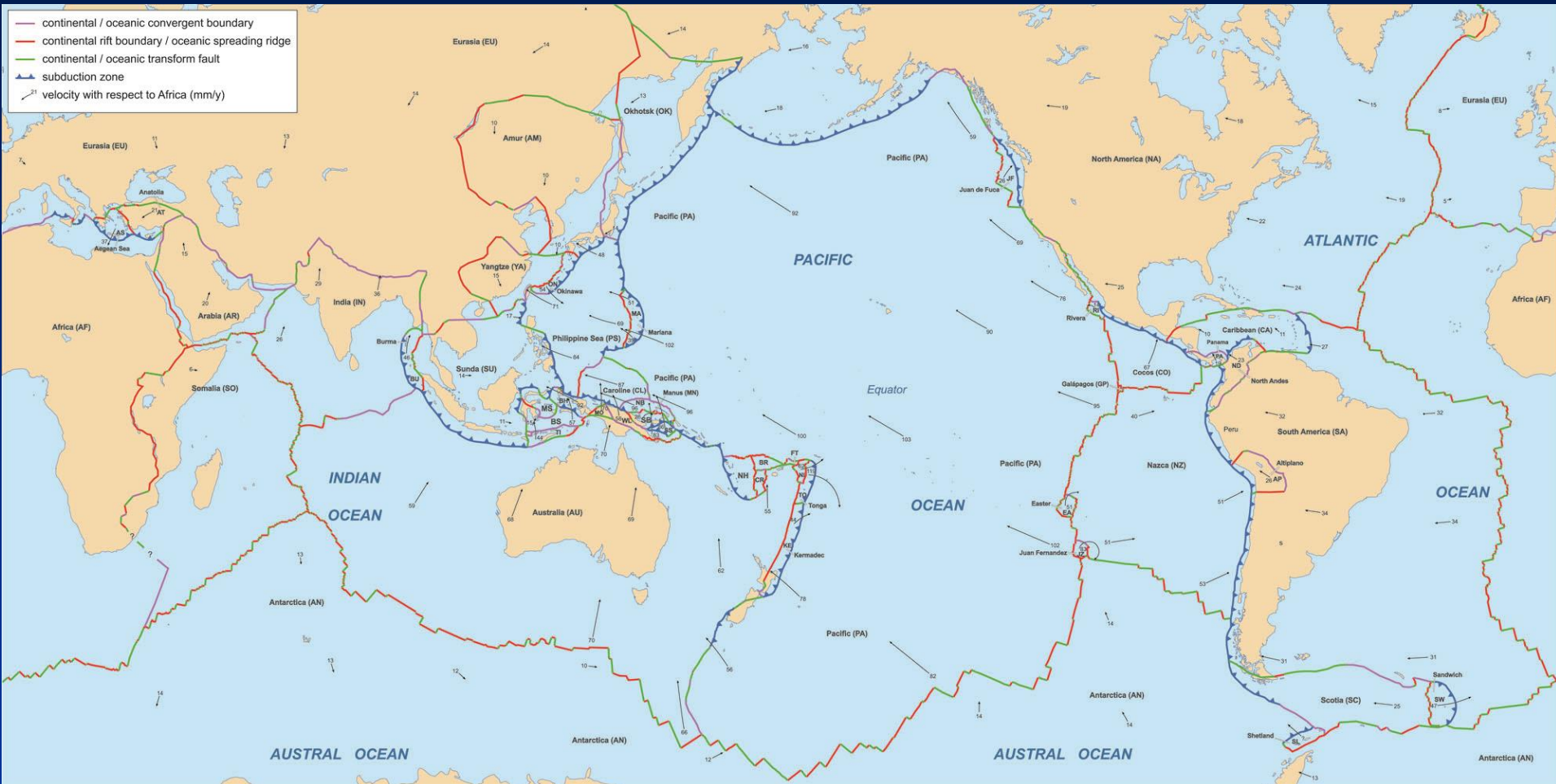
- Bally A.W., Catalano R., Oldow J.S., 1985. Elementi di tettonica regionale. Pitagora Editore.
- Buchanan P.G., McClay K.R., 1991. Sandbox experiments of inverted listric and planar fault systems. *Tectonophysics*, 188, 97-115.
- Chorowitz J., 2005. The East African rift system. *Journal of African Earth Sciences*, 43, 379–410.
- Dijkshoorn L, Clauser C., 2013. Relative importance of different physical processes on upper crustal specific heat flow in the Eifel-Maas region, Central Europe and ramifications for the production of geothermal energy. *Scientific Research*, 5, Article ID:28354.
- Guinot D., Segonzac M., 2018. A review of the brachyuran deep-sea vent community of the western Pacific, with two new species of *Austinograea* Hessler & Martin, 1989 (Crustacea, Decapoda, Brachyura, Bythograeidae) from the Lau and North Fiji Back-Arc Basins. *Zoosystema*, 40, 75-107.
- Hatcher R.D., 1995. *Structural Geology: Principles Concepts and Problems*. Prentice Hall International.
- Kuebler, S. 2013. *Active Tectonics of the Lower Rhine Graben (NW Central Europe): Based on New Paleoseismological Constraints and Implications for Rupture Processes in Unconsolidated Gravels*. PhD thesis, LMU Munich.
- Mantovani, E., Albarello, D., Babbucci, D., Tamburelli, C., Viti, M., 2002. Trench-Arc-BackArc systems in the Mediterranean area: examples of extrusion tectonics. *Journal of Virtual Explorer*, 8, 125–141.
- Mège D. et al., 2015. A major dyke swarm in the Ogaden region south of Afar and the early evolution of the Afar triple junction. In: *Magmatic Rifting and Active Volcanism*. Chapter: 7. Geological Society, London, Special Publications, 420.
- Mercier J., Vergely P., 1996. *Tettonica*. Pitagora Editore.
- Nicolas A., 1984. *Principes de tectonique*. Masson.
- Pini, materiale inedito.
- Ramsay J. G., Huber M. I., 1987. *The Techniques of Modern Structural Geology*. Volume 2: Folds and Fractures. Academic Press Inc.
- Stein S. et al., 2015. Challenges in assessing seismic hazard in intraplate Europe. In: *Geological Society, London, Special Publications*, 432.
- Suppe J., 1985. *Principles of Structural Geology*. Prentice-Hall Inc.
- van der Pluijm B., Marshak S., 2004. *Earth Structure: An Introduction to Structural Geology and Tectonics*, Second Edition. WW Norton & Company.

# Placche tettoniche (semplificate)



Da "The dynamic Earth" in USGS Web Site

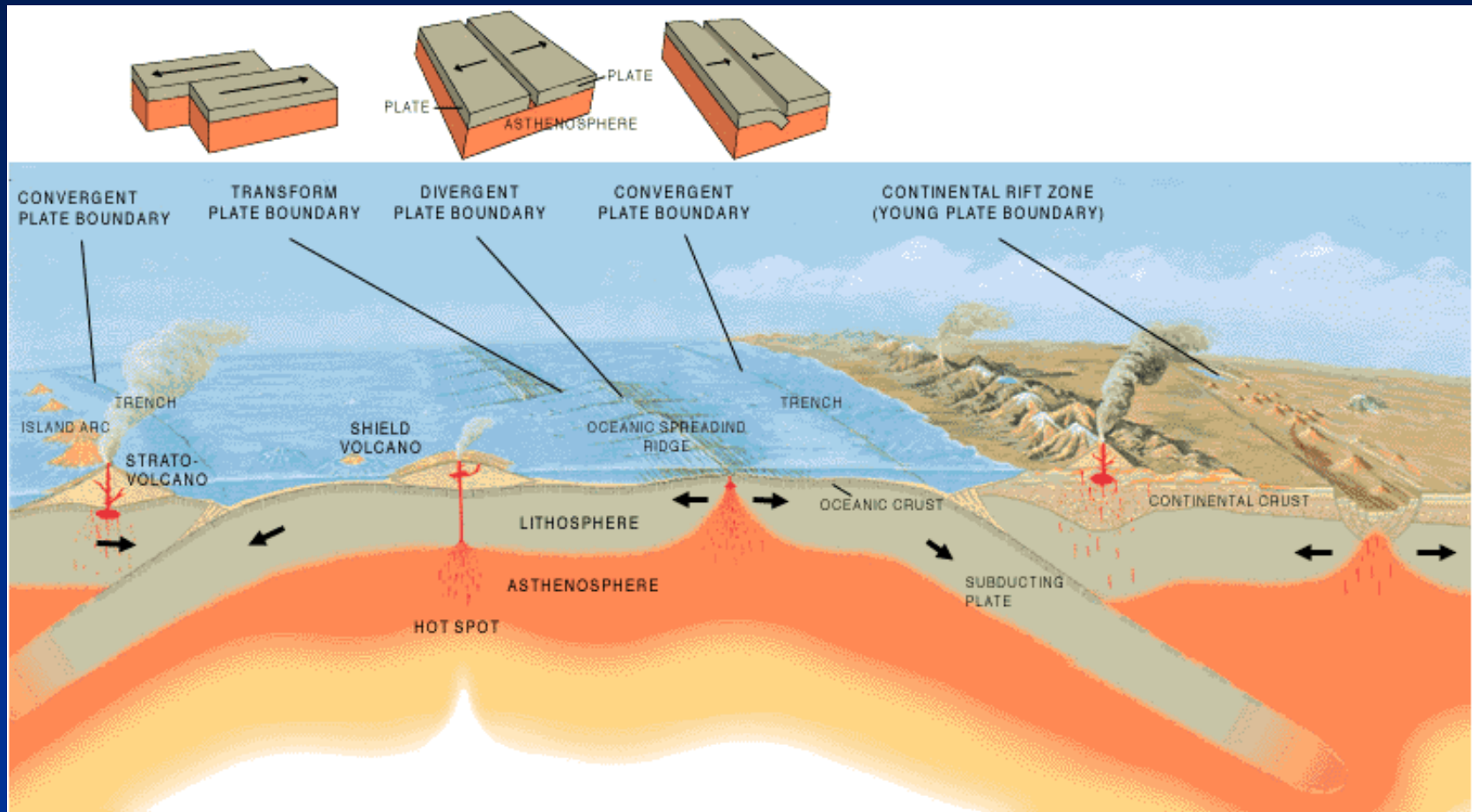
# Placche tettoniche e limiti tra placche



[https://commons.wikimedia.org/wiki/File:Tectonic\\_plates\\_boundaries\\_detailed-en.svg](https://commons.wikimedia.org/wiki/File:Tectonic_plates_boundaries_detailed-en.svg)

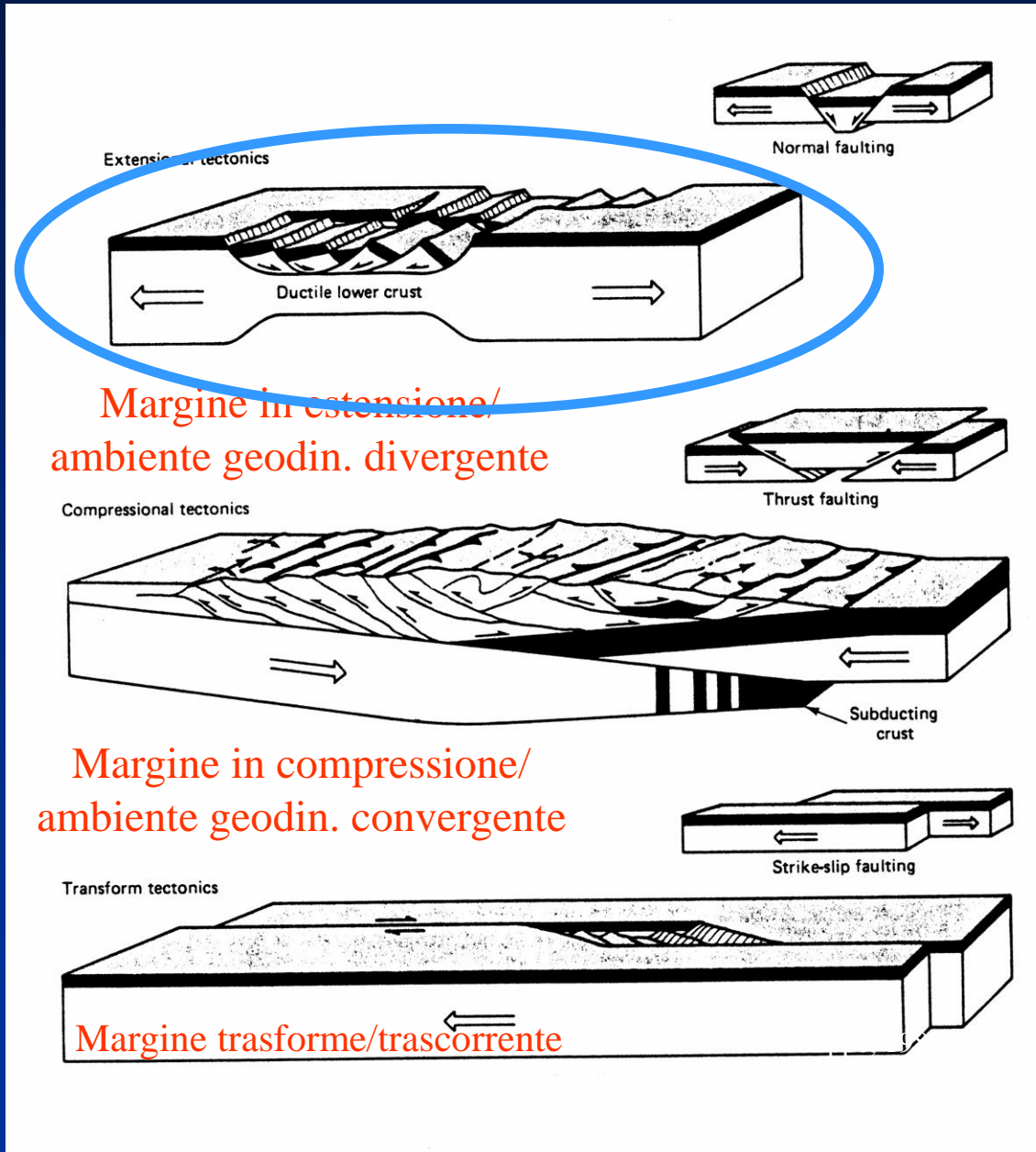


# Tipo di margini di placca e ambienti geodinamici



<http://factsanddetails.com/world/cat51/sub323/item2212.html>

# Tipo di margini di placca e ambienti geodinamici



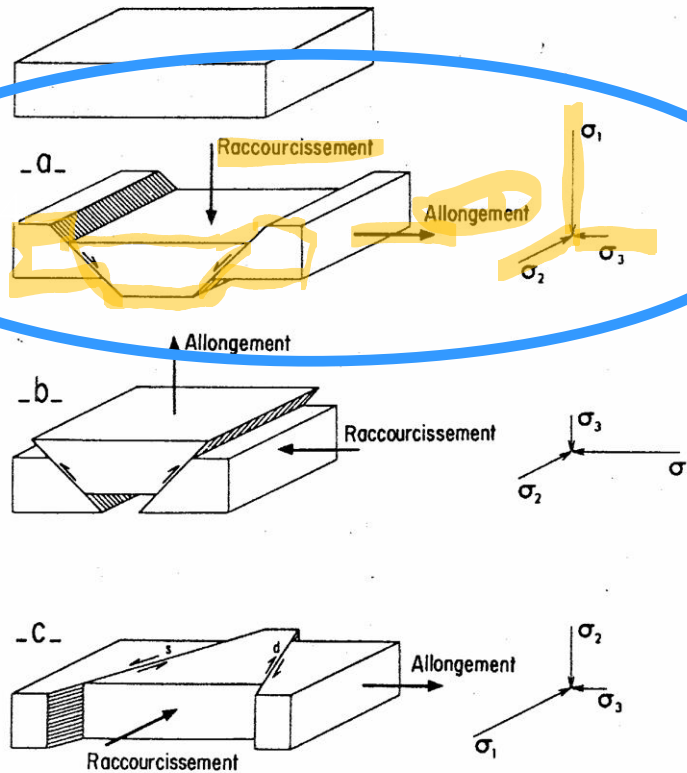
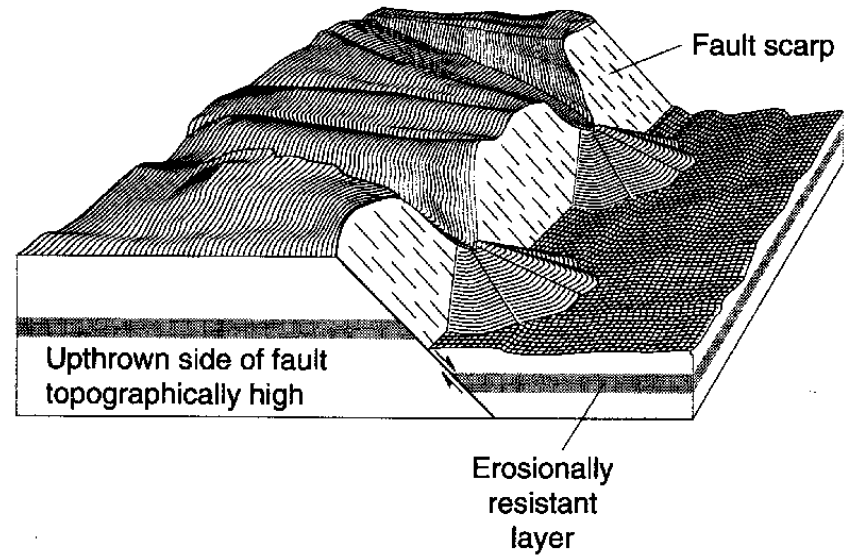


Fig. 5.12 - Systèmes de failles conjuguées. a- Failles normales conjuguées, Failles inverses conjuguées, horst. c- Décrochements dextre et senestre conjon. (Blès et Feuga, 1981. BRGM éd., Orléans).

Da Hatcher, 1995

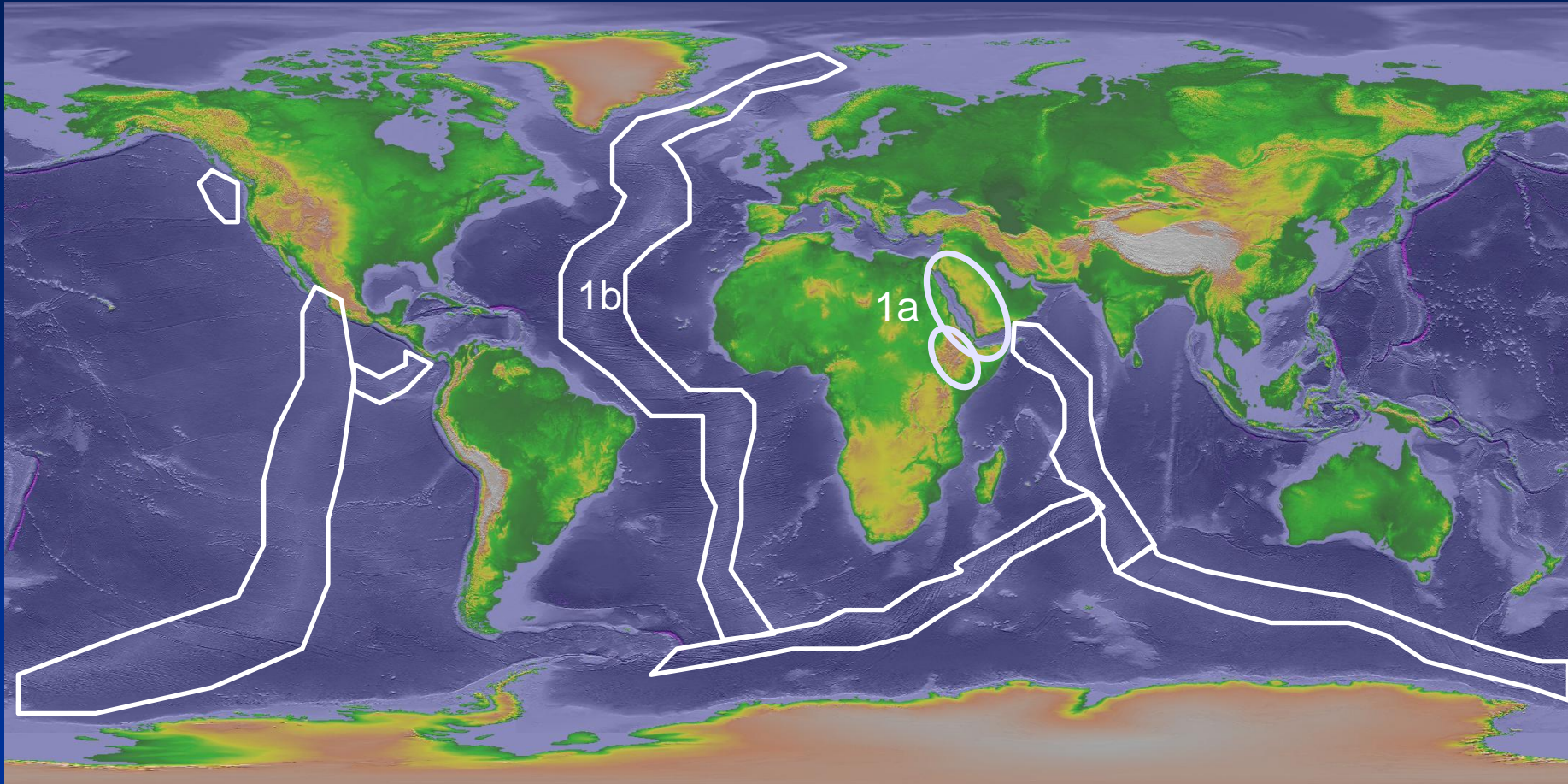


Da Nicolas, 1984



# Associazioni di faglie normali

1) associazioni estensionali in ambienti geodinamici divergenti

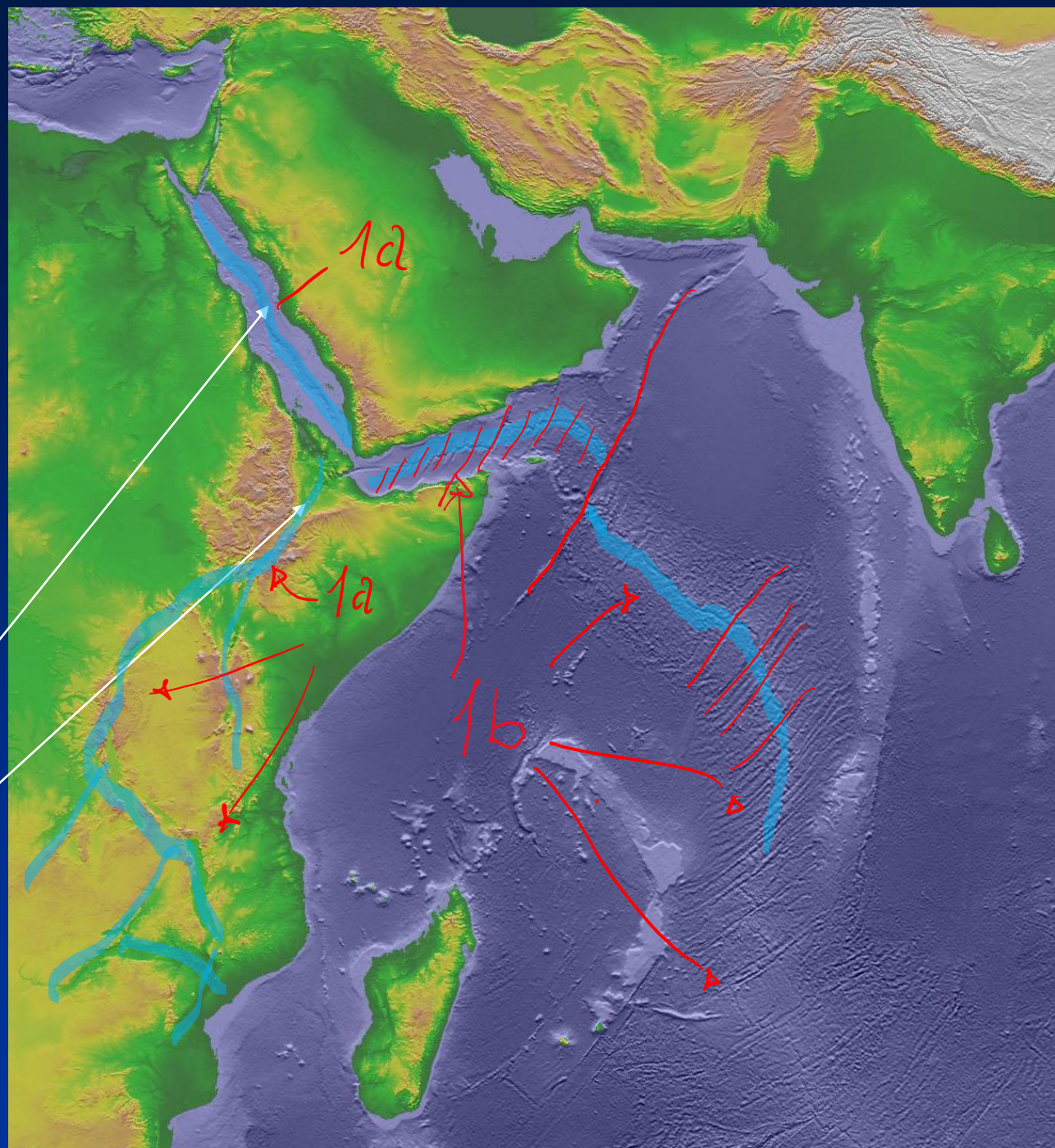




1a) estensione e assottigliamento di crosta continentale che porta a crosta oceanica (*from rift to drift*)

Mar Rosso

Afar, Etiopia, valle del Rift

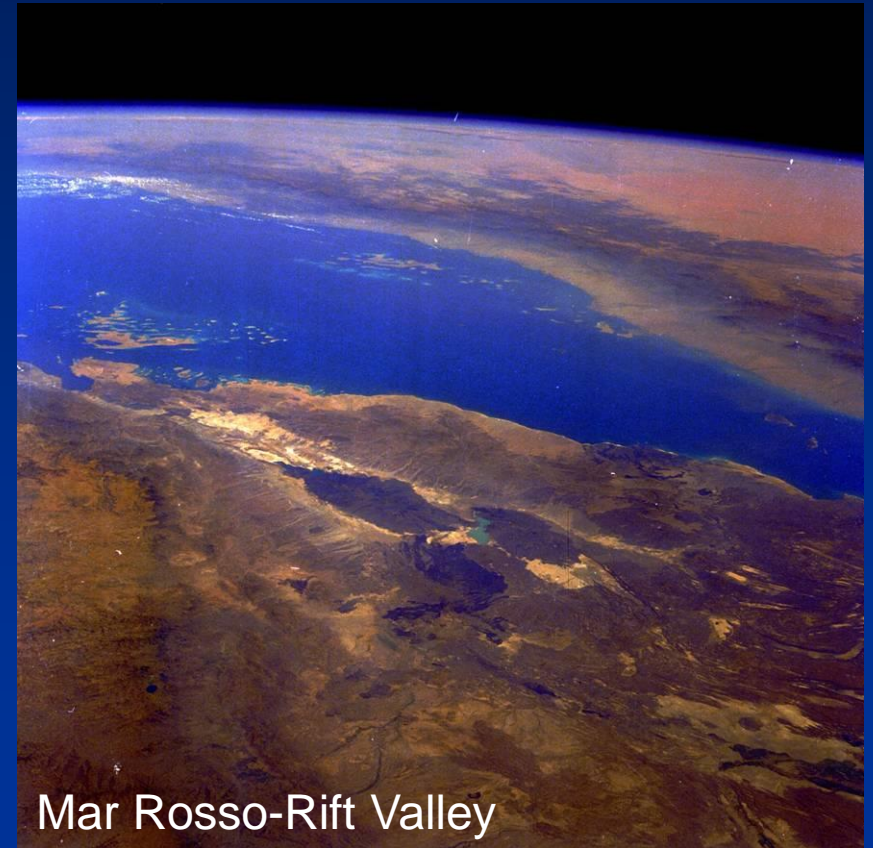
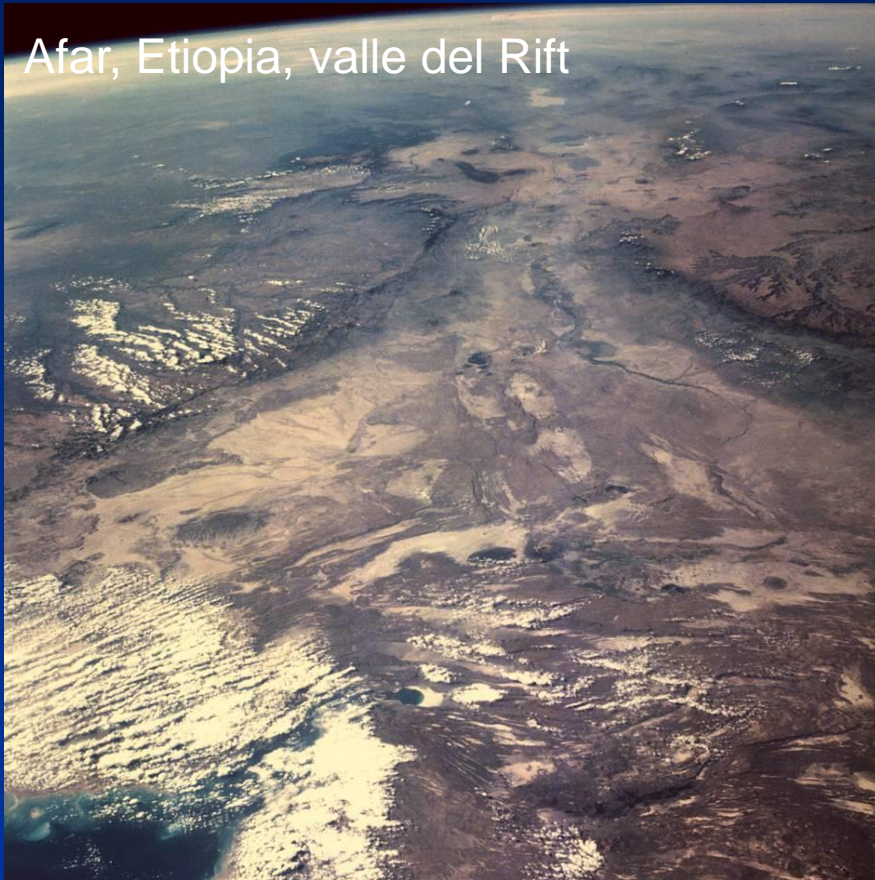




# Associazioni estensionali, ambienti geodinamici divergenti

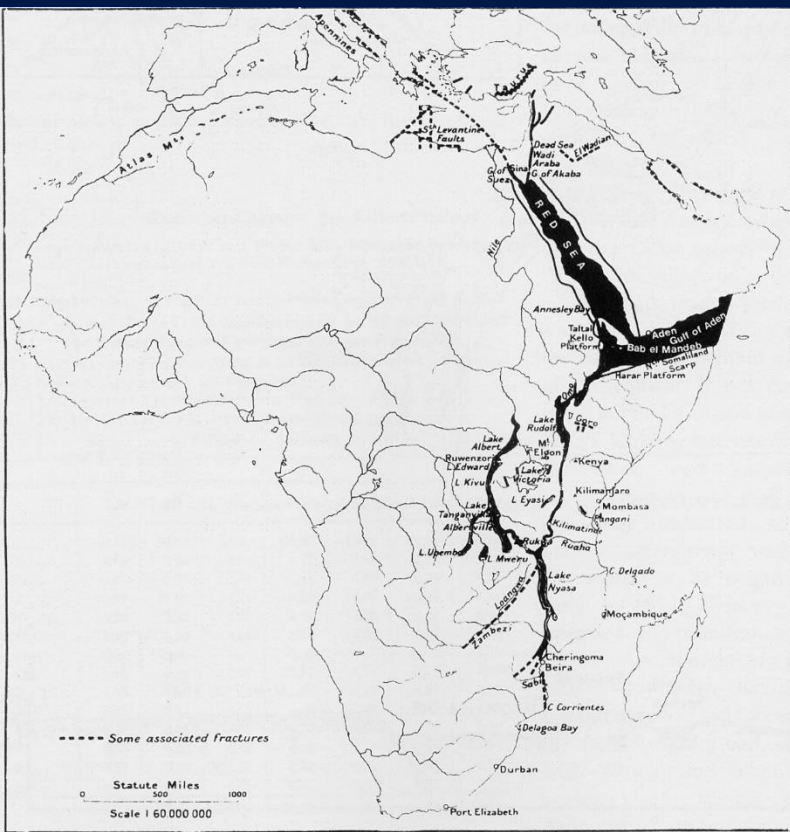
1a) estensione e assottigliamento crosta continentale che porta a crosta oceanica (*from rift to drift*)

Afar, Etiopia, valle del Rift

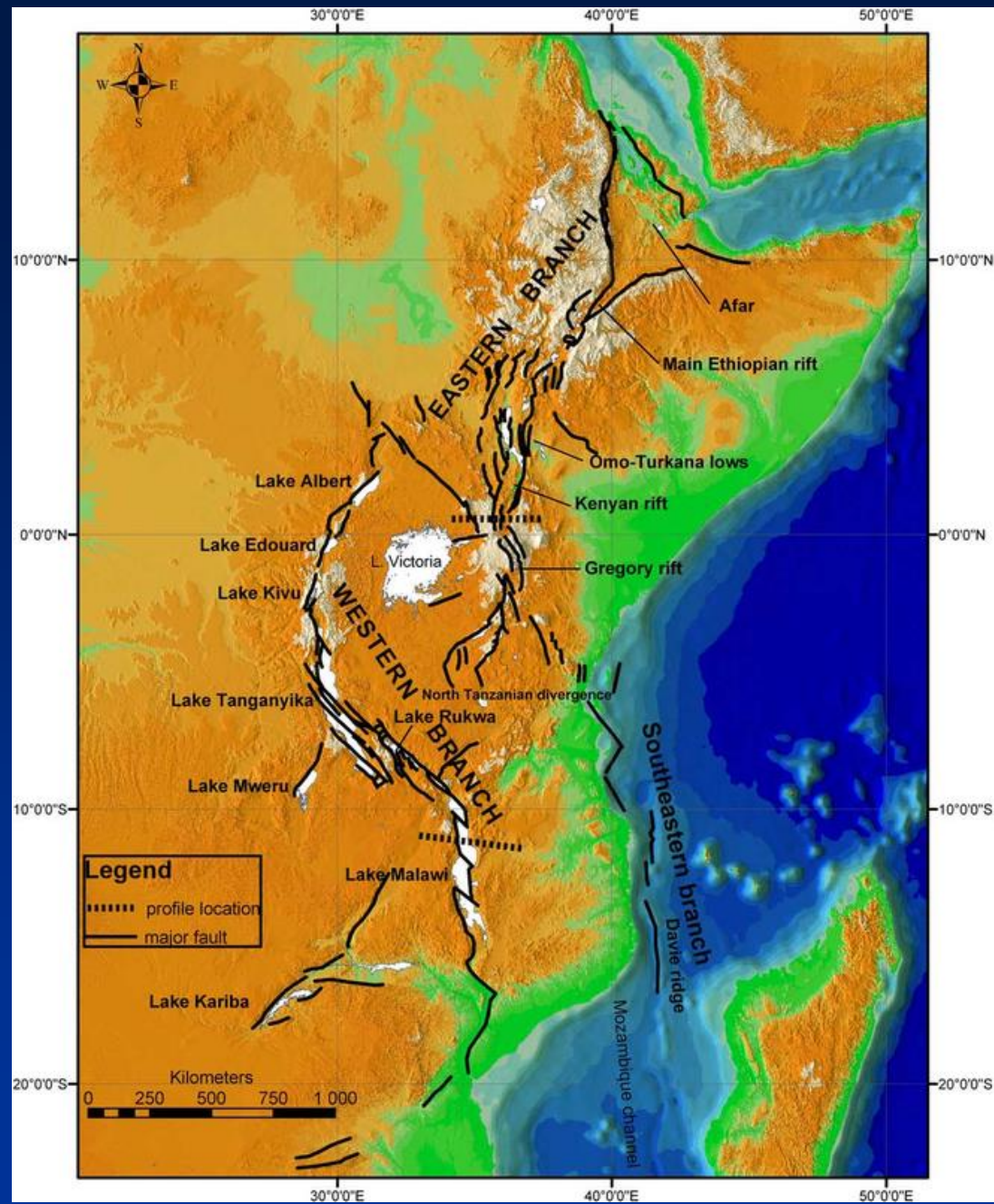


Mar Rosso-Rift Valley



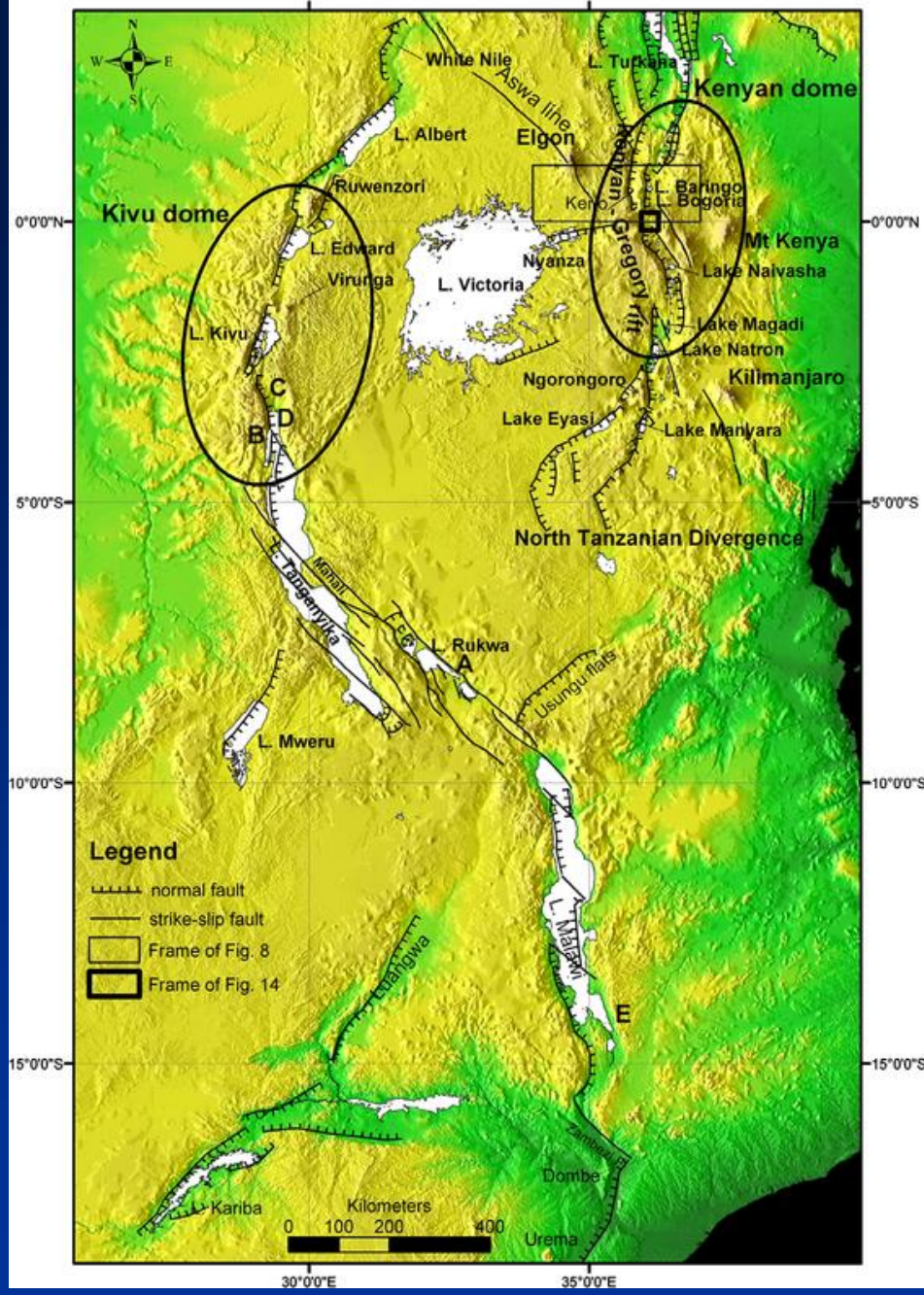
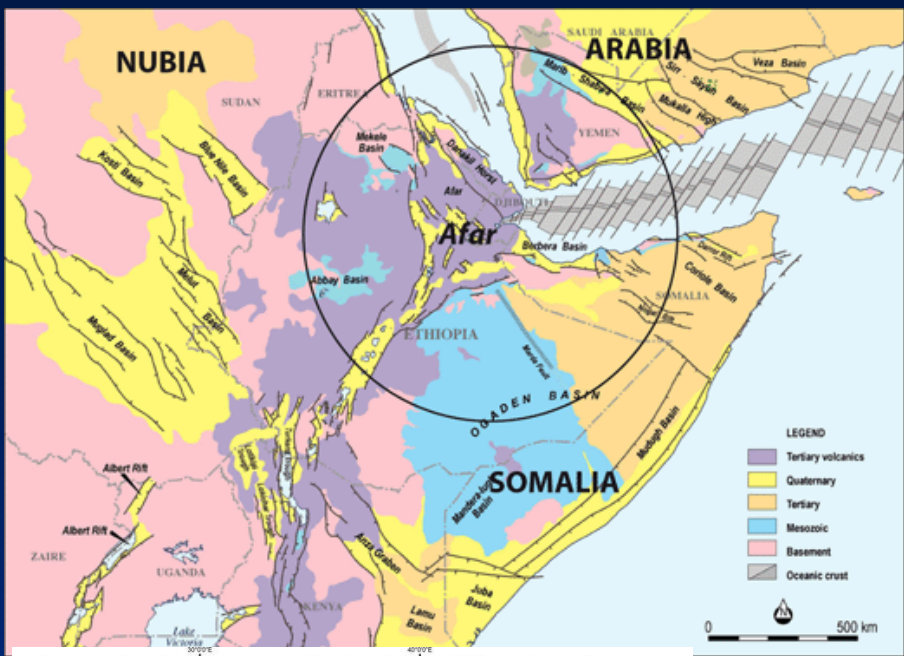


J. Gregory's 1920 map of the East African rift v.

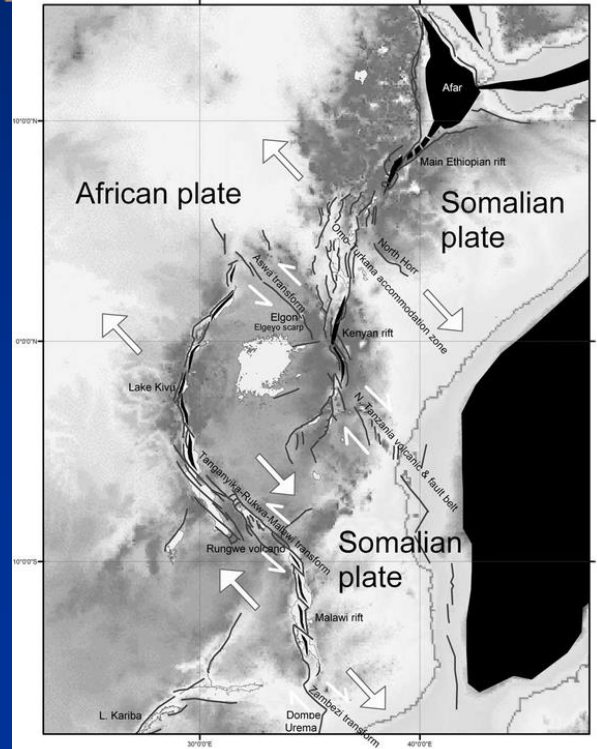


Chorowitz, 2005





Mège et al., 2015



Chorowitz, 2005

Chorowitz, 2005



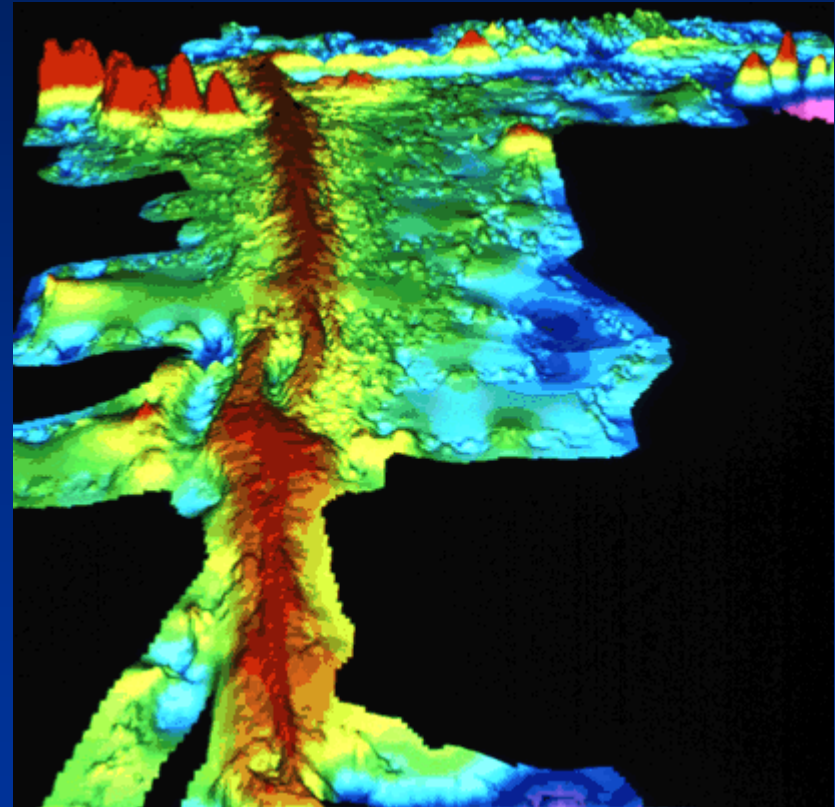
# associazioni estensionali, ambienti geodinamici divergenti

## 1b) formazione di crosta oceanica, dorsali !!

Da Oddur Sigurdsson, National Energy Authority, Iceland



Islanda, zona di dorsale

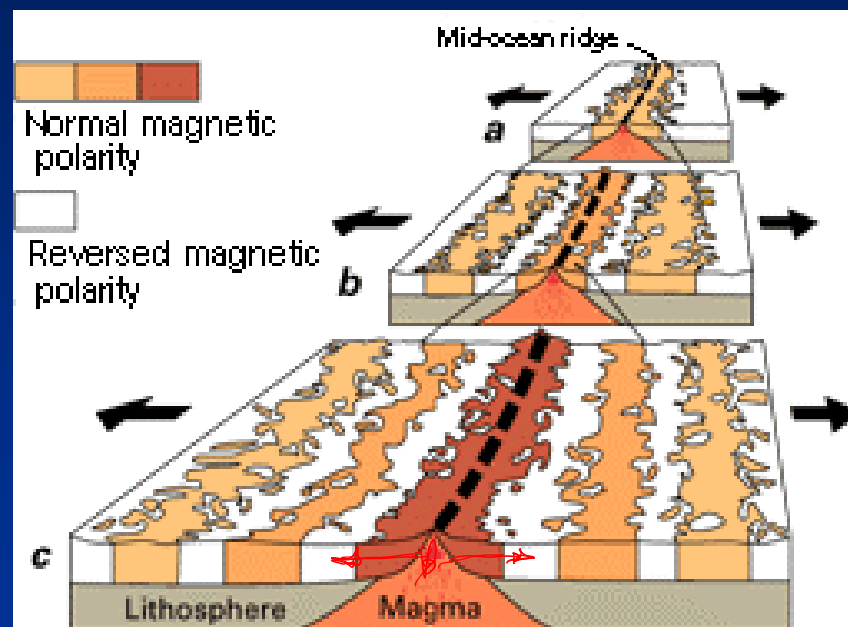
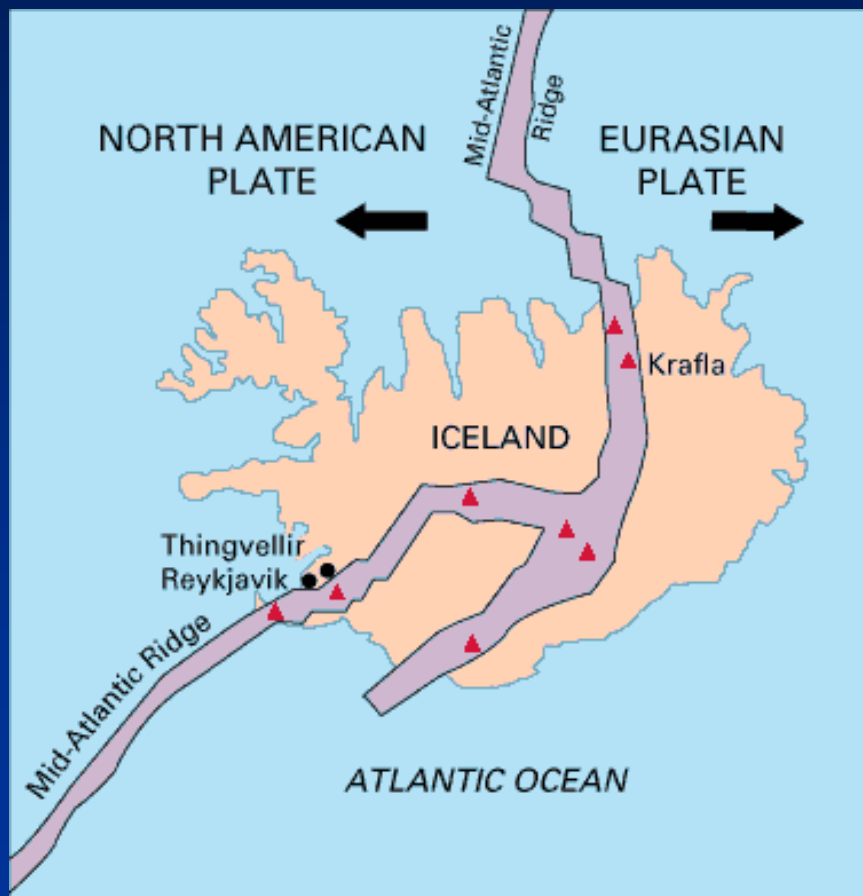


Zona di dorsale medio-atlantica

<https://pubs.usgs.gov/gip/dynamic/topomap.html> (from Stacey)  
Tighe, University of Rhode Island

# associazioni estensionali, ambienti geodinamici divergenti

## Formazione di crosta oceanica, dorsali !!

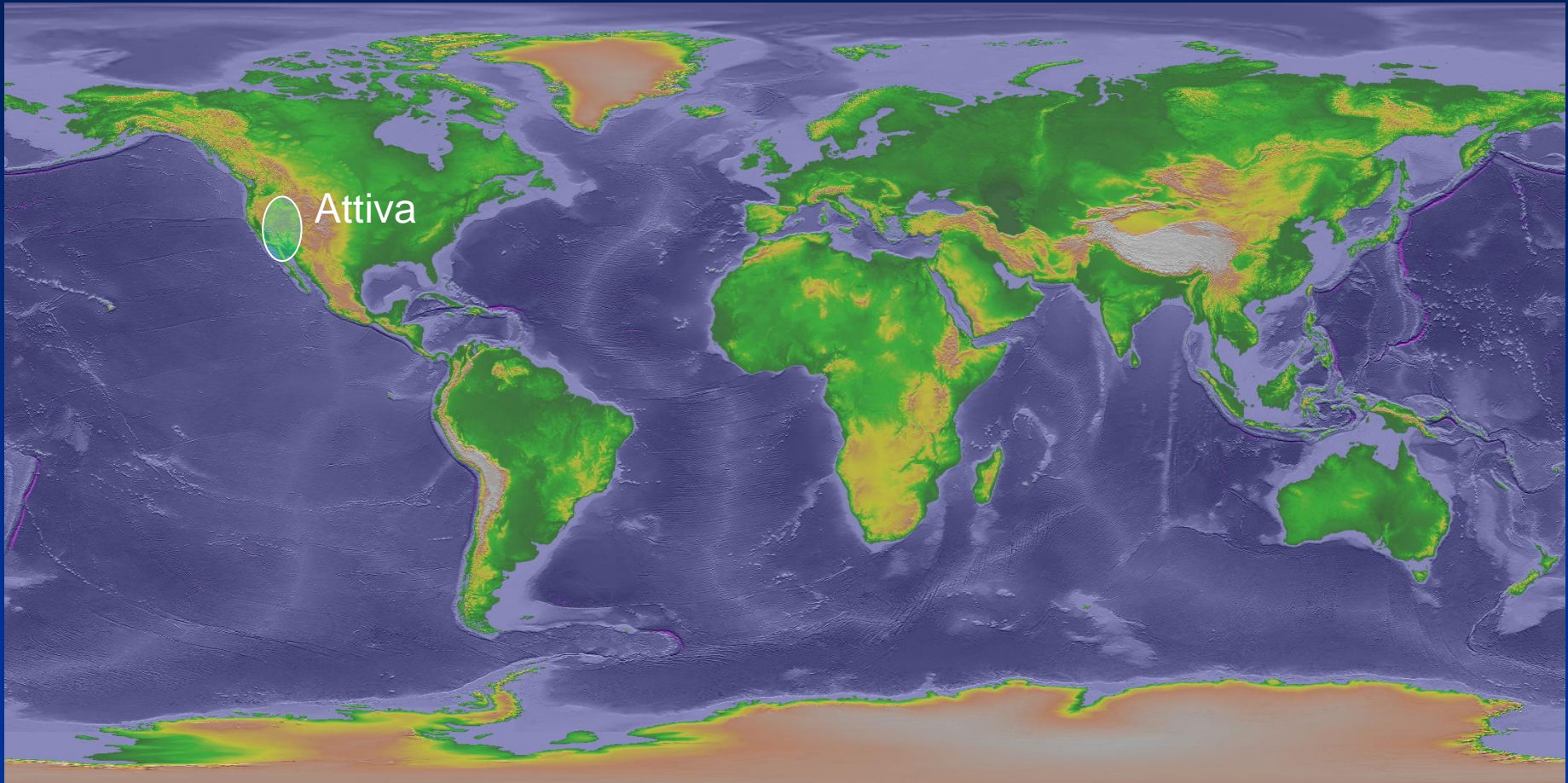


<http://factsanddetails.com/world/cat51/sub323/item2212.html>



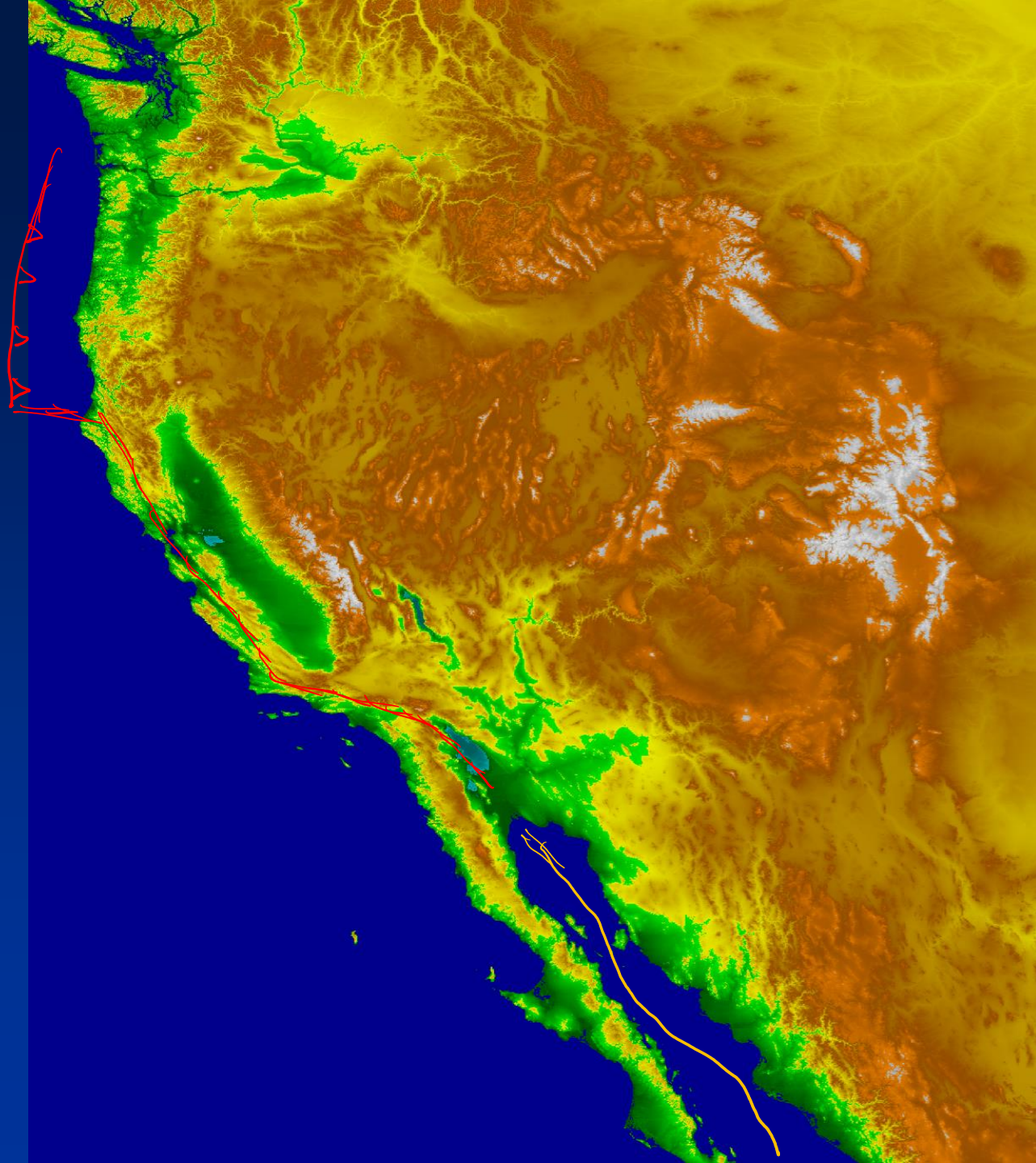
# Associazioni di faglie normali

2a) associazioni estensionali in ambienti geodinamici divergenti prossimi a margini trascorrenti/convergenti

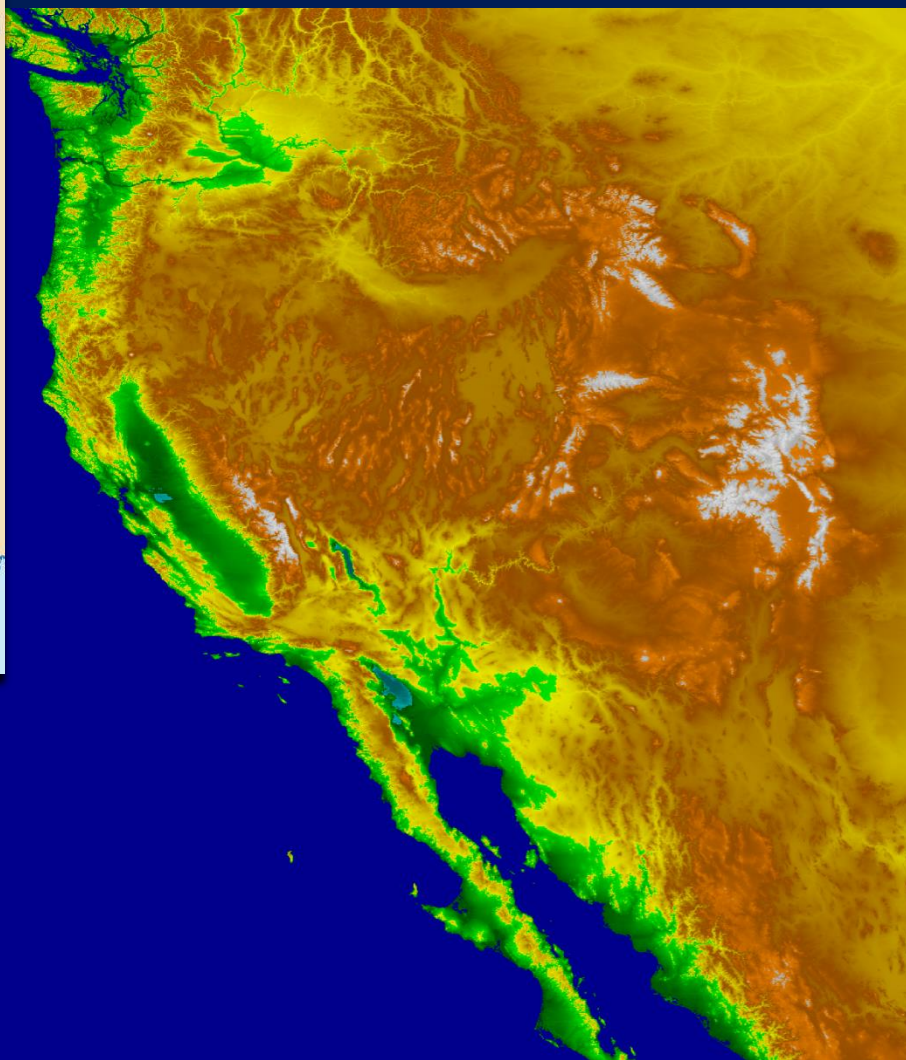




Associazioni  
estensionali in  
ambienti  
geodinamici  
divergenti  
prossimi a  
margini  
trascorrenti/  
convergenti



Basin & Range, estensione  
intra-continentale

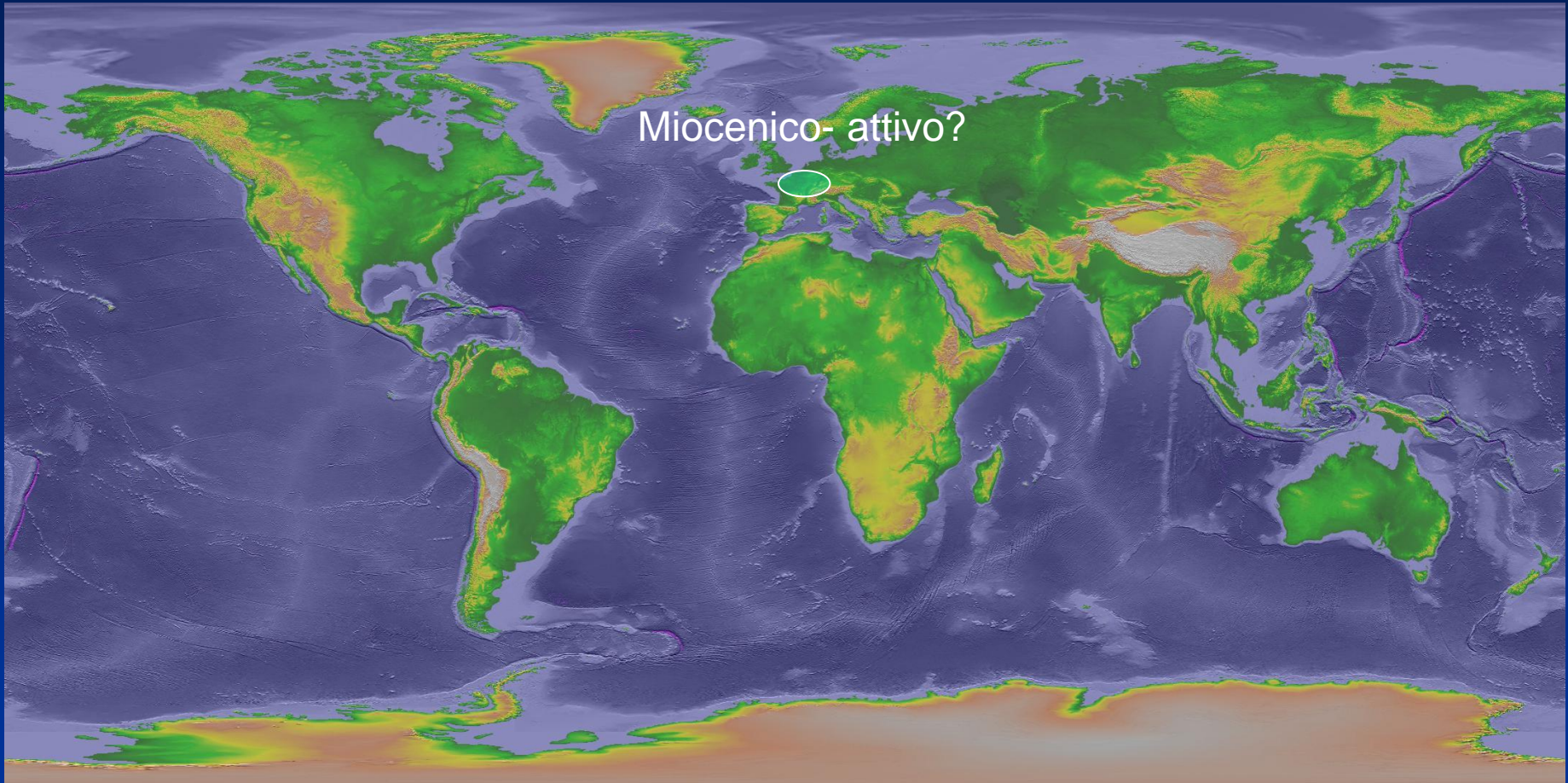


Basin & Range, estensione  
 intra-continentale, situazione tettonica e  
 geodinamica regionale



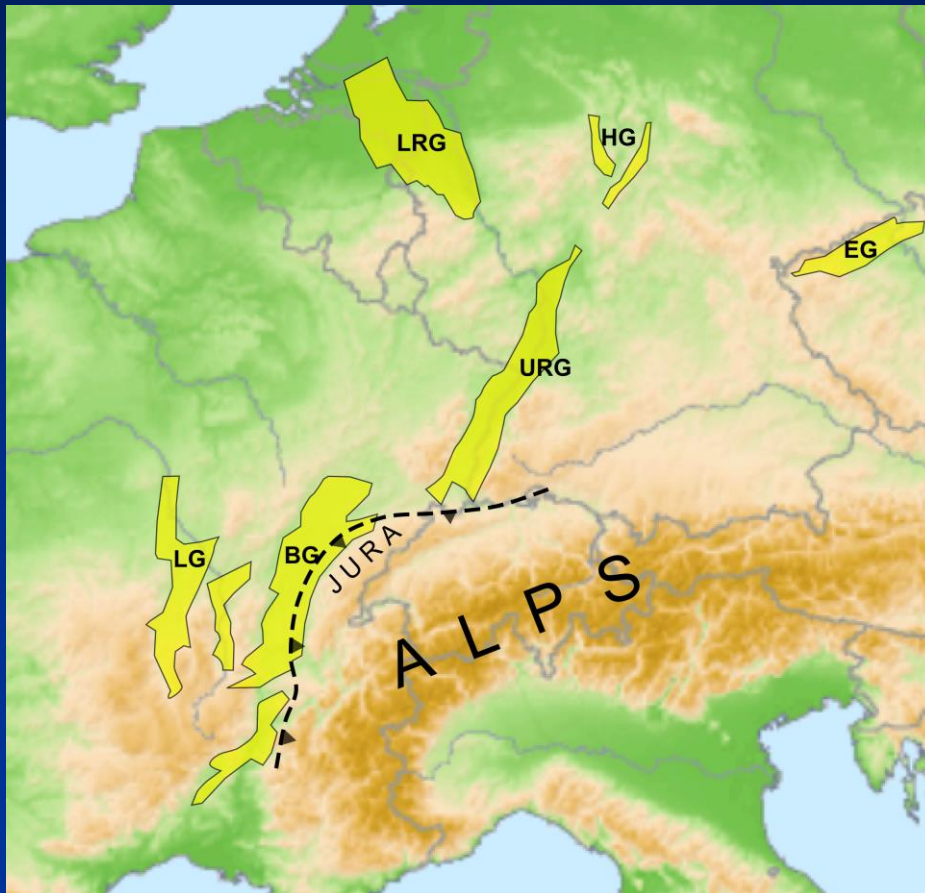
# Associazioni di faglie normali

2b) associazioni estensionali in ambienti geodinamici divergenti prossimi a margini convergenti

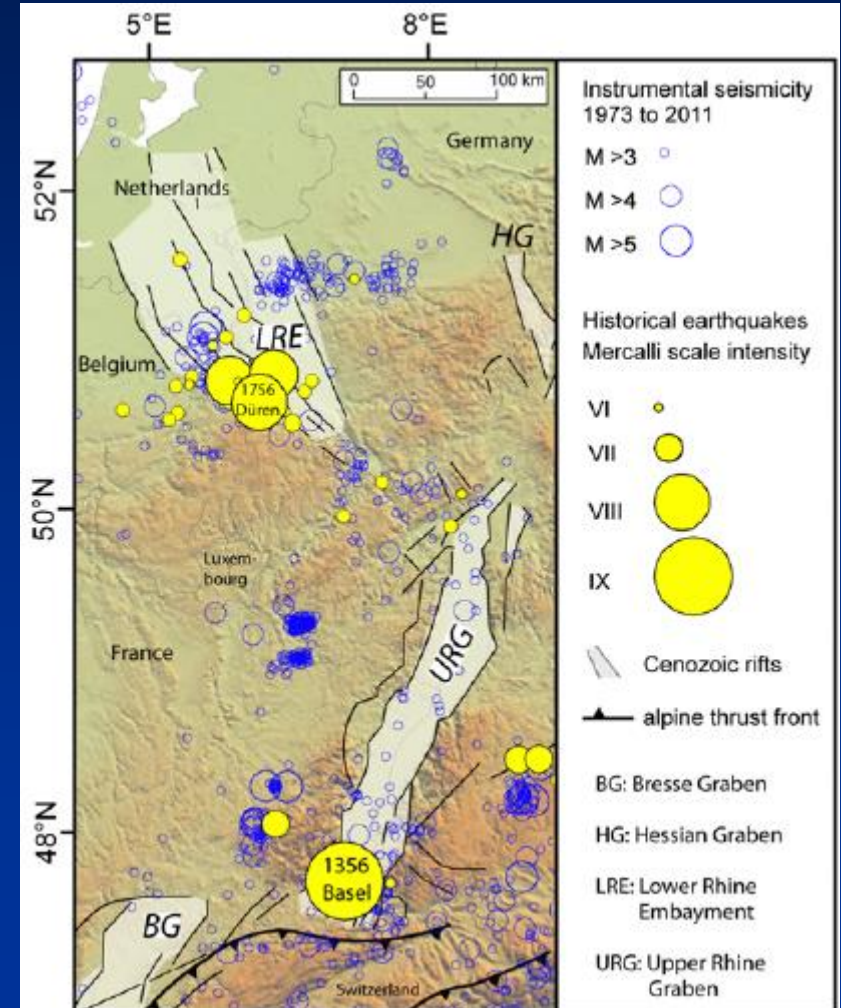




# Associazioni estensionali in ambienti geodinamici divergenti prossimi a margini convergenti



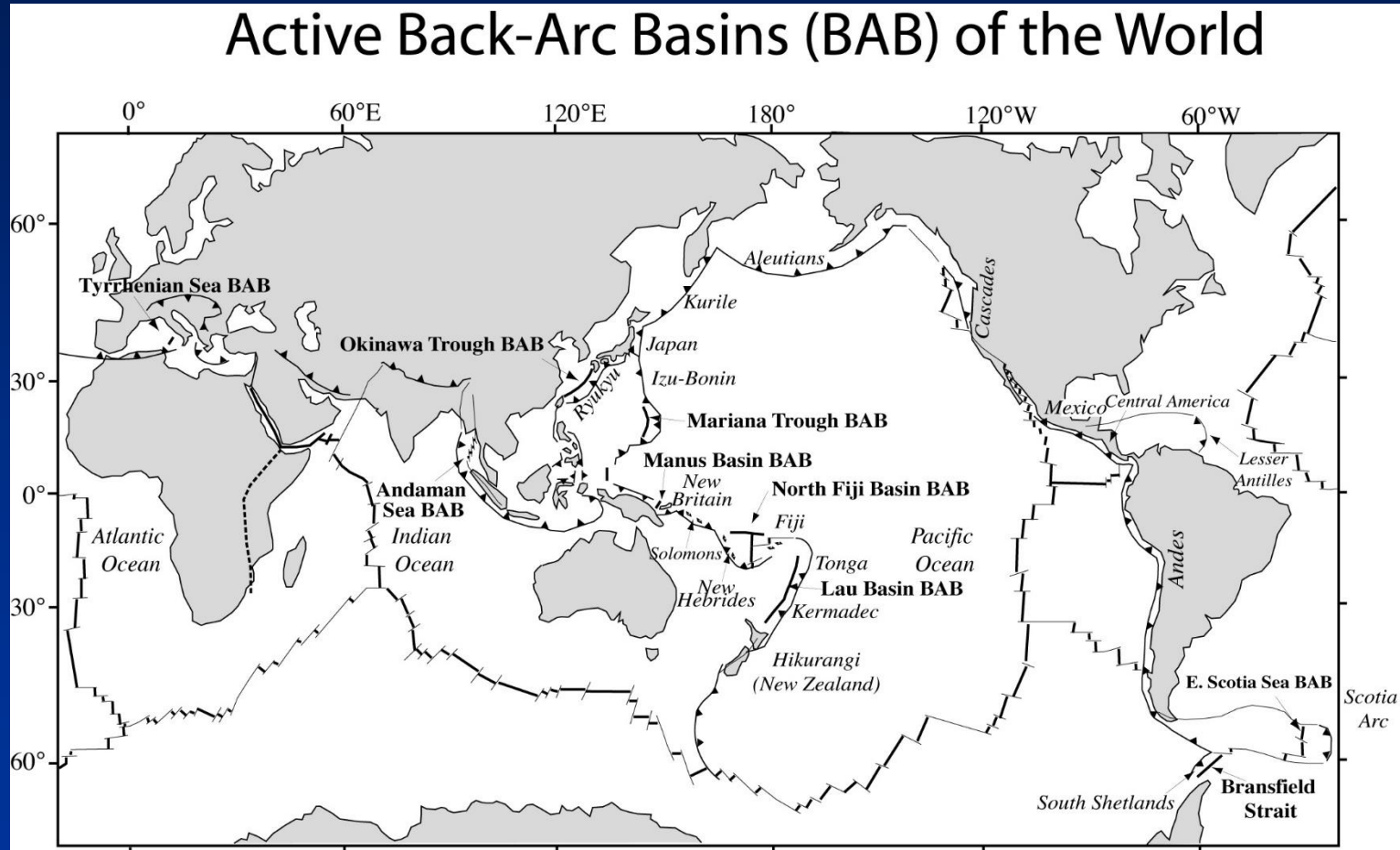
[https://en.wikipedia.org/wiki/European\\_Cenozoic\\_Rift\\_System](https://en.wikipedia.org/wiki/European_Cenozoic_Rift_System)





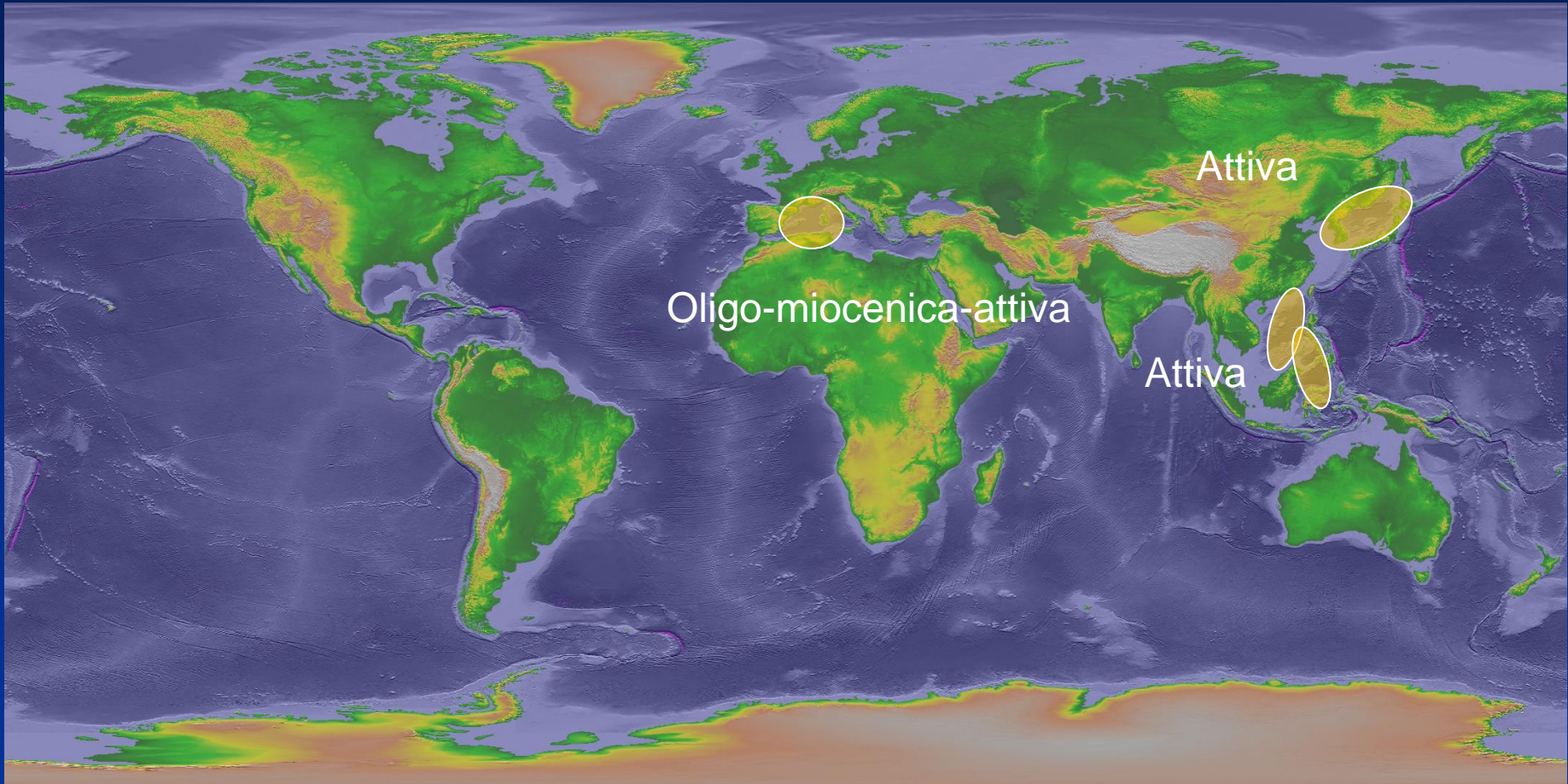
# Associazioni di faglie normali

## 3) associazioni estensionali dovute ad ambienti geodinamici convergenti!!!



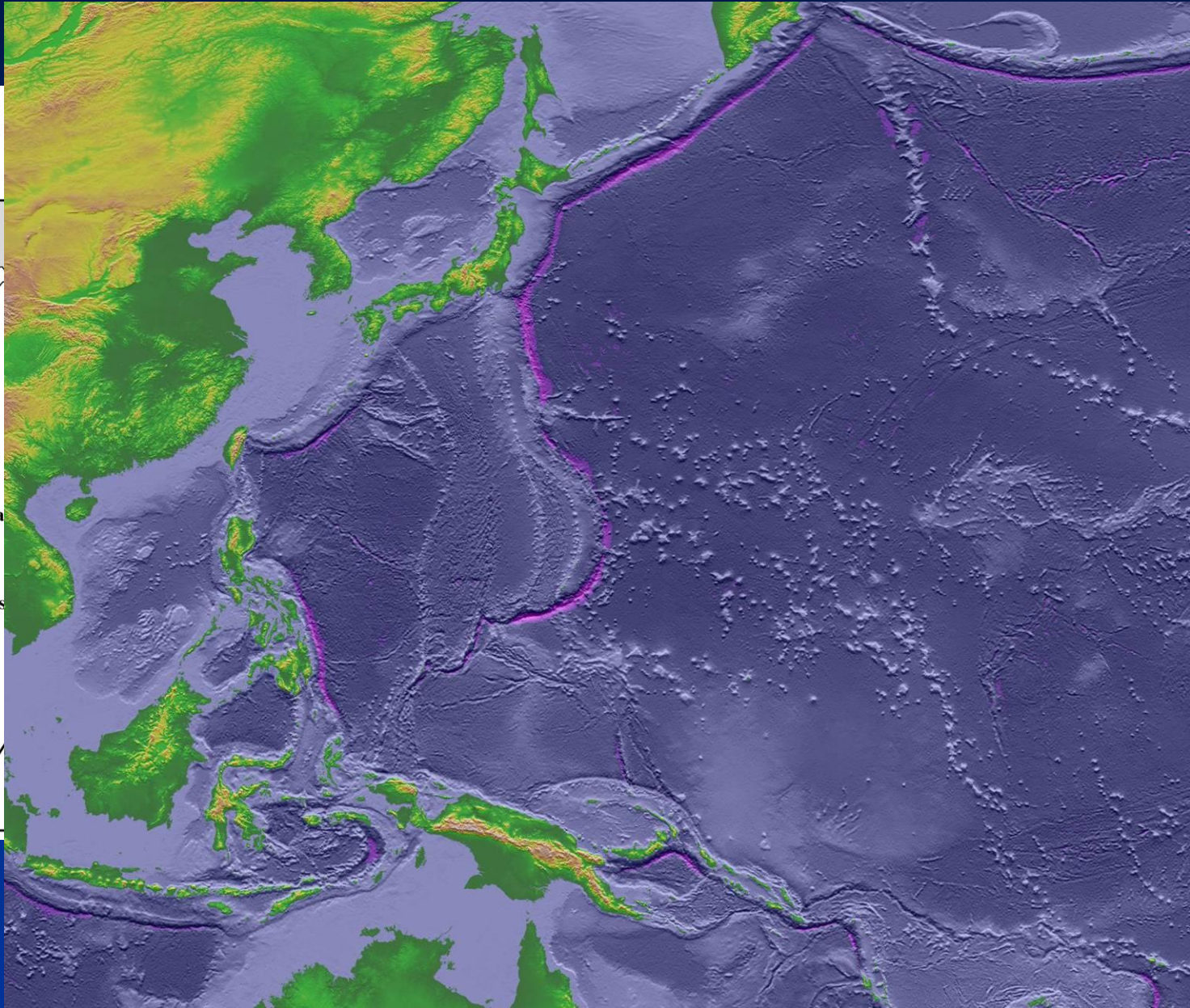
3) associazioni estensionali dovute ad ambienti  
geodinamici convergenti:

Estesi bacini di retroarco





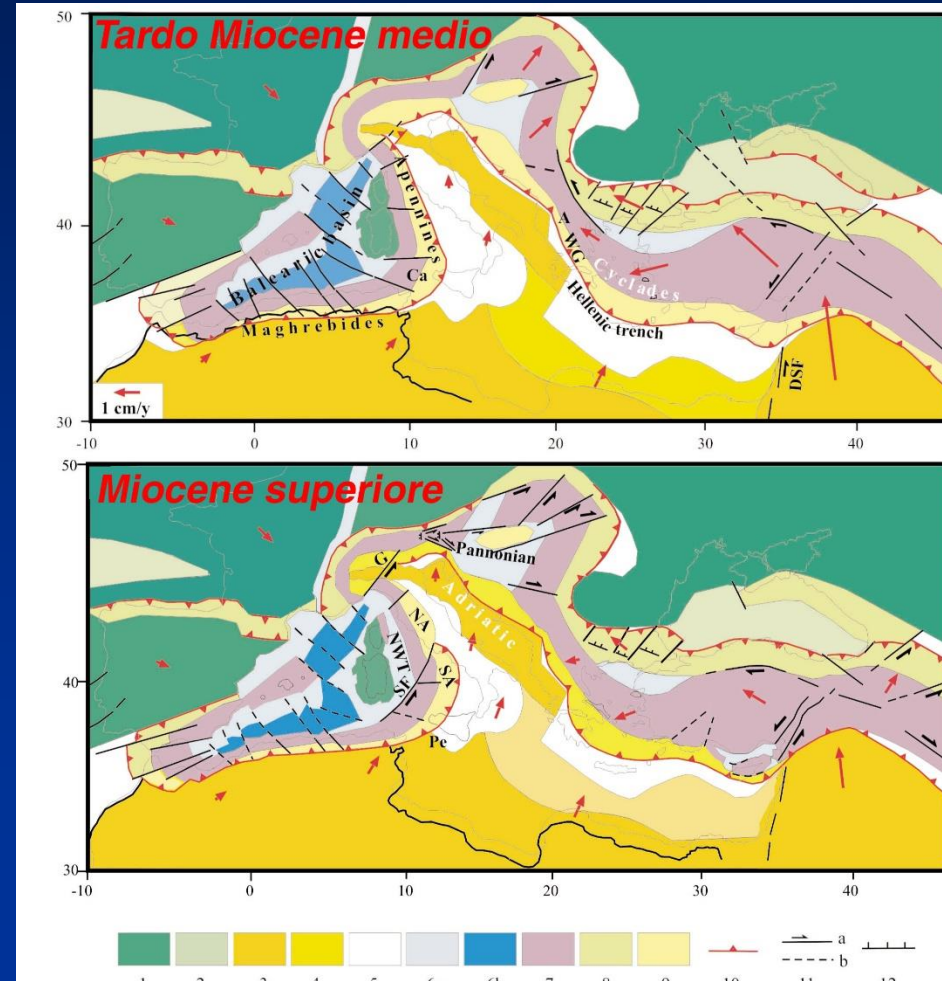
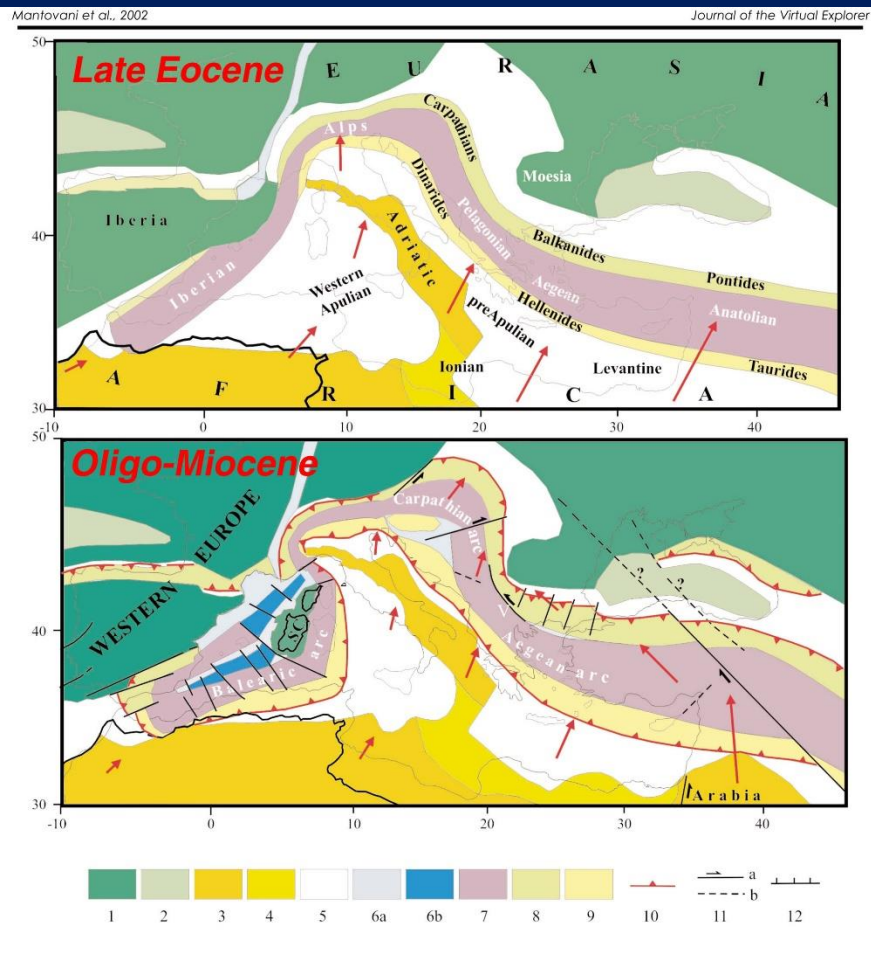
# Back-Arc Basins (BAB)



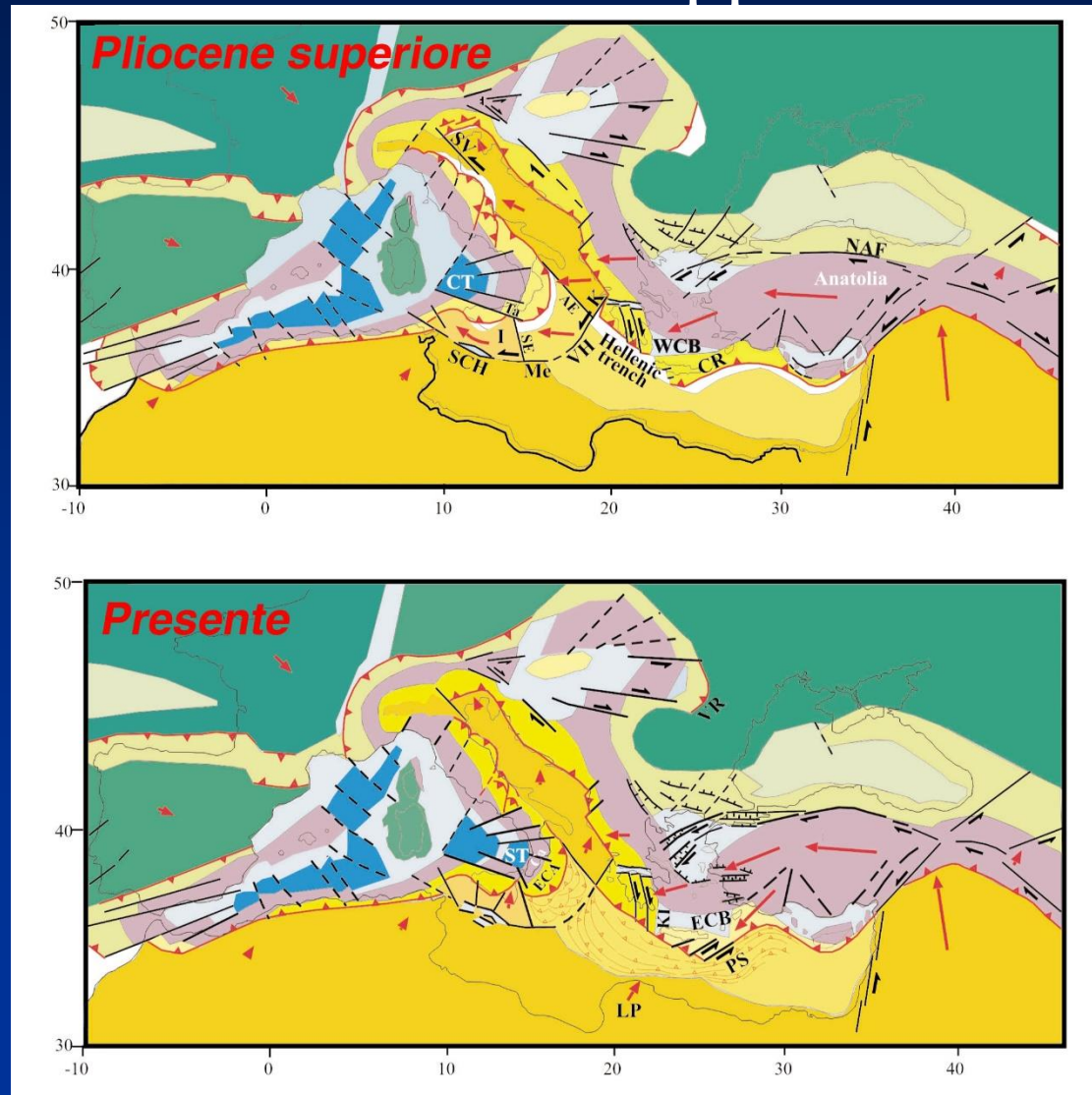


# associazioni estensionali dovute ad ambienti geodinamici convergenti: evoluzione oligo-miocenica sino all'Attuale dell'Appennino

Da Mantovani et al., 2002

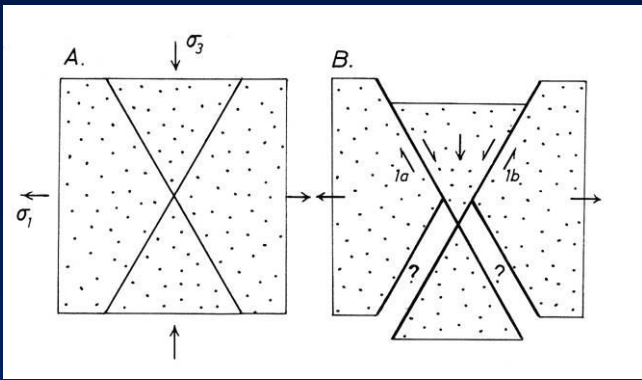


# associazioni estensionali dovute ad ambienti geodinamici convergenti: evoluzione oligo-miocenica sino all'Attuale dell'Appennino

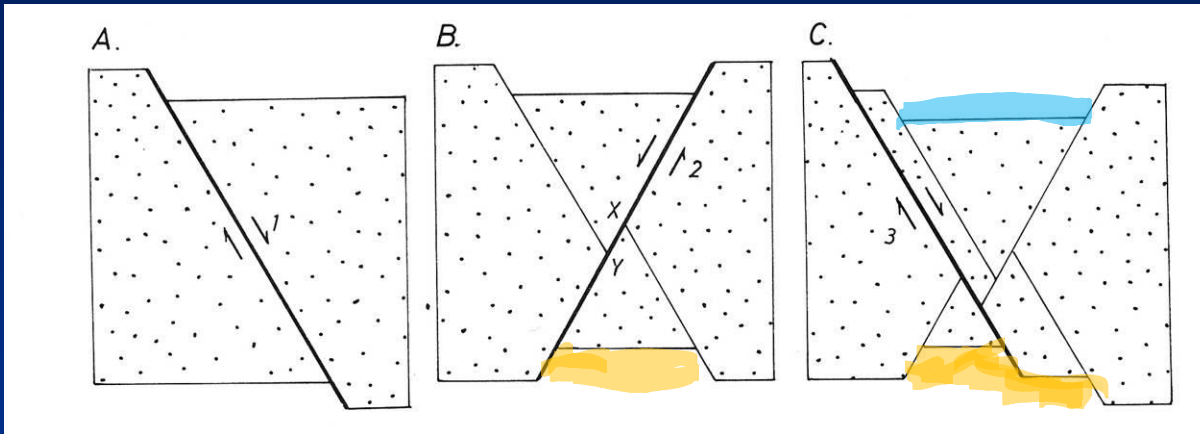


Da Mantovani et al., 2002





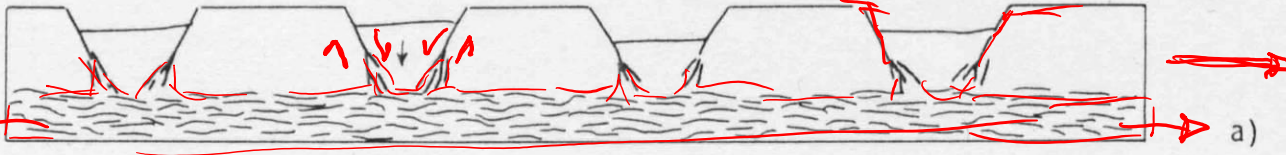
Da Ramsay and Huber, 1987



Solo le associazioni di faglie (coniugate) lavorano!!

FAGLIE NORMALI DIRITTE

1 TAGUO PURO



a)

FAGLIE NORMALI LISTRICHE

GRABEN SIMMETRICI

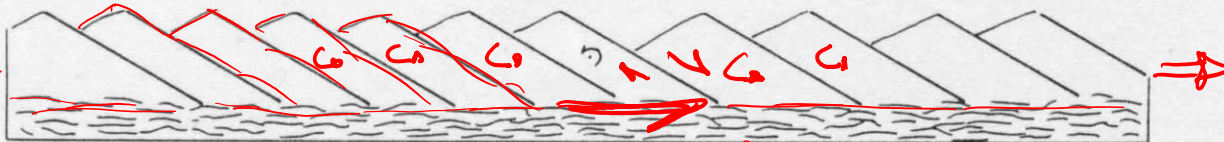
ASIMM.



b)

2 T. PURO + T. SEMPLICE (IN BASSO) (+ SUPERFICIALE)

FAGLIE A "DOMINO"



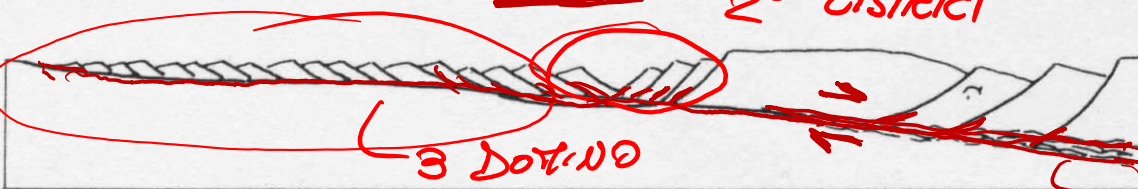
c)

3 STRUTTURE A DOMINO T. PURO + T. SEMPLICE

FAGLIE DI DISTACCO (DETACHMENT) A BASSO ANGOLO

2 GRABEN LISTRICI

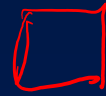
SOLO T. SEMPLICE



d)

3 DOMINO

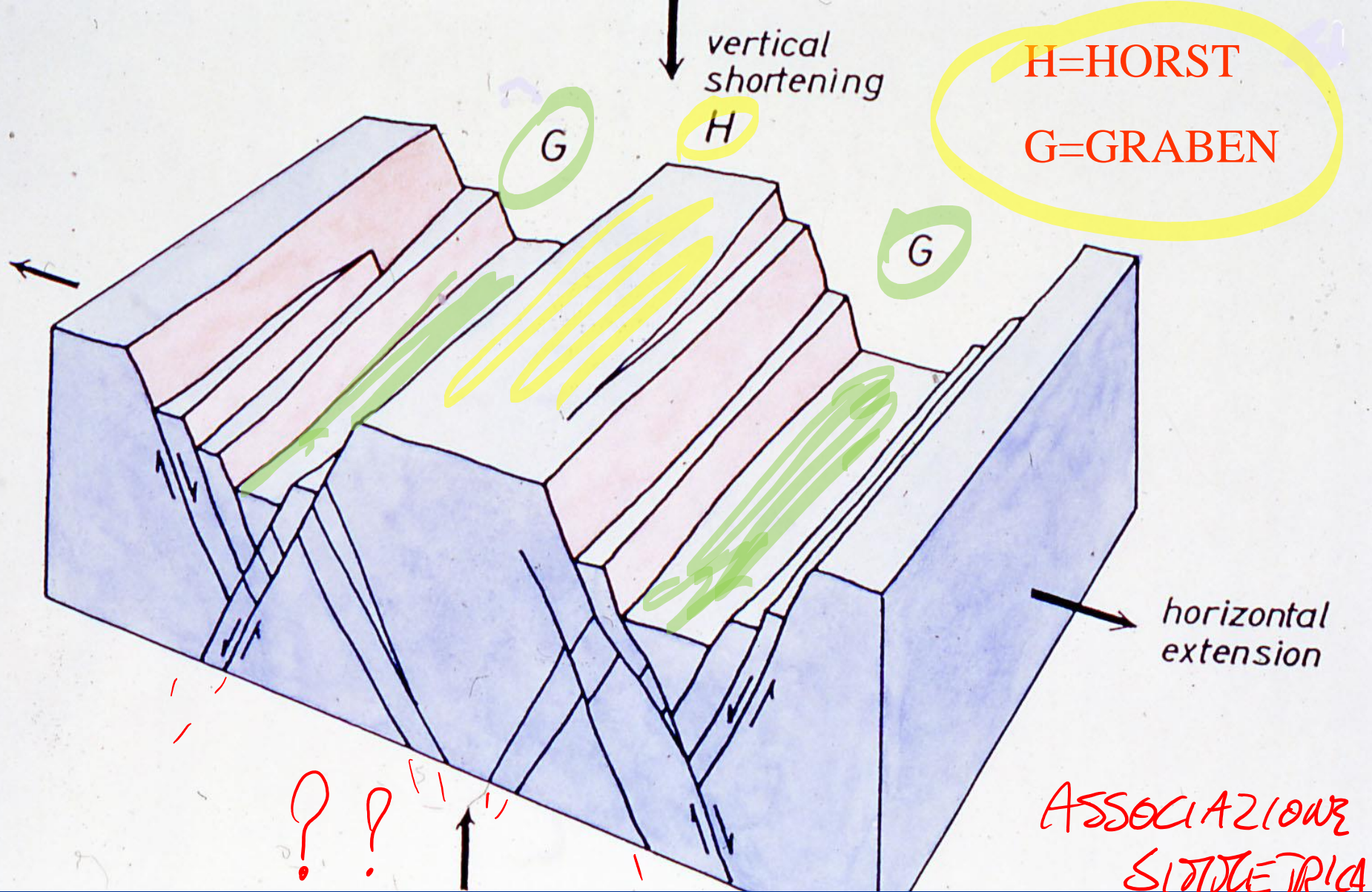
MASTER FAULT



GRABEN SIMMETRICI  
FAGLIE A UNO

Sistemi di ANGOLO  
faglie normali:  
il problema  
della  
continuazione  
in profondità.  
Diverse  
geometrie in  
superficie e  
diversi modelli  
concettuali



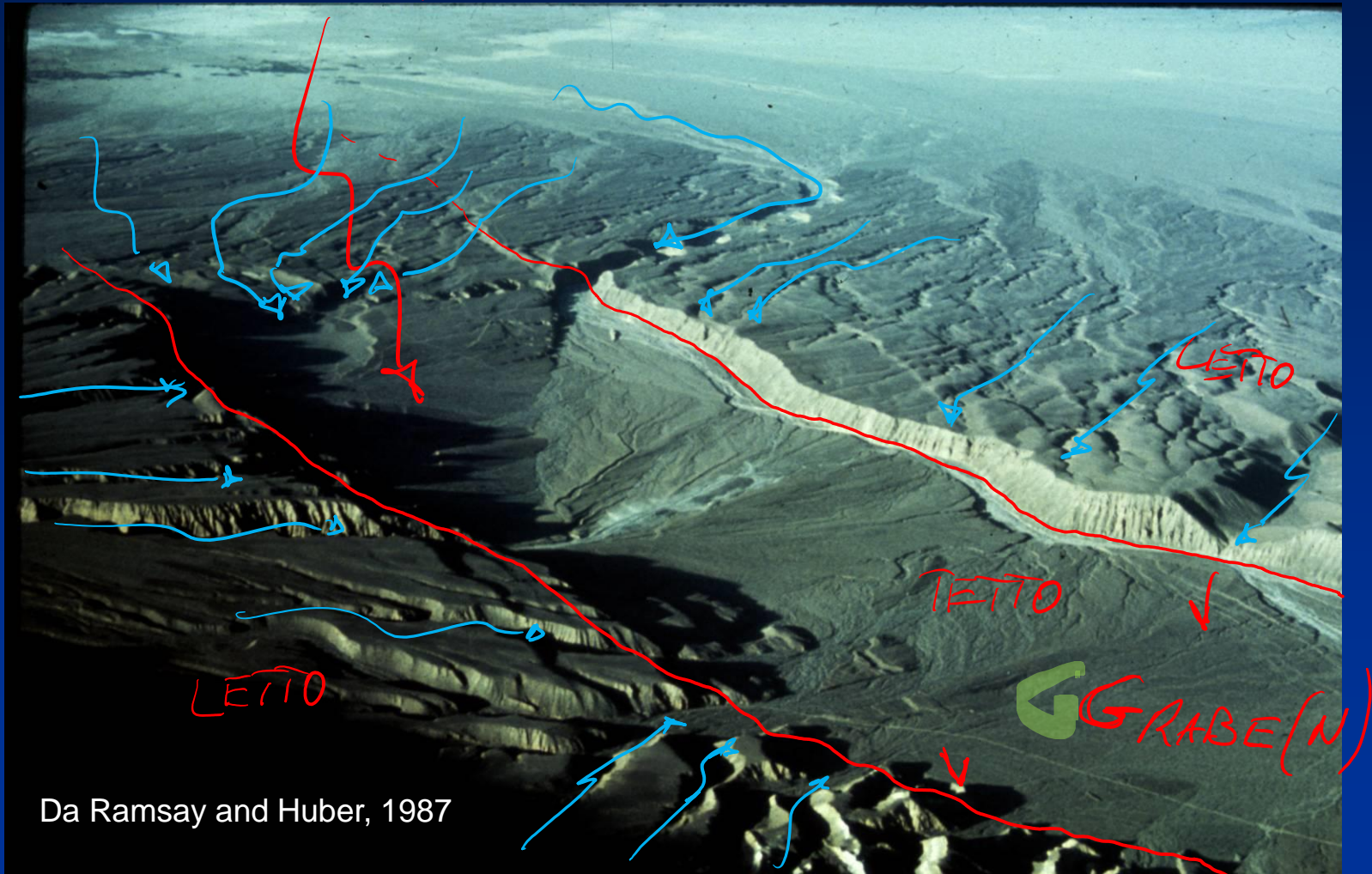


Da Ramsay and Huber, 1987

# FAGLIE PIANE

Esempio di grabe (singola fossa) recentissimo e, presumibilmente, attivo

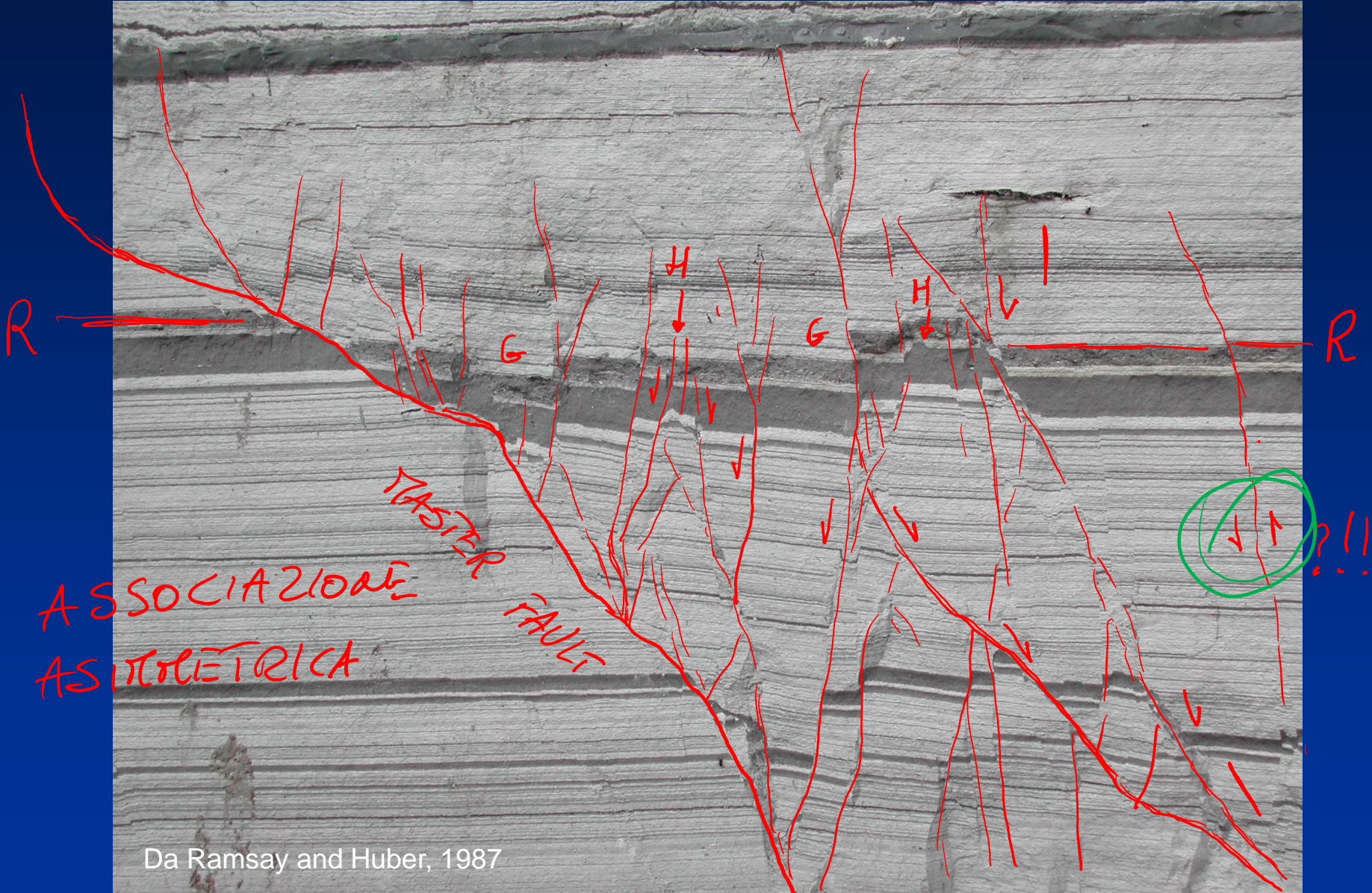
"ACCOMMODATION SPACE"





Sistemi di faglie normali: coniugate, faglia principale (master fault) e faglie curve!

FAGLIE  
LISTRICHE



Da Ramsay and Huber, 1987

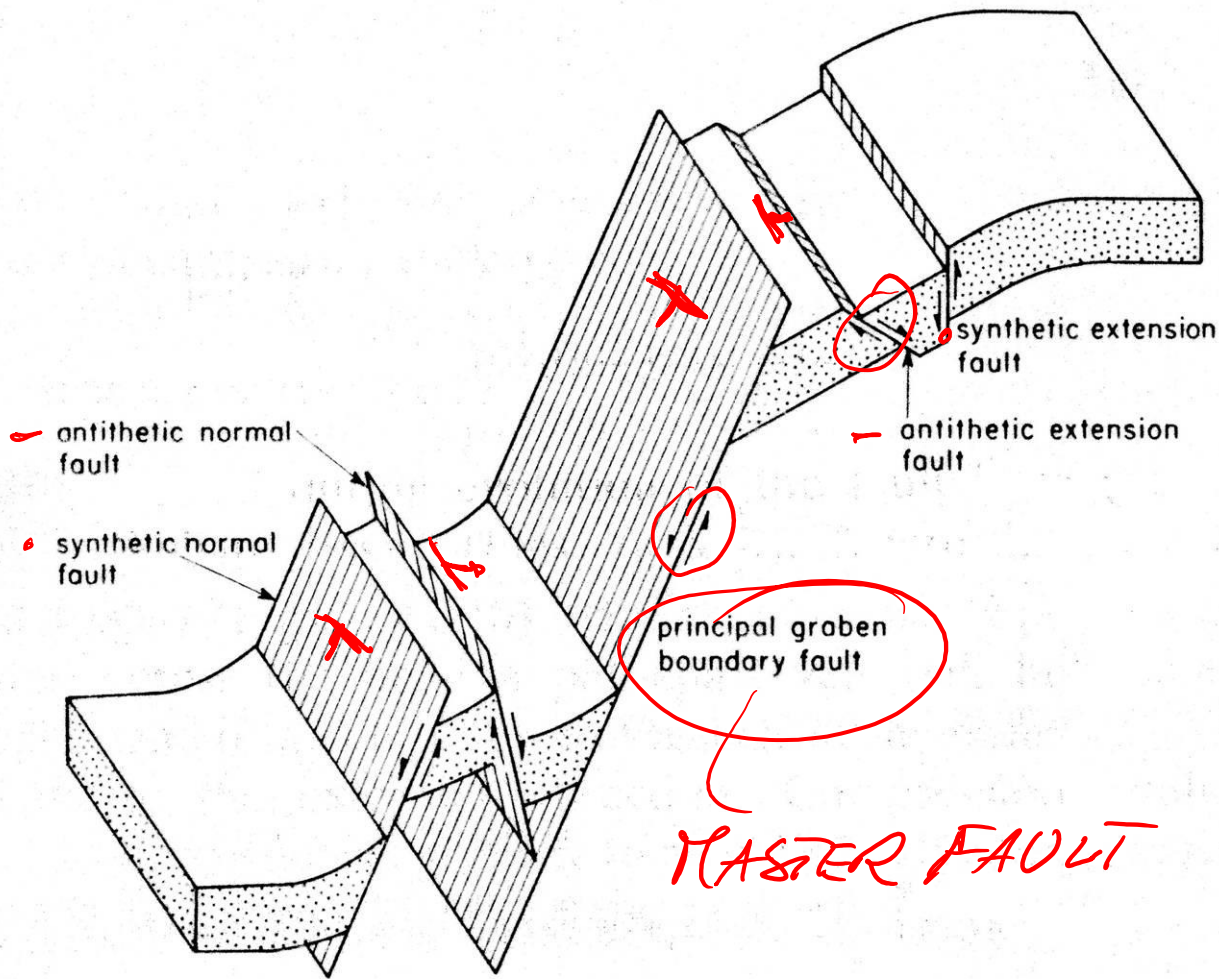


Fig. 6. Structures characteristic of planar high-angle normal fault zones such as those bounding grabens in terrains that have been inhomogeneously extended by a small percentage. After Al Kadhi & Hancock (1980, fig. 6).

FAGGIE  
CONIUGATE.

FAGLIA PRINCIPALE  
(MASTER FAULT)

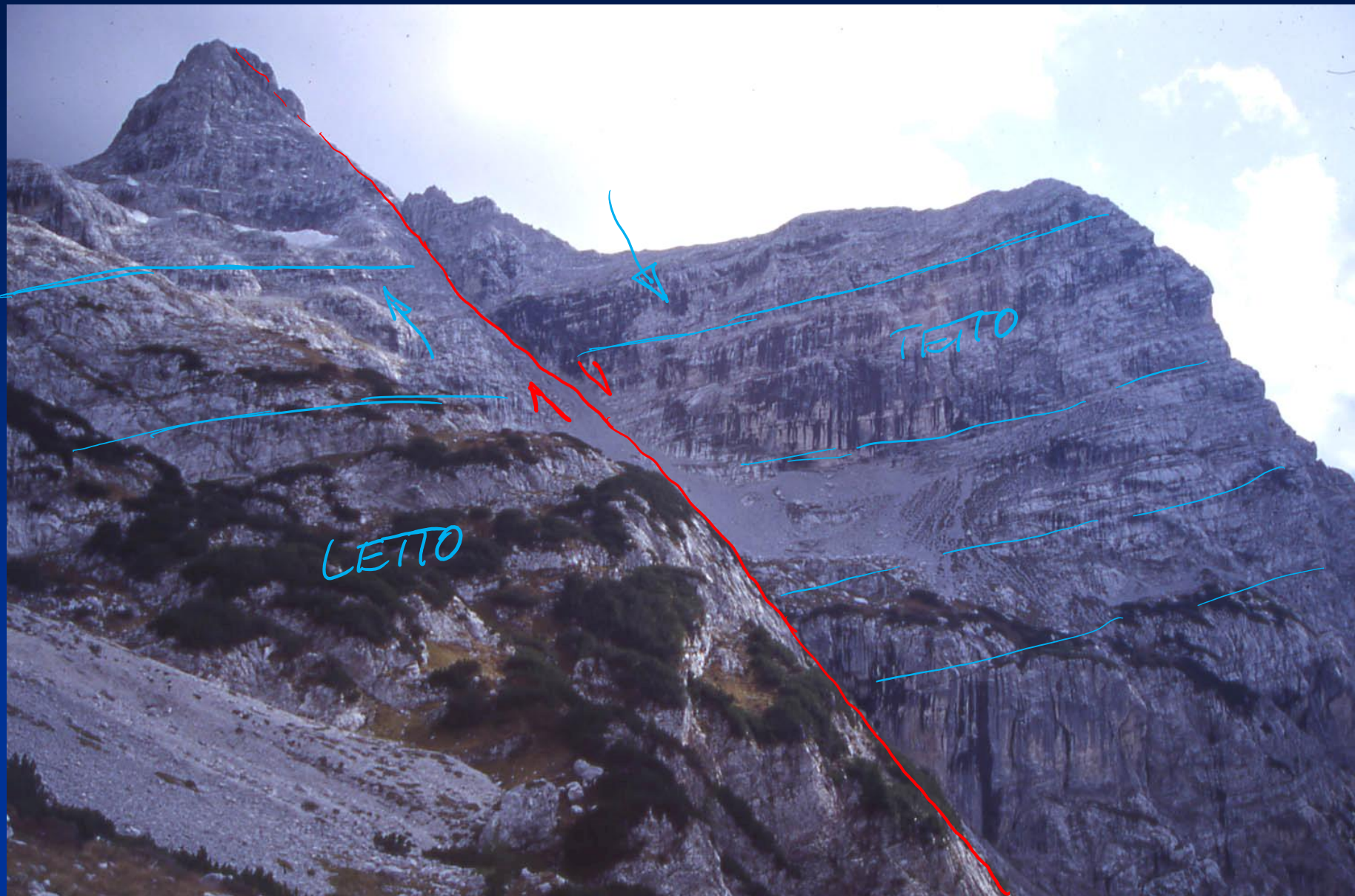
Sistemi di faglie  
normali coniugate:  
faglia principale,  
faglie antitetiche e  
sintetiche

SIST. ASIMMETRI-  
CO

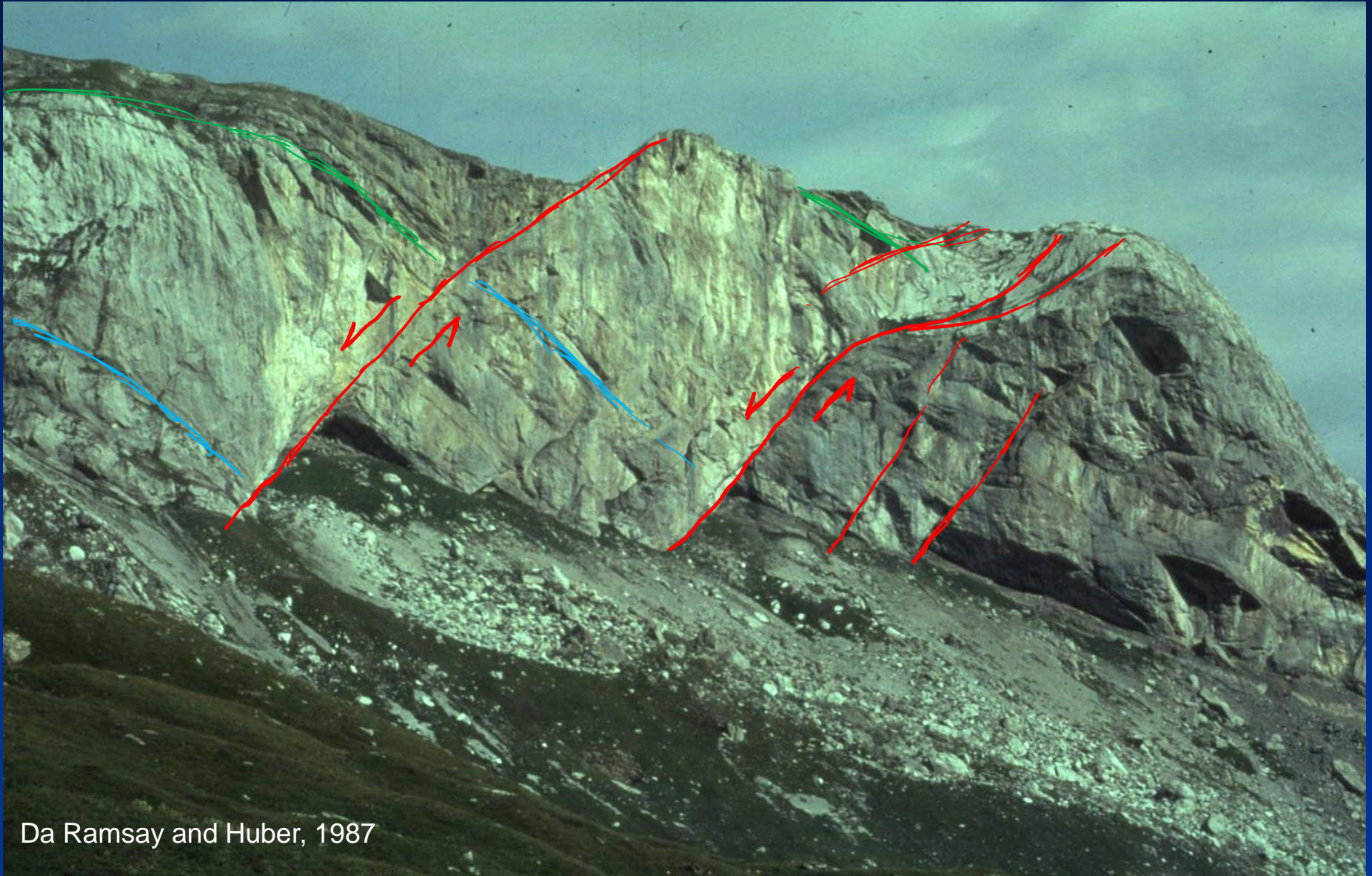
- FAGGIE SINTETI-  
CHE  
- F. ANTITETICHE



Come si vede in affioramento una faglia normale?  
(foto L. Selli)



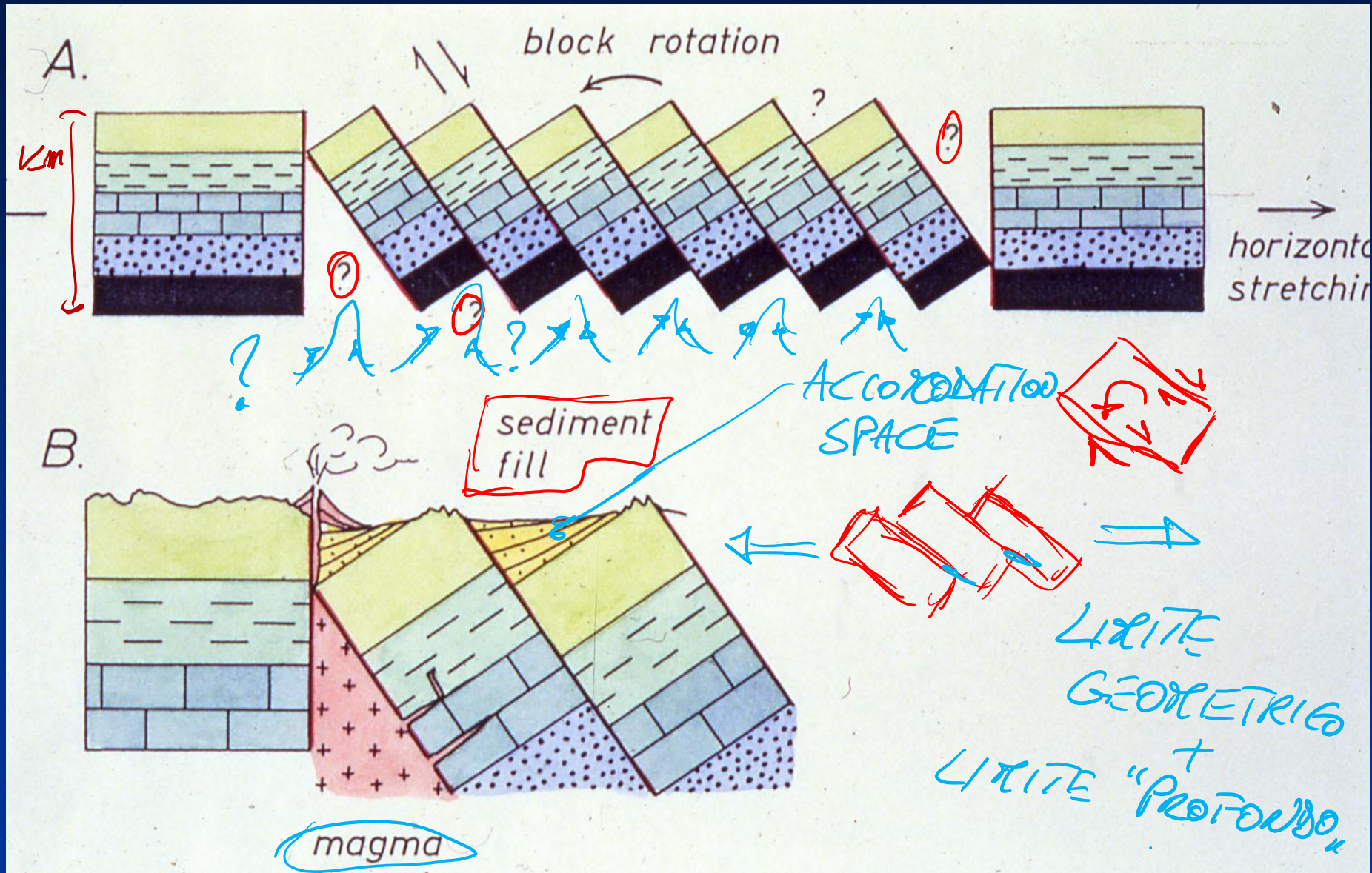




Da Ramsay and Huber, 1987



# Sistemi di faglie normali coniugate sintetiche; sistema a domino!





Sistemi di faglie normali coniugate sintetiche; sistema a domino!

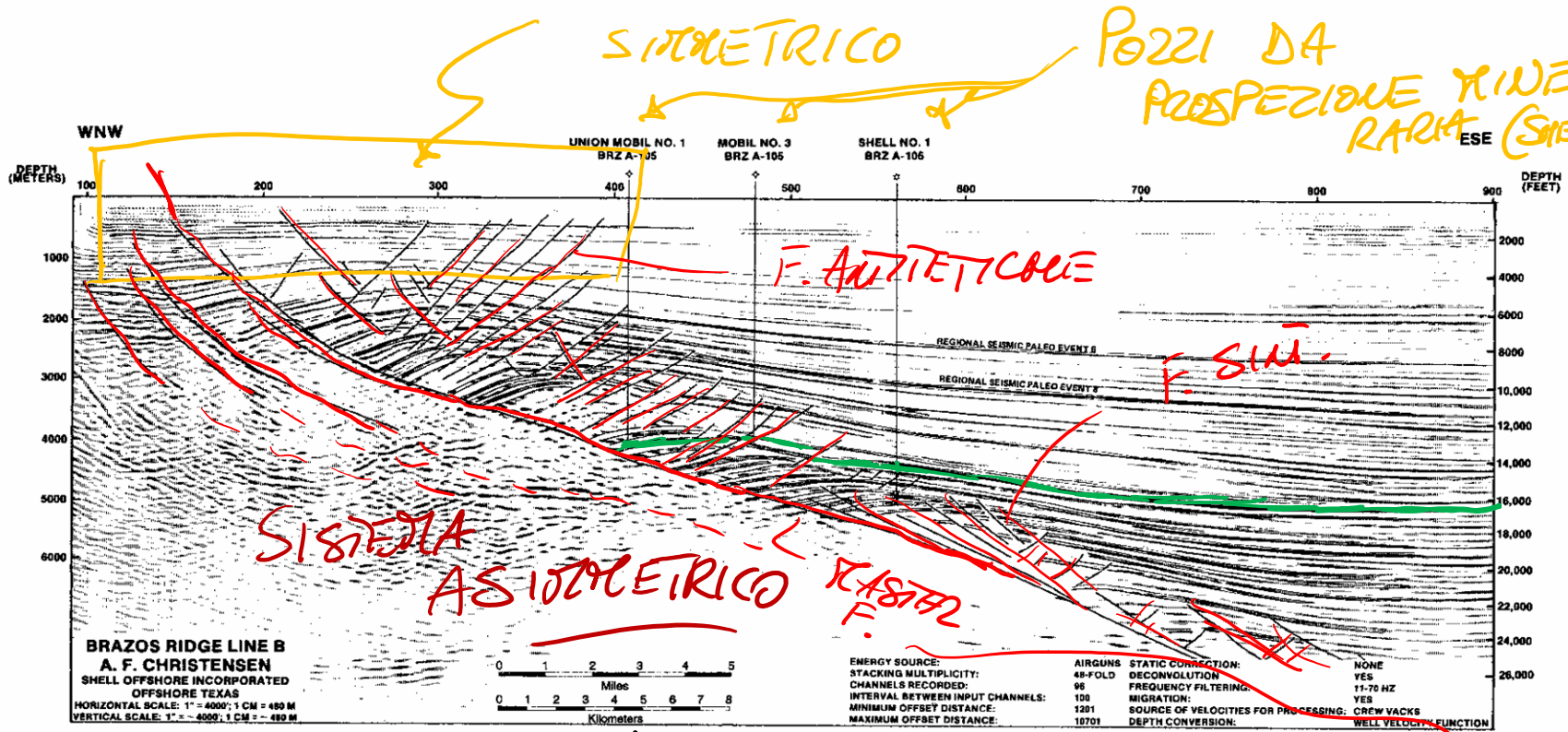


Da Ramsay and Huber, 1987



# "PROFLO SISMICO"

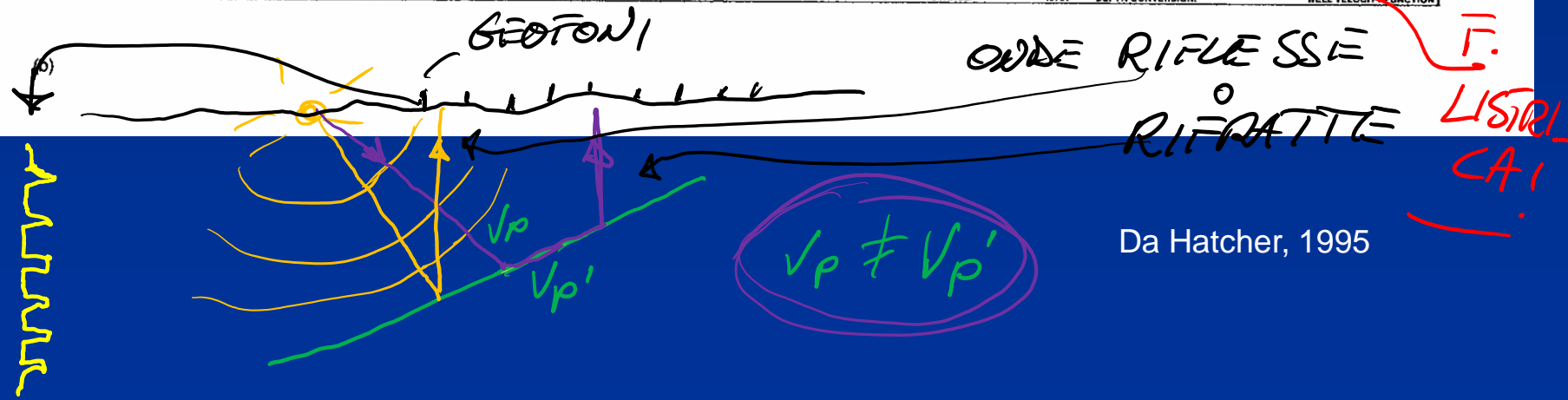
# METODO GEOGNOSTICO GEOFICO



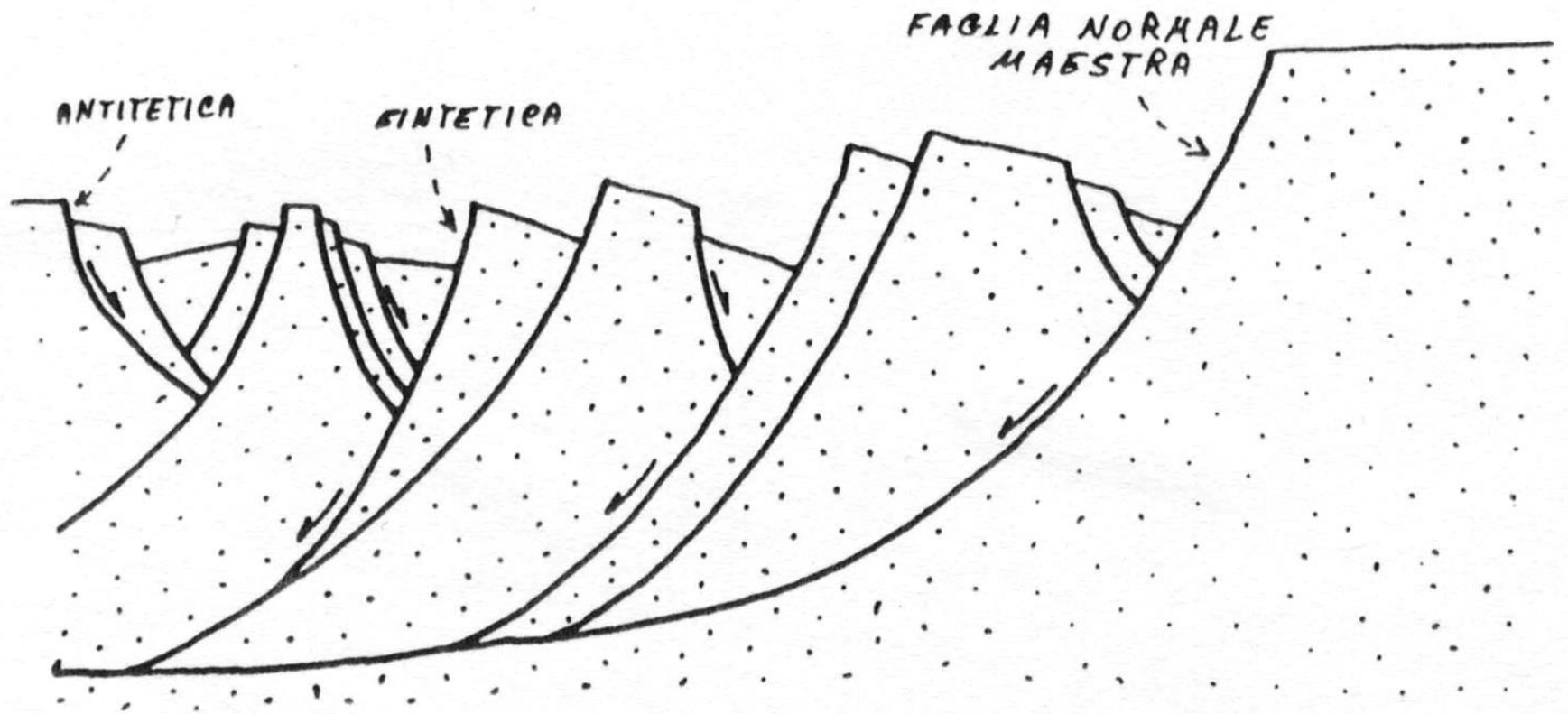
SIMMETRICO

POZZI DA PROSPEZIONE RINFERATA (SHELL) ESE

SISTEMA ASIMMETRICO

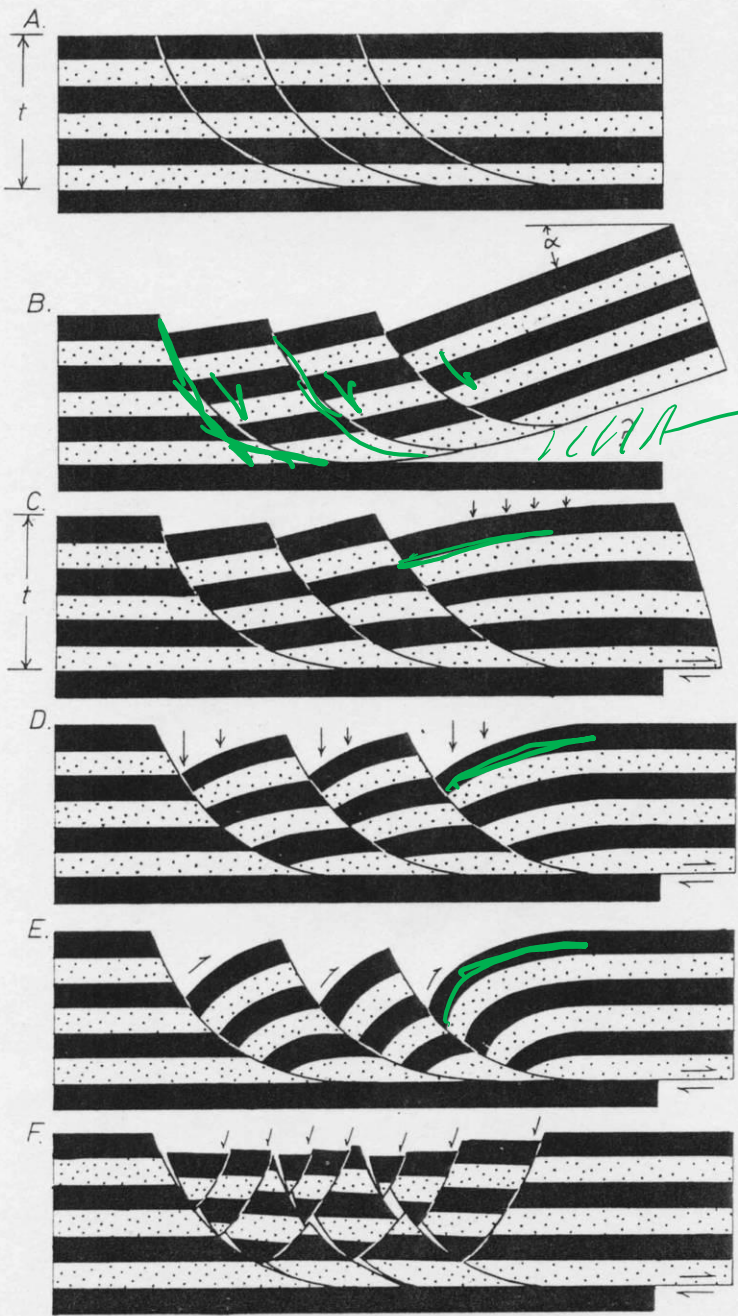


Da Hatcher, 1995



Faglia listrica





NO!!

UNA

PIEGA DEL  
TETTO

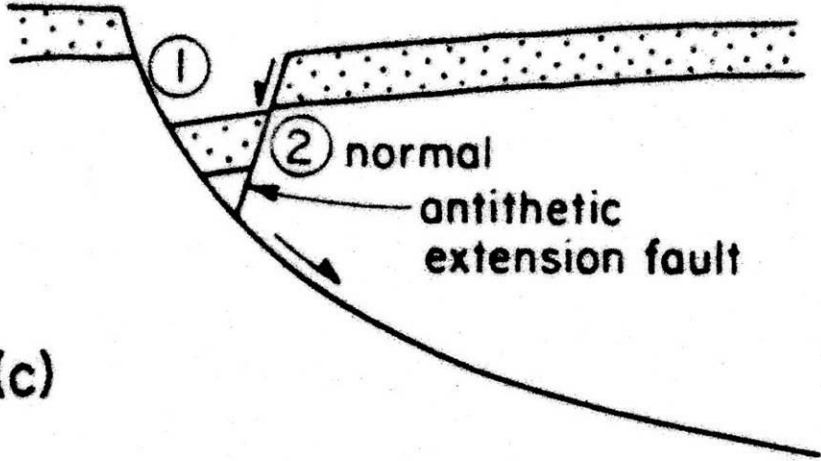
(ROLL-OVER  
ANTICLINE)

$t_1$

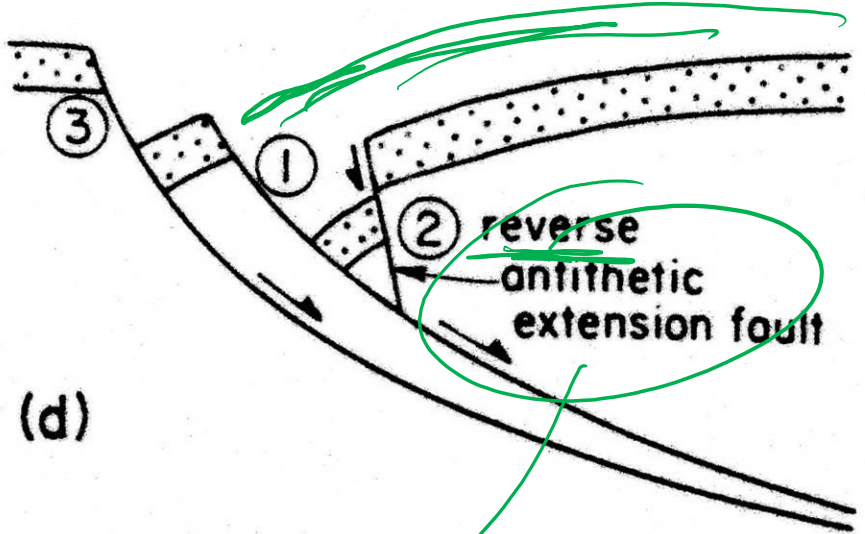
$t_2$

$t_3$

SISTEMI CONIUGATI  
F. ANTICLINE  
E SINCLINE



(c)

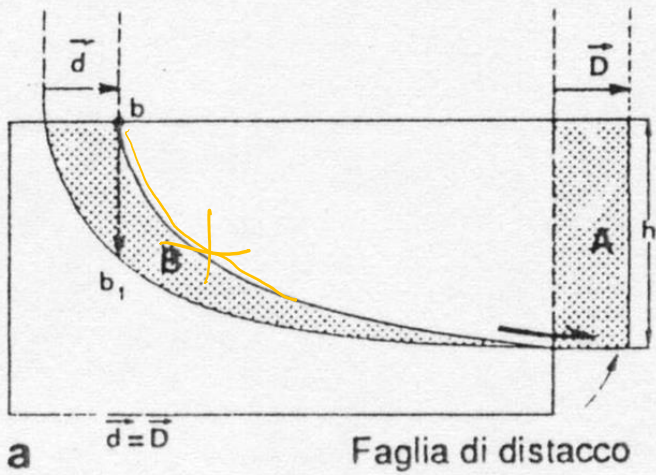


(d)

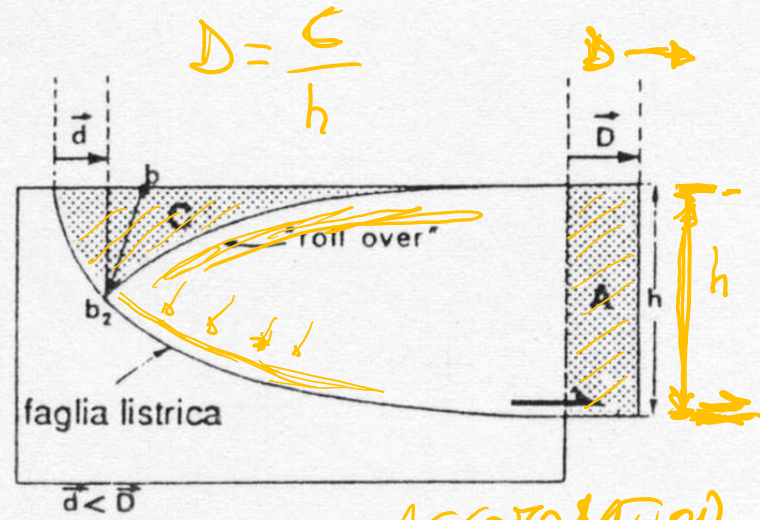
Da Hancock, 1985

FAGLIA INVERSA

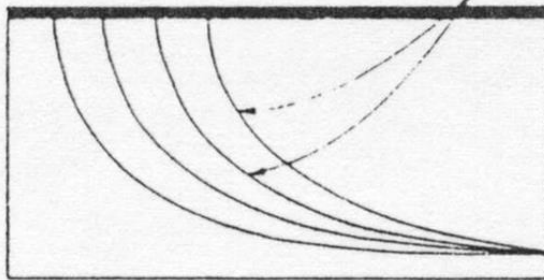




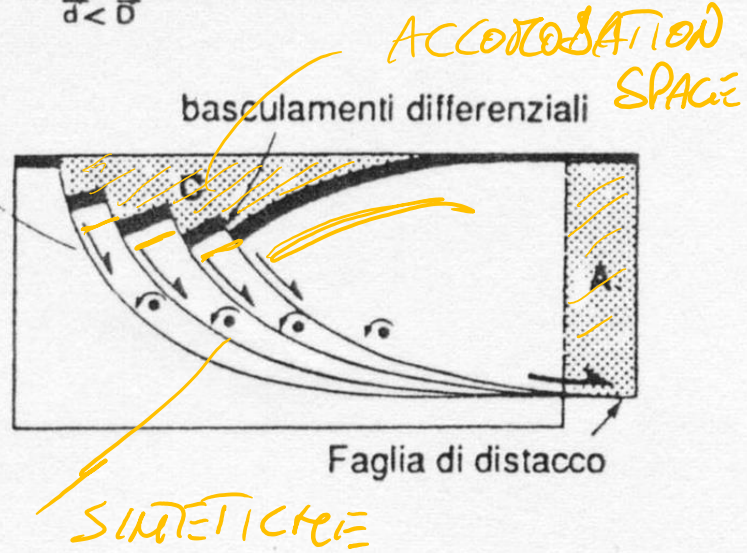
Faglia di distacco

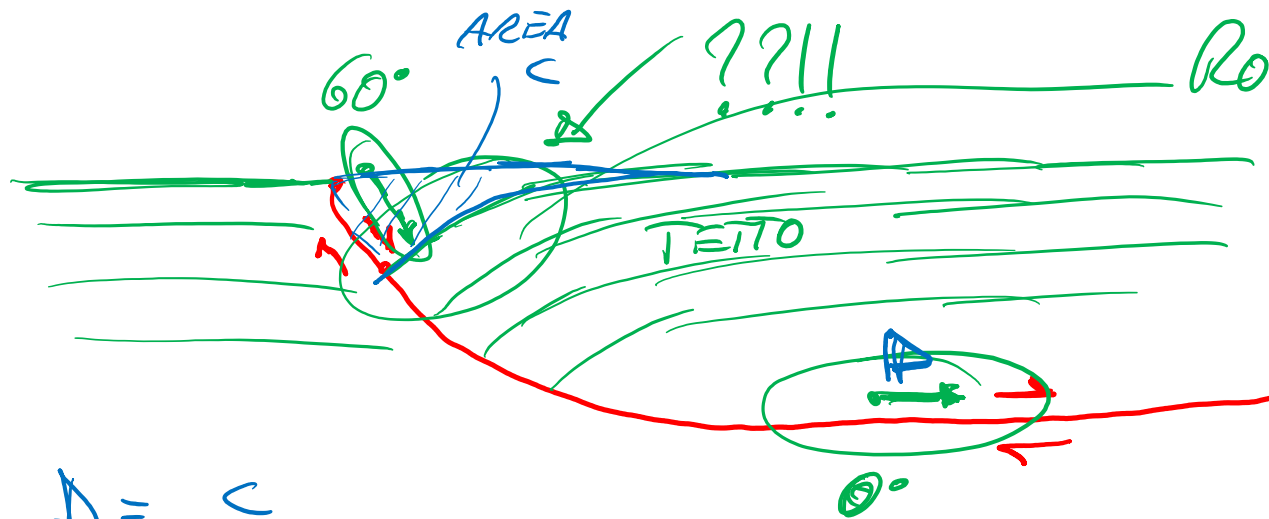


faglie listriche embricate



b

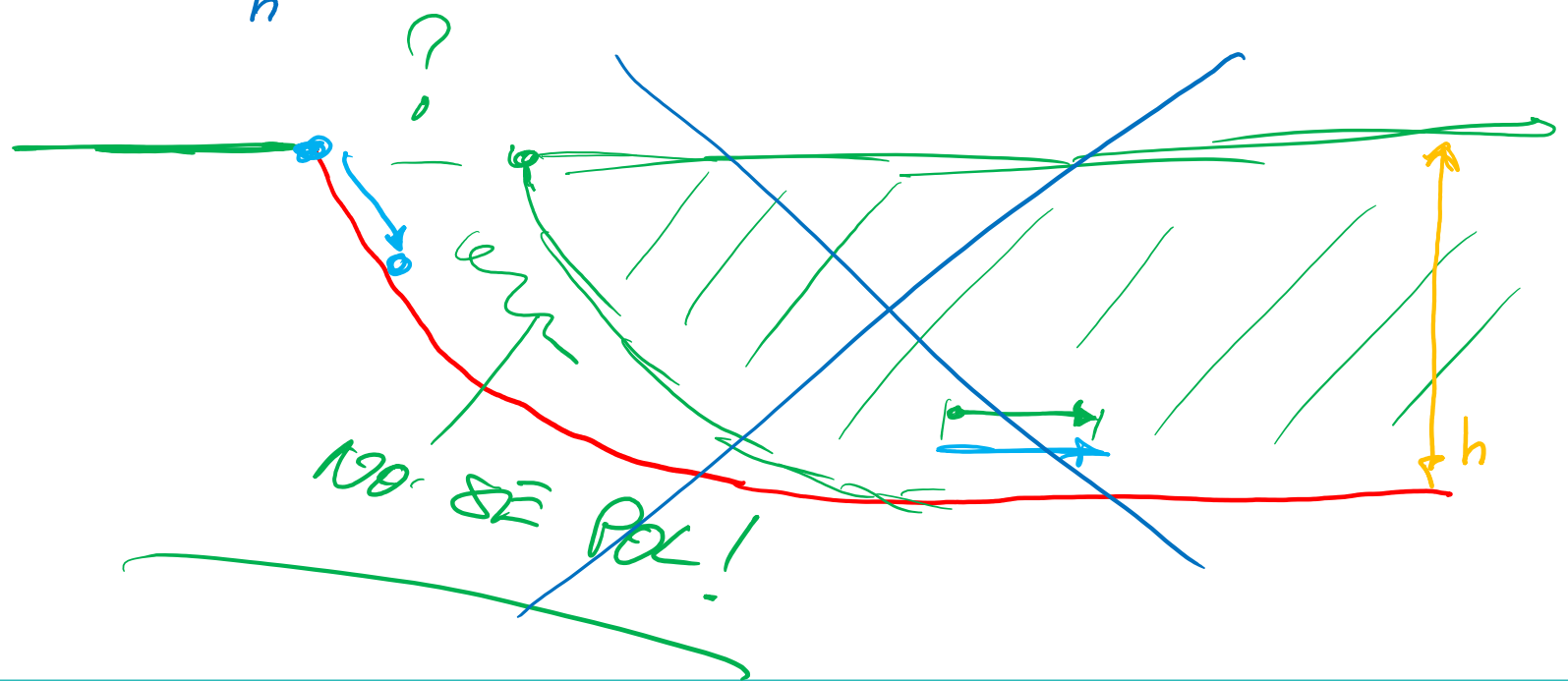




Roll-over ANTICLIVE!!

OK!

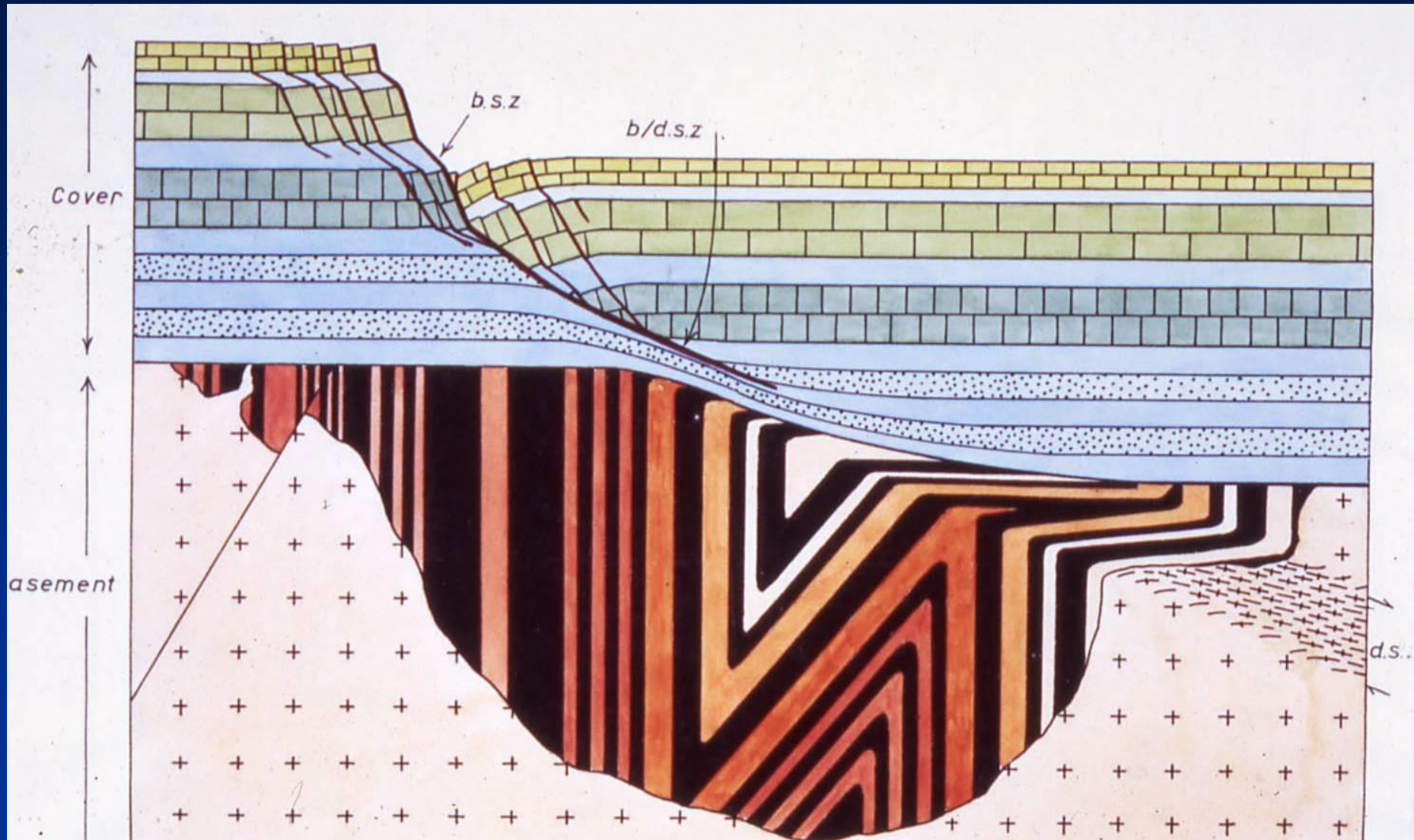
$$D = \frac{c}{h}$$



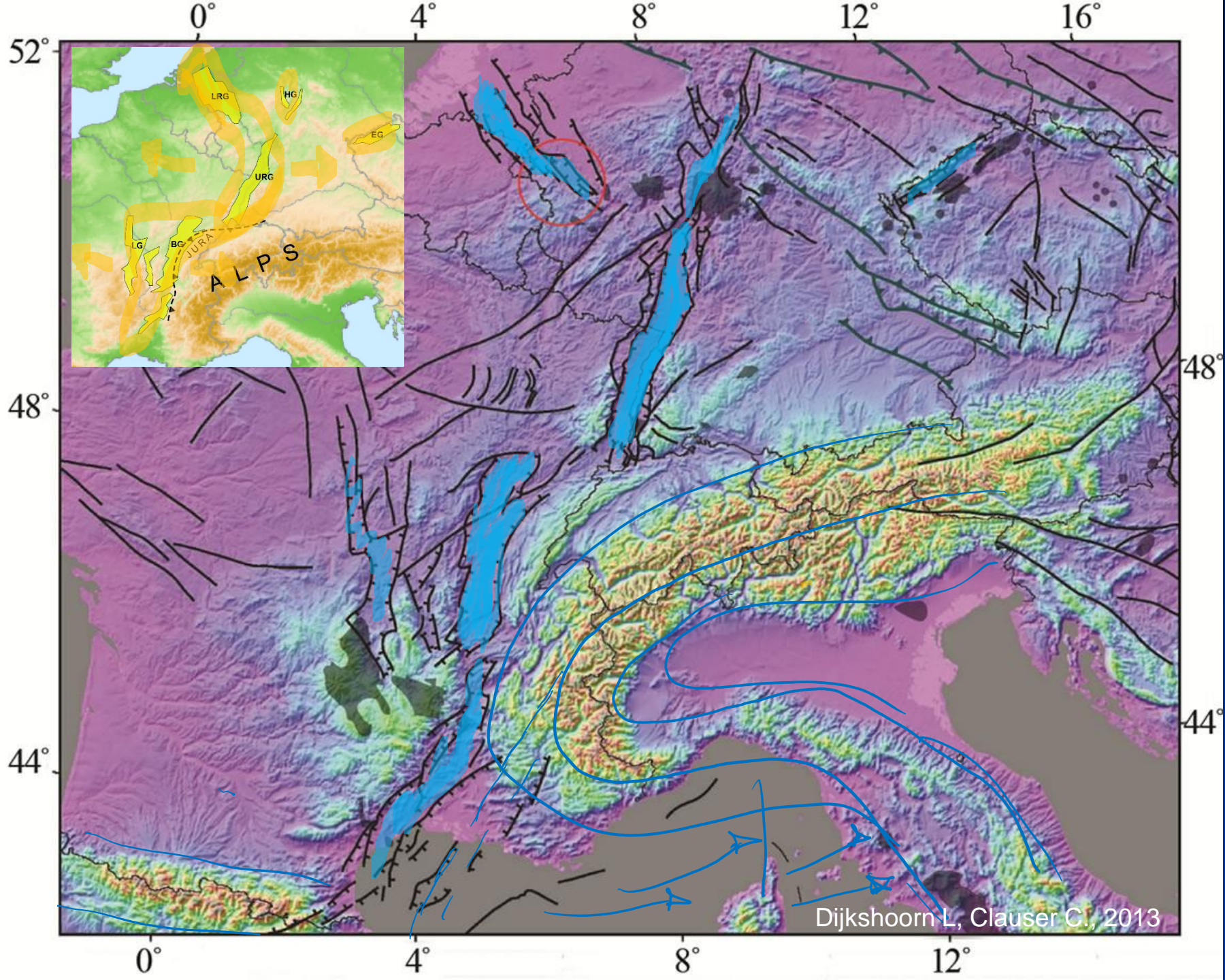
190. SE POL!



# Estensione crostale

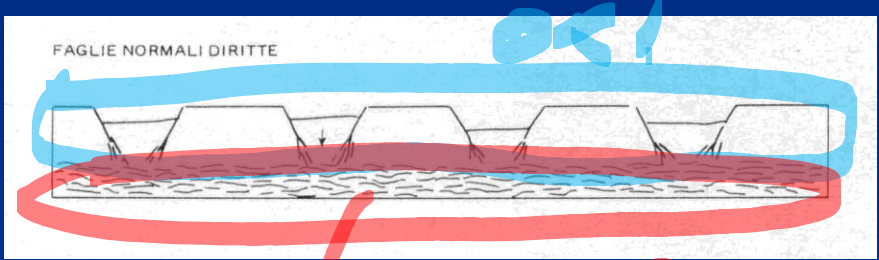
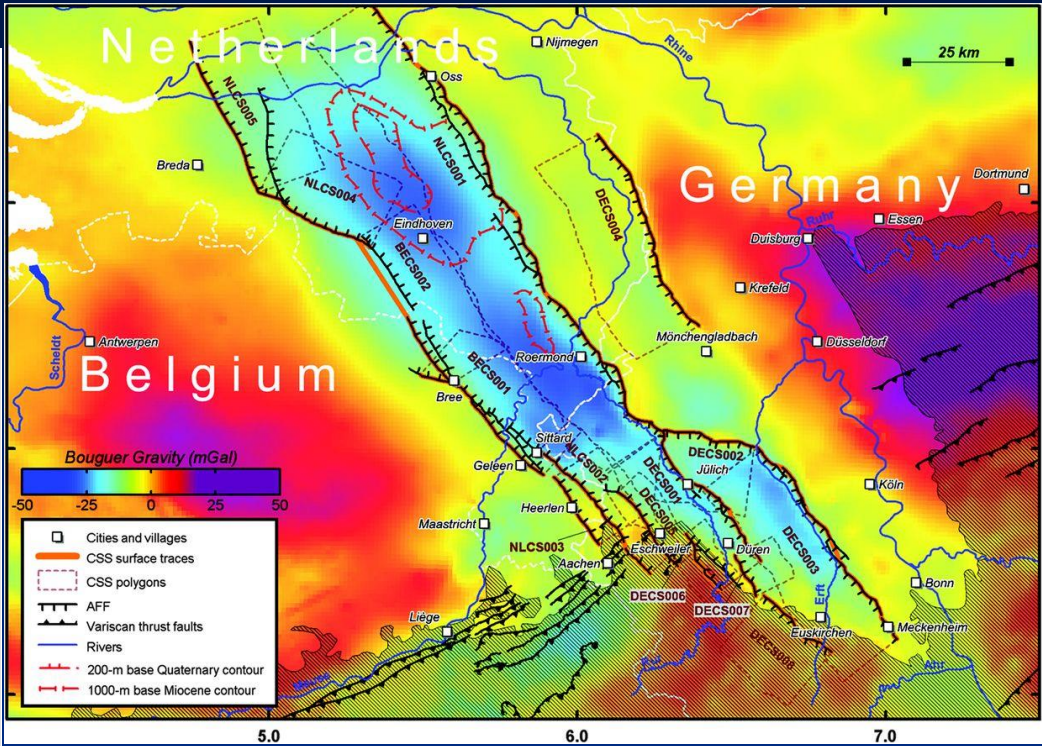
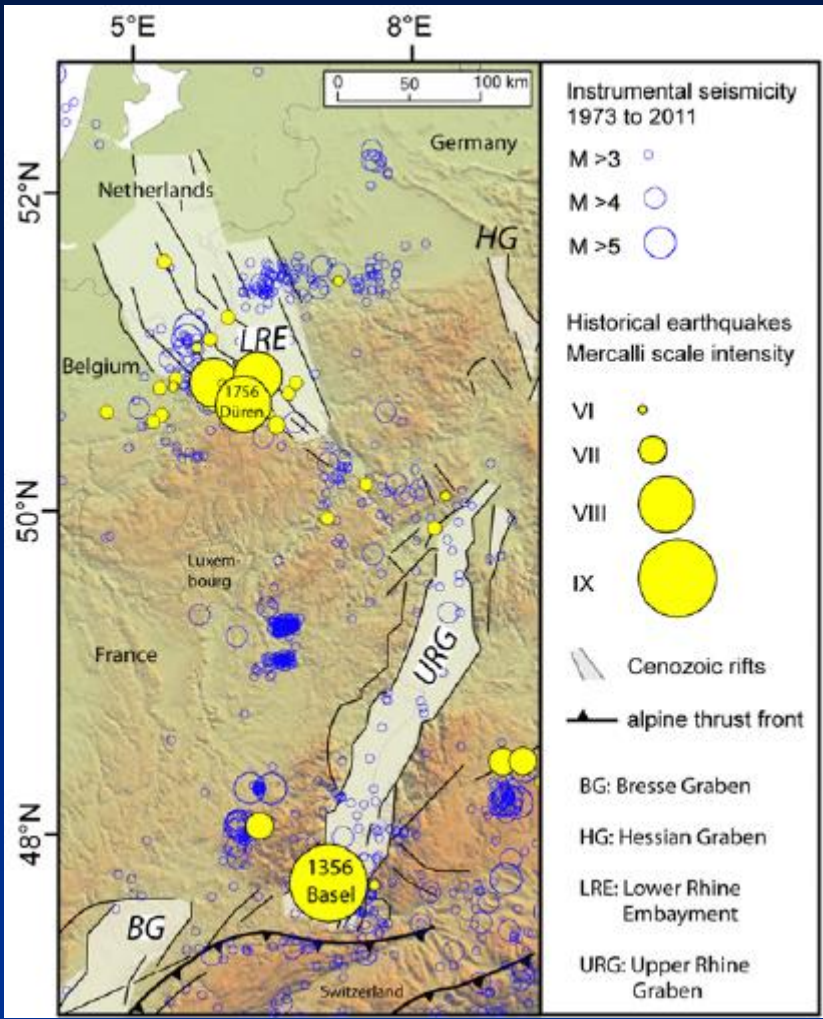






Dijkshoorn L, Clauser C, 2013

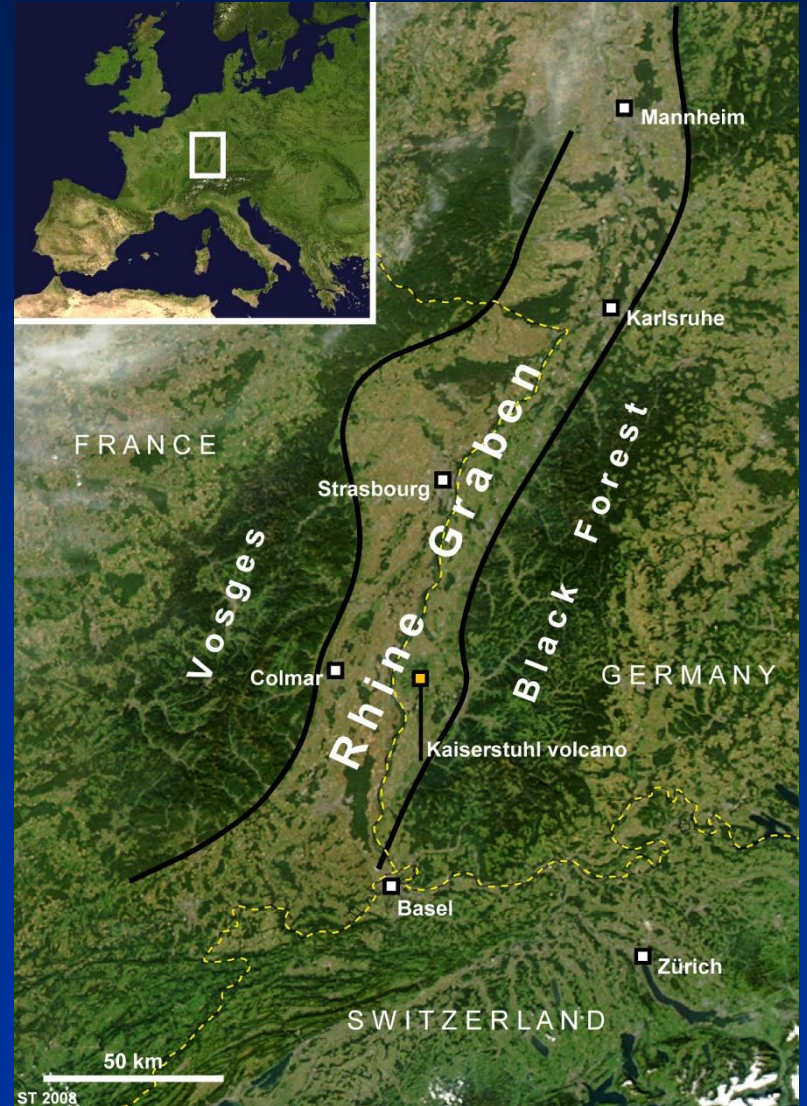
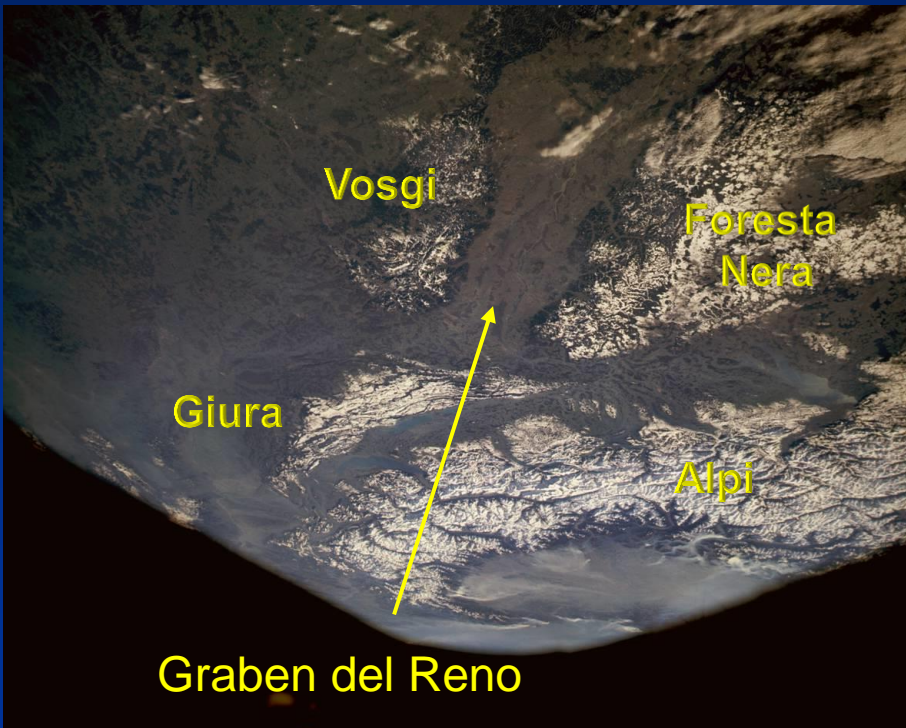
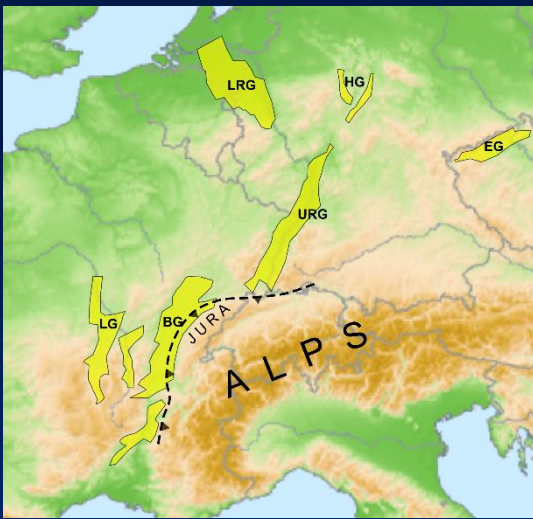




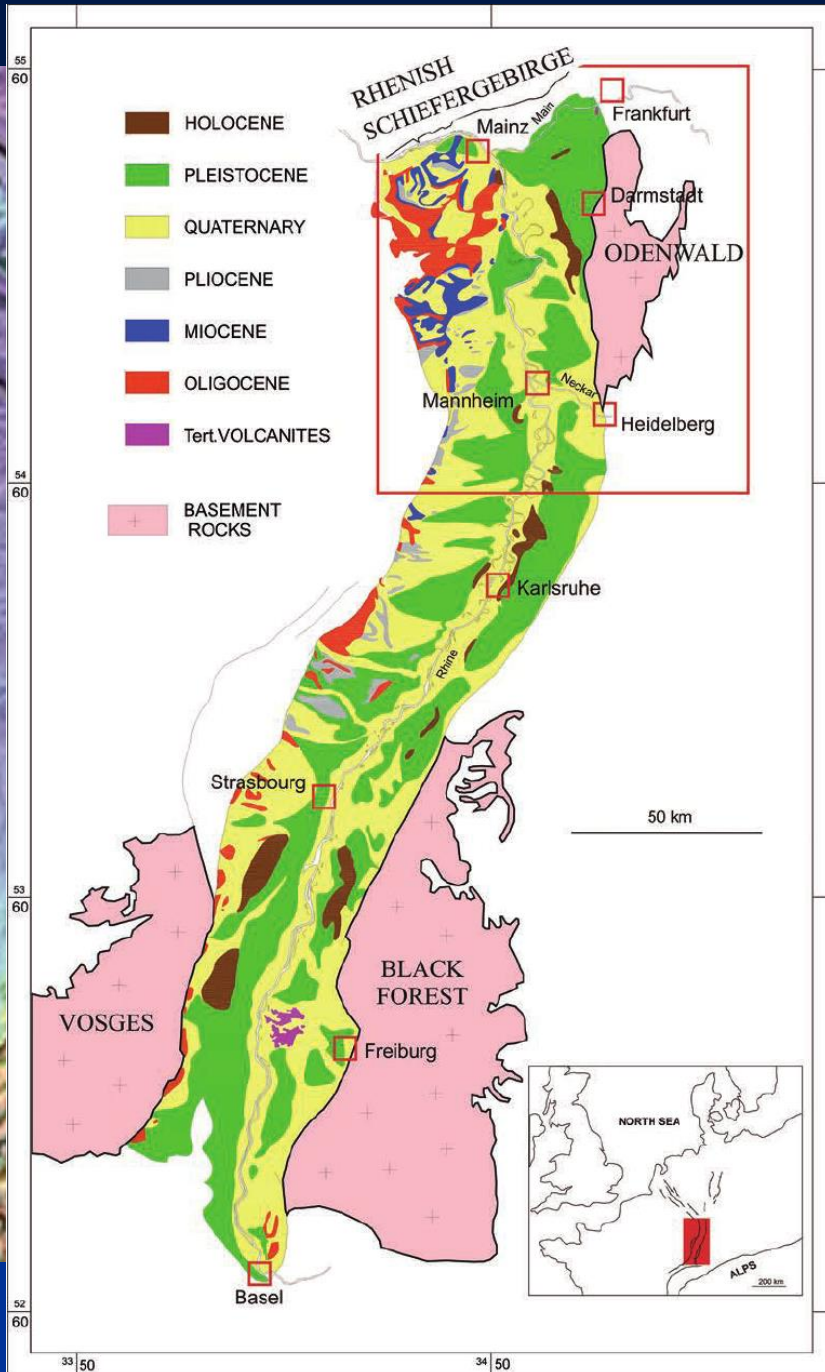
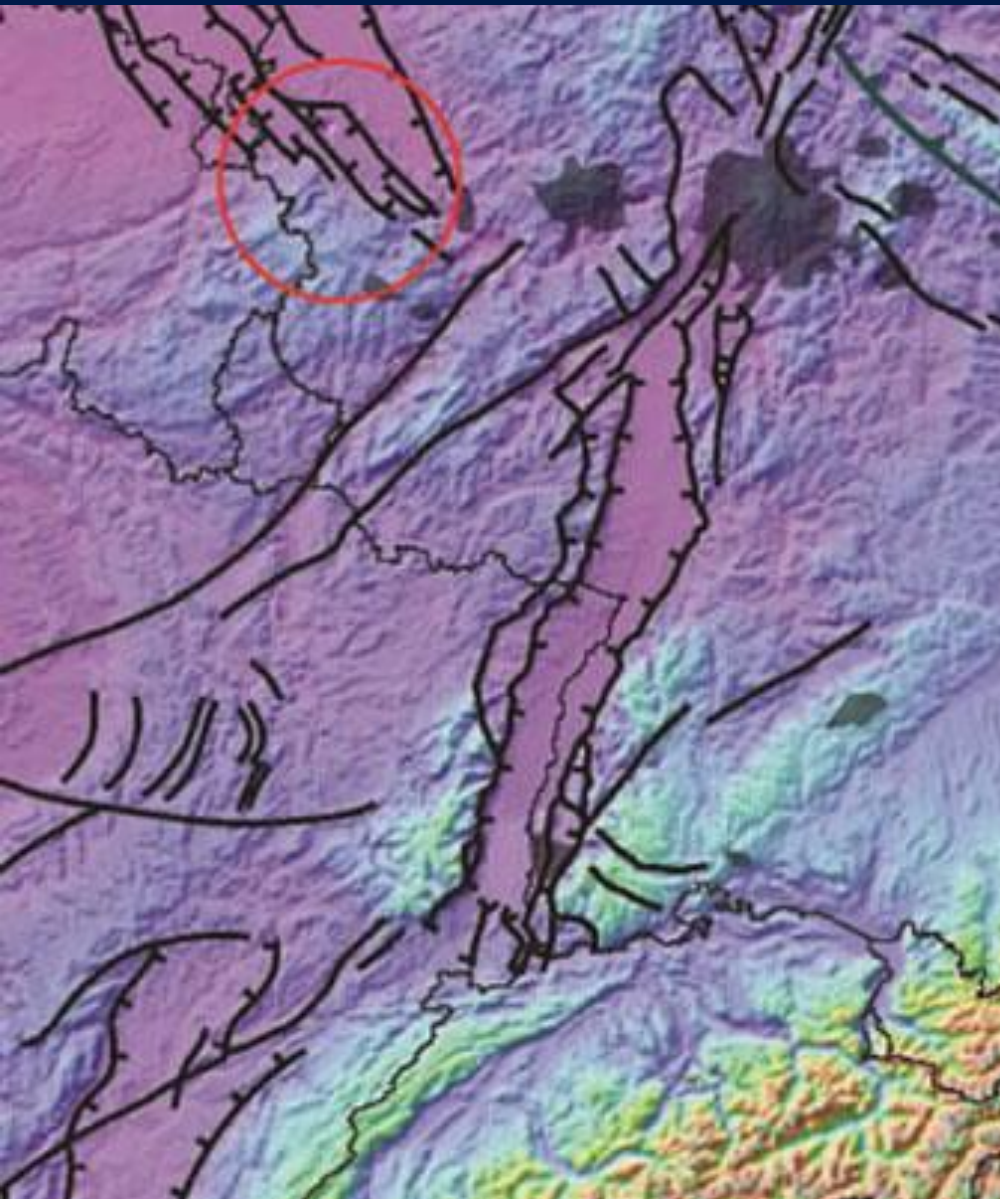
Hand-drawn blue question mark and red question marks.



# Graben del Reno





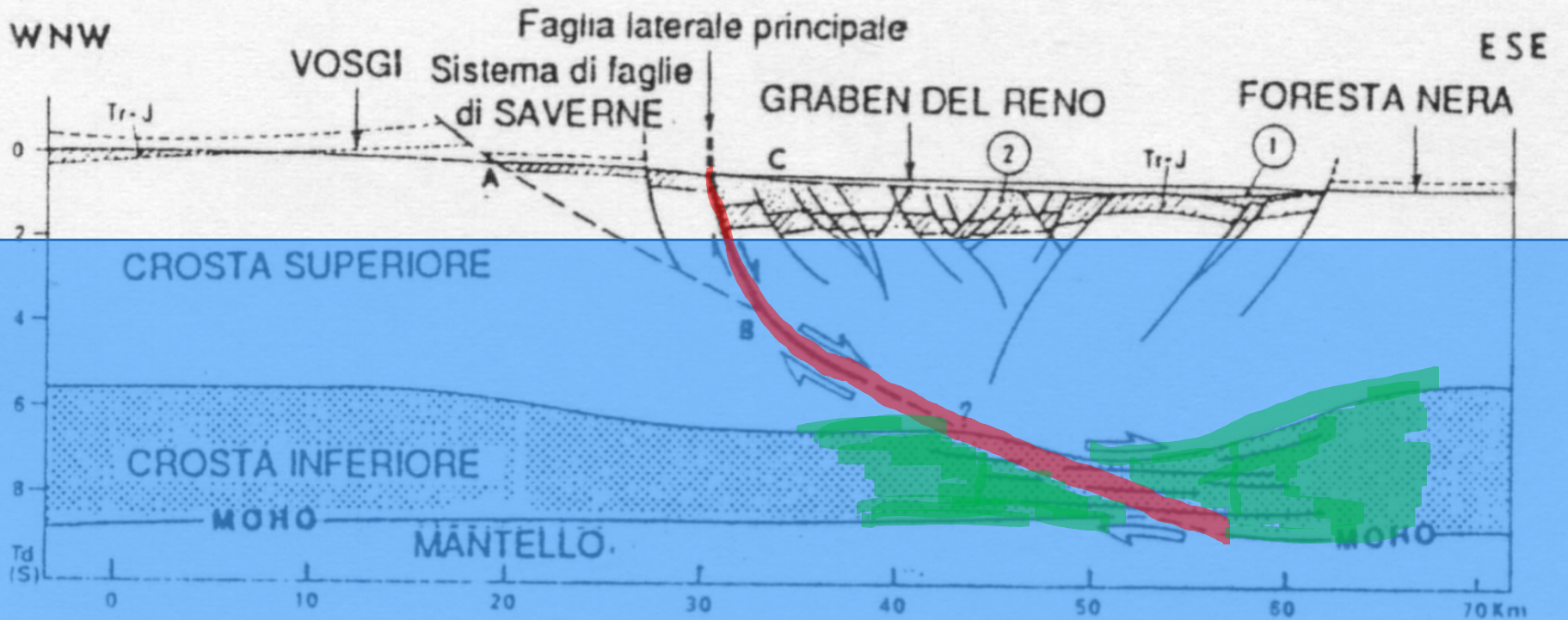


Da Dijkshoorn & Clauser, 2013

Przyrowski & Schäfer, 2015

TAGLIO PIÙ?  
NO!

Da Mercier & Vergely, 1996



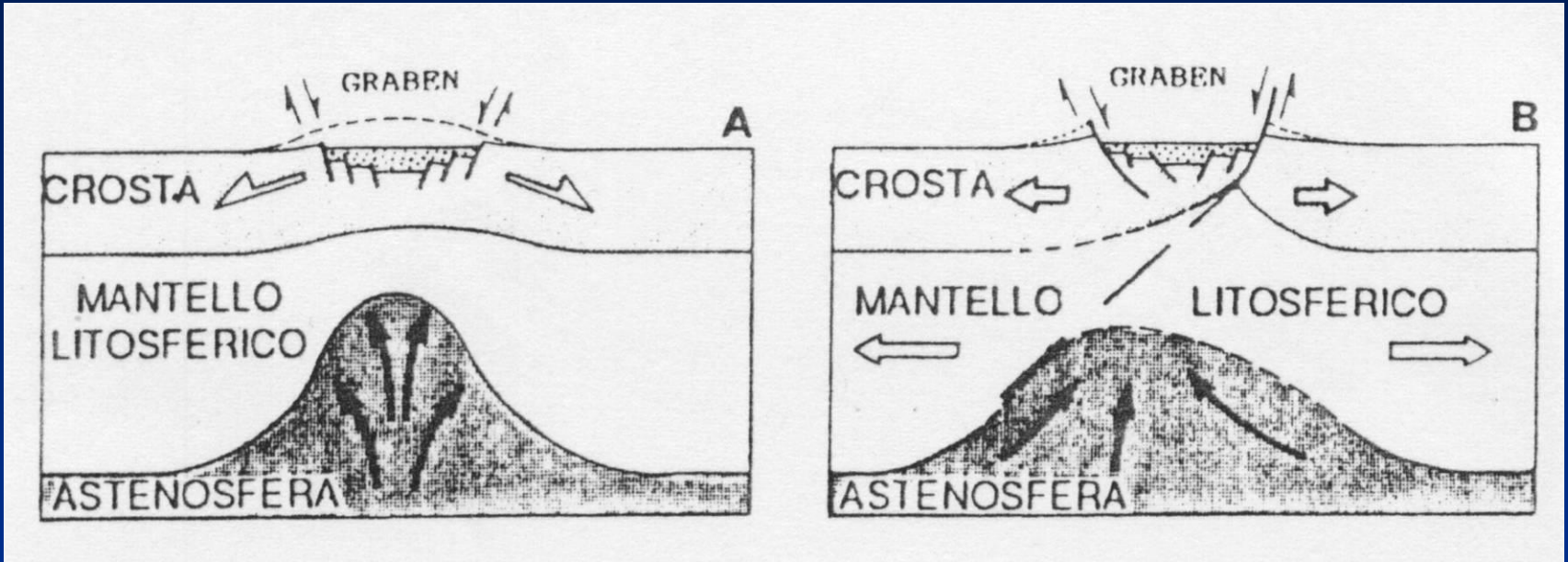
TAGLIO SEMPLICE





T. PUZO

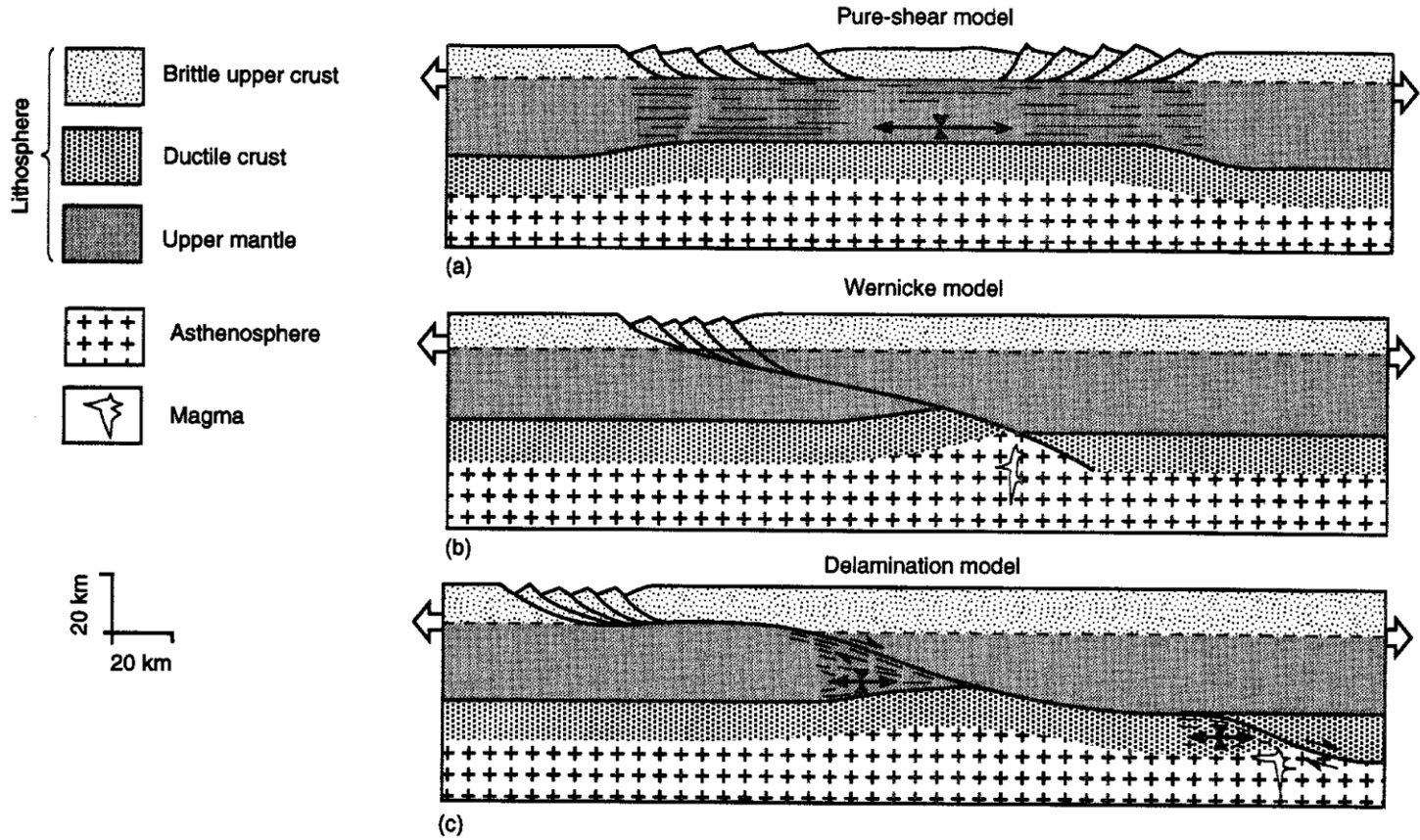
T. SEMPLICE



Da Mercier & Vergely, 1996

SIMMETRICO  
ANCO  
IN POC.

S. ASIMMETRICO

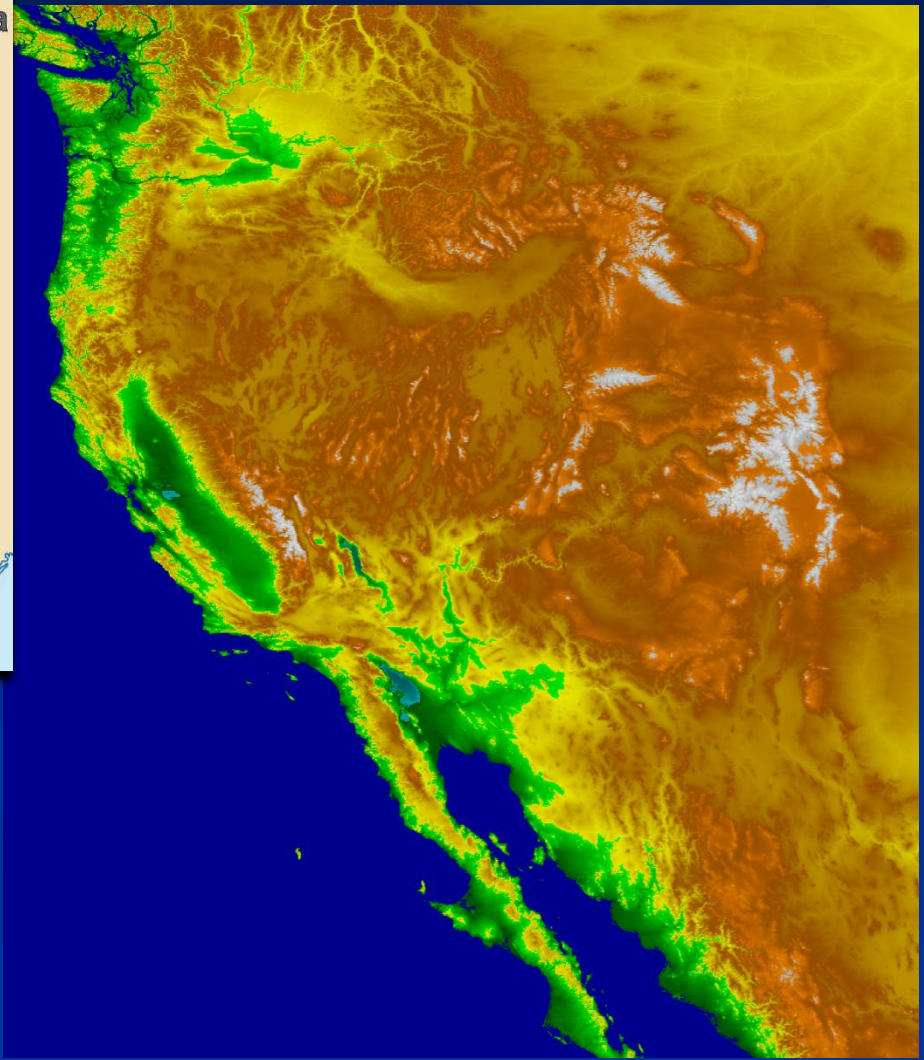


**FIGURE 13-15** Three models of extension of continental crust. (a) McKenzie "pure-shear" model: symmetrical rifting and pure shear. (b) Wernicke model: asymmetric rifting with simple shear. (c) Delamination model: asymmetric rifting with simple shear and delamination. (From G. S. Lister, M. A. Etheridge, and P. A. Symonds, *Geology*, v. 14, 1986.)

T. Puro

T. SETHI  
CE





Basin & Range, estensione  
intra-continentale

# Death Valley National Park, California

compiled by Marli Bryant Miller

## Sediments and Sedimentary Rocks

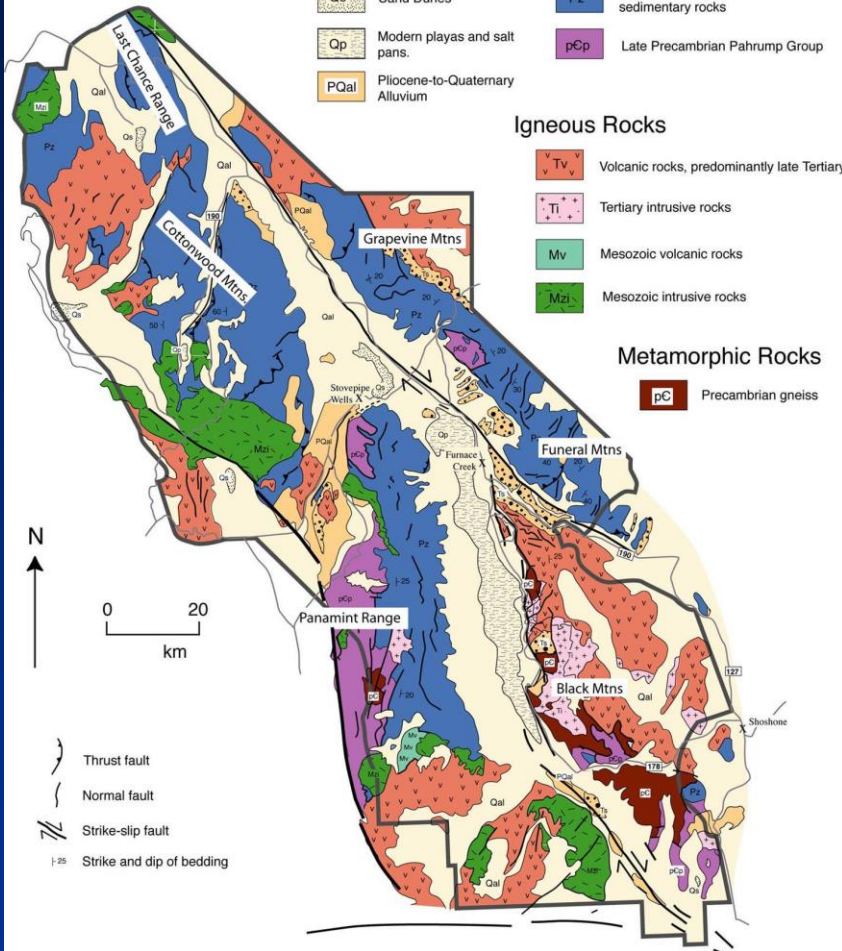
Qal	Quaternary Alluvium	Ts	Tertiary sedimentary rocks
Qs	Sand Dunes	Pz	Paleozoic and Late Proterozoic sedimentary rocks
Qp	Modern plays and salt pans.	pCp	Late Precambrian Pahrump Group
PQal	Pliocene-to-Quaternary Alluvium		

## Igneous Rocks

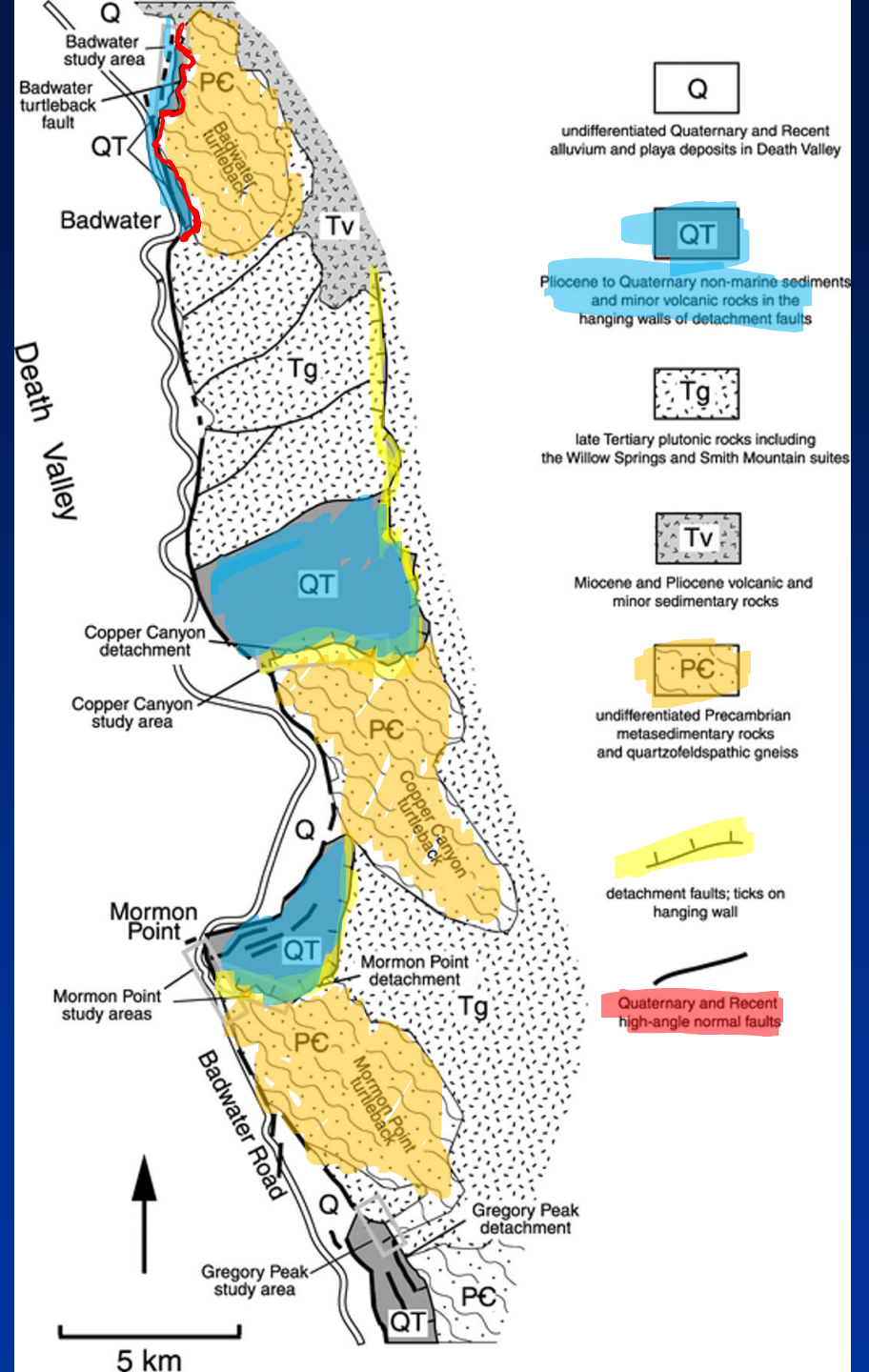
Tv	Volcanic rocks, predominantly late Tertiary
Ti	Tertiary intrusive rocks
Mv	Mesozoic volcanic rocks
Mzi	Mesozoic intrusive rocks

## Metamorphic Rocks

pC	Precambrian gneiss
----	--------------------



Valle della morte  
(Basin & Range)



Q

undifferentiated Quaternary and Recent alluvium and playa deposits in Death Valley

QT

Pliocene to Quaternary non-marine sediments and minor volcanic rocks in the hanging walls of detachment faults

Tg

late Tertiary plutonic rocks including the Willow Springs and Smith Mountain suites

Tv

Miocene and Pliocene volcanic and minor sedimentary rocks

PC

undifferentiated Precambrian metasedimentary rocks and quartzofeldspathic gneiss

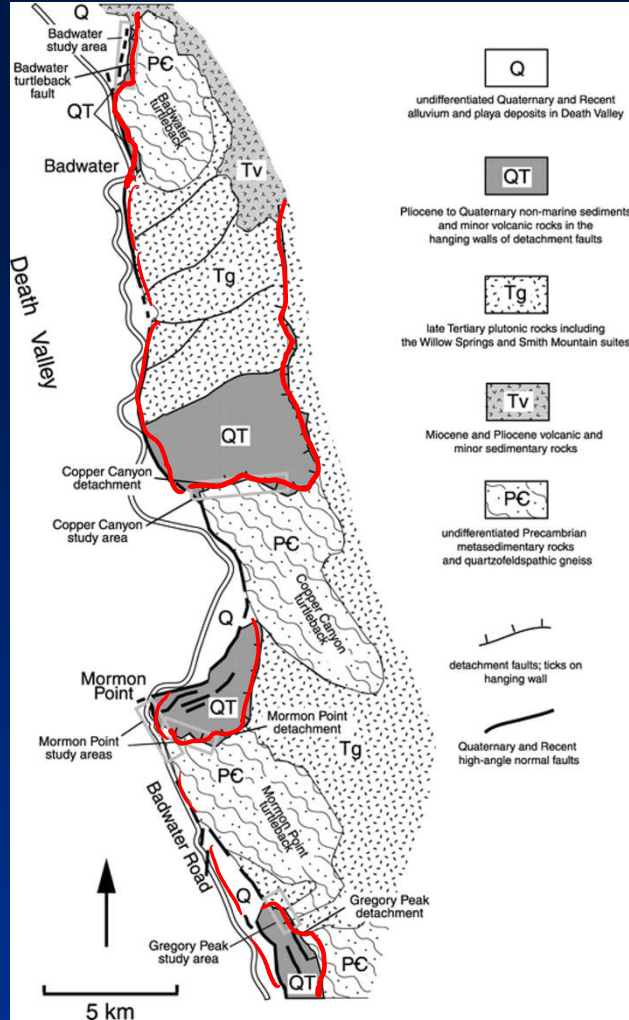


detachment faults; ticks on hanging wall

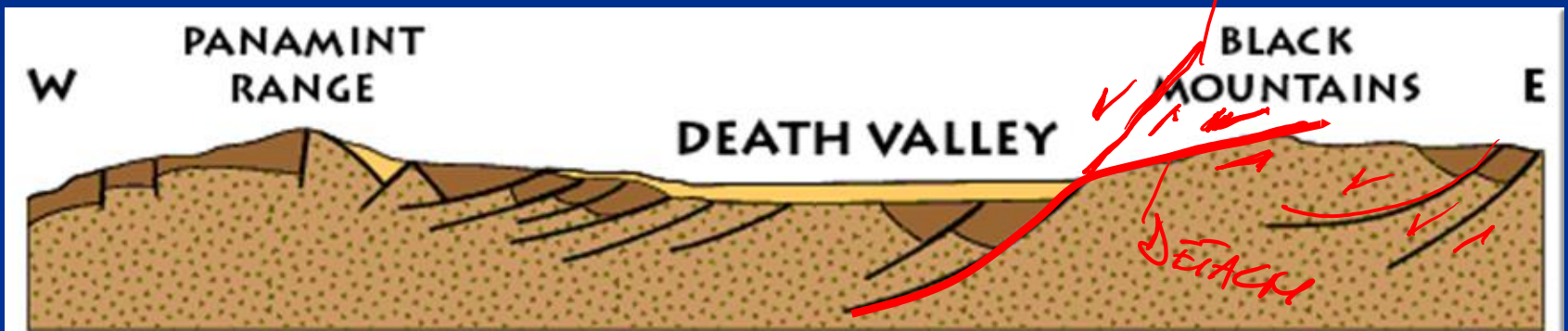
Quaternary and Recent high-angle normal faults

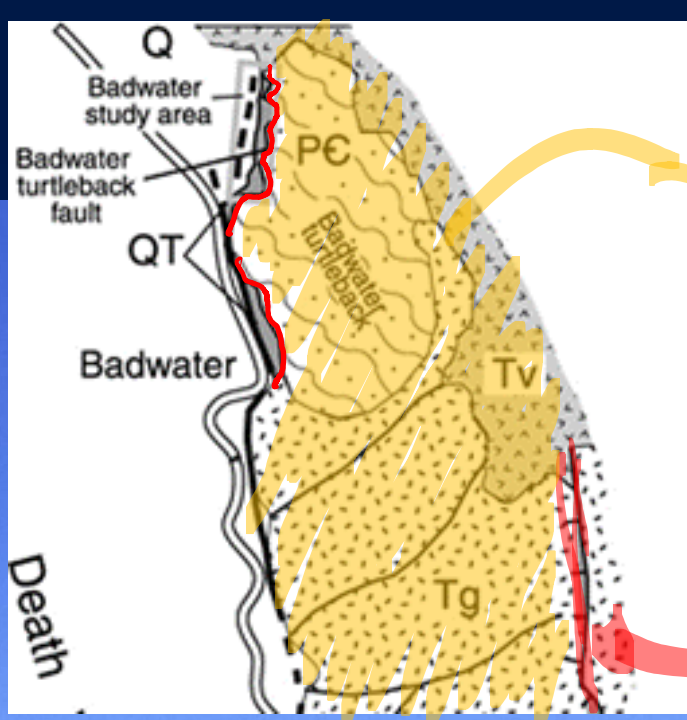
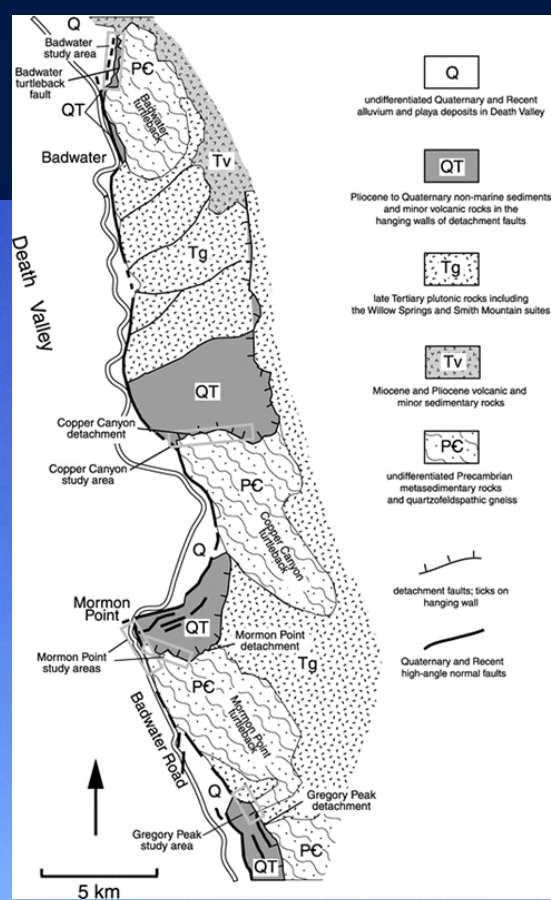
5 km





*F. VOLPARE + GIOVANI*



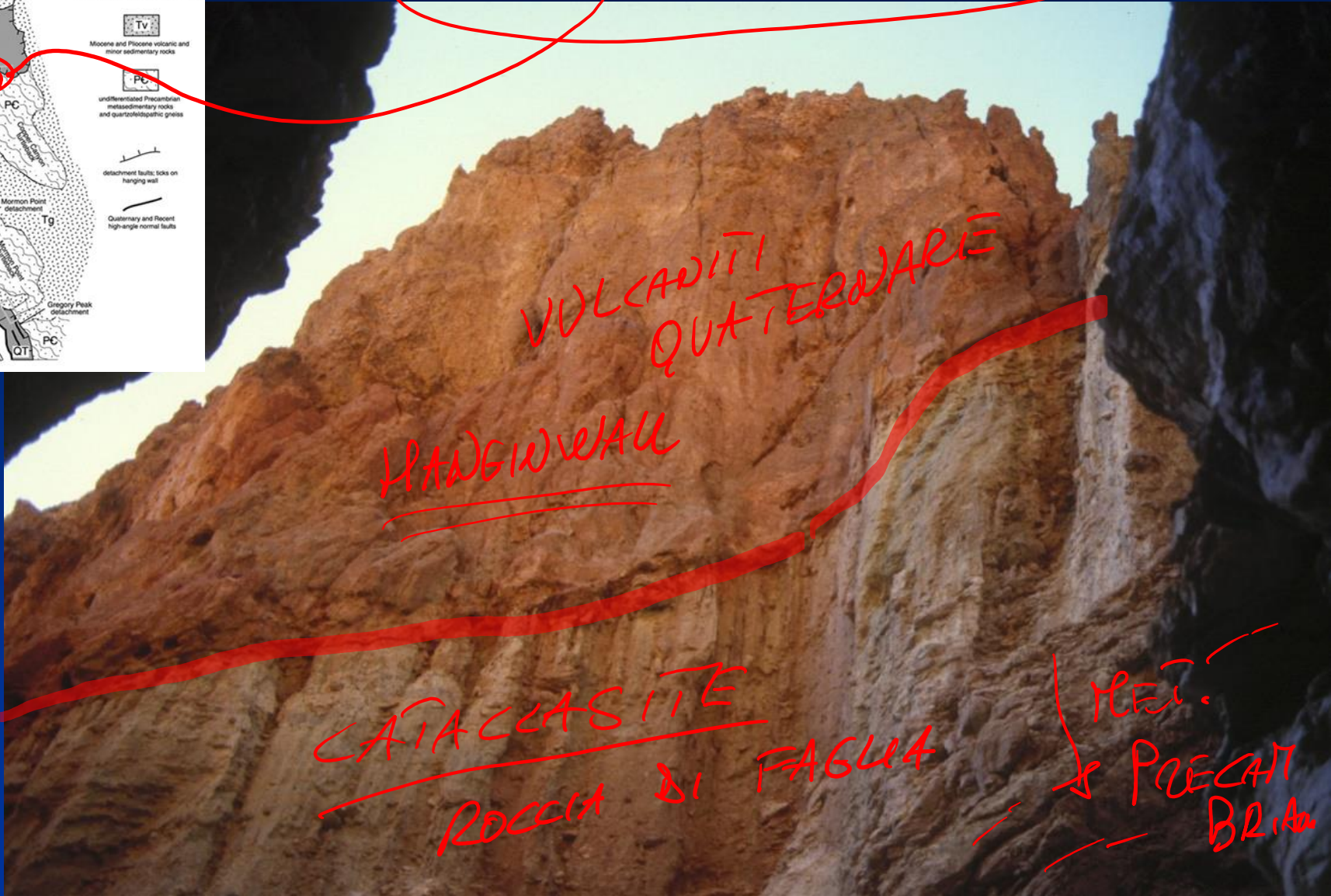
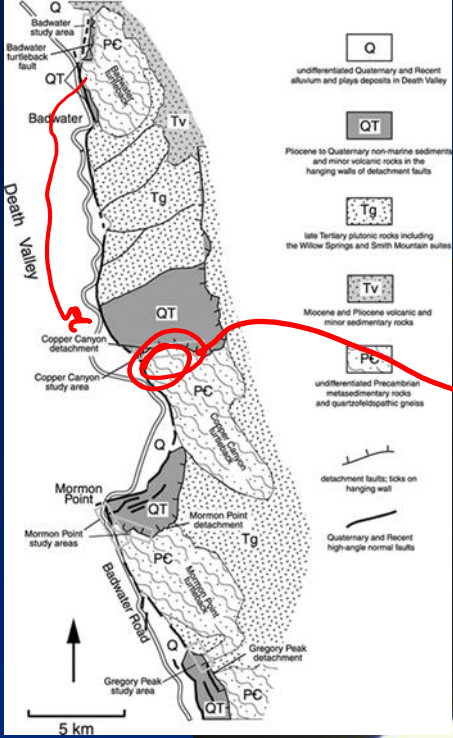


Badwater  
Turtleback normal  
fault  
DETACHMENT

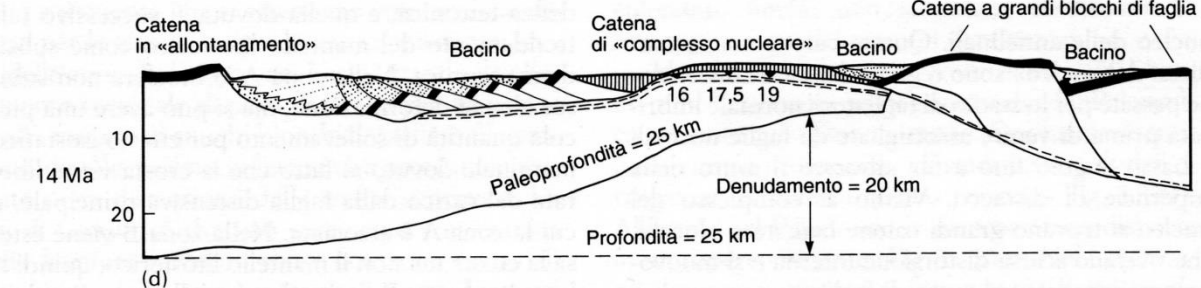
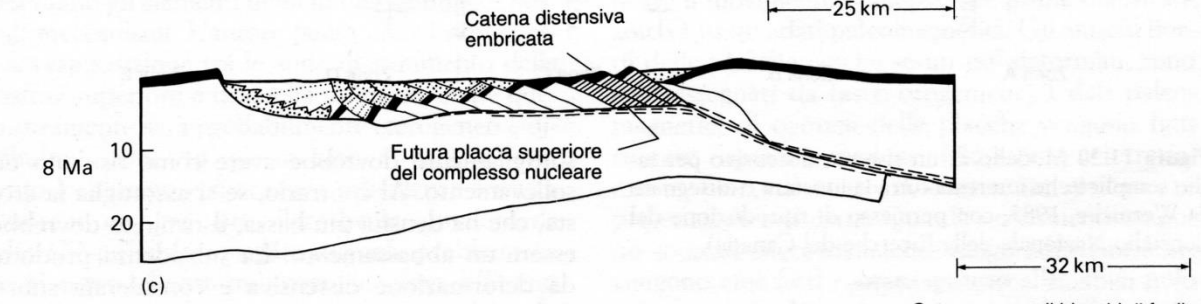
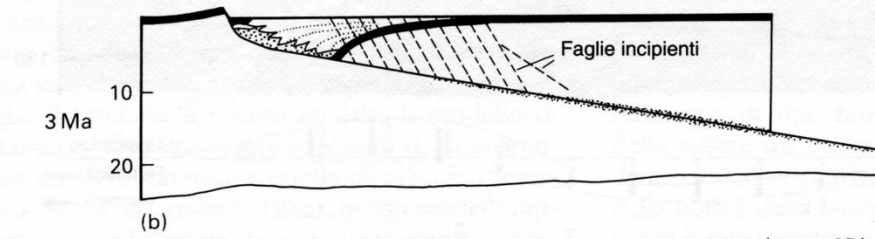
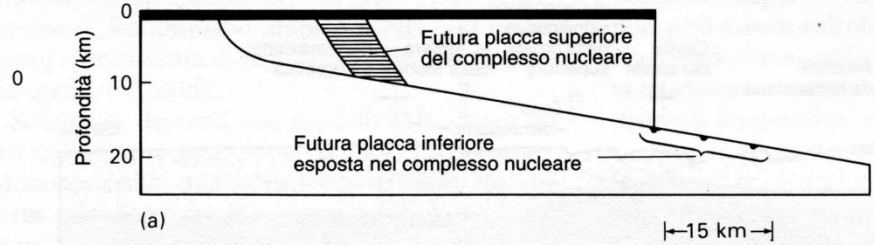




# Badwater Turtleback normal fault: Copper Canyon fault zone

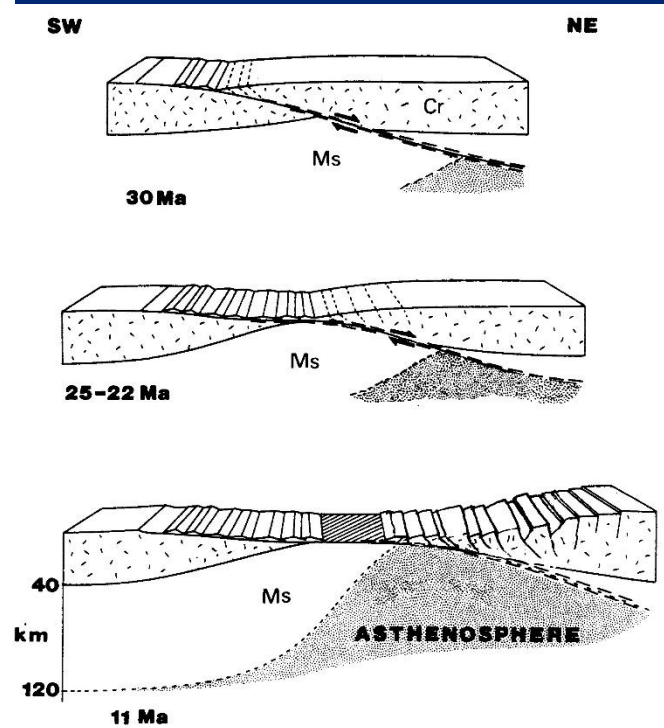


Tempo a  $5 \text{ mm a}^{-1}$



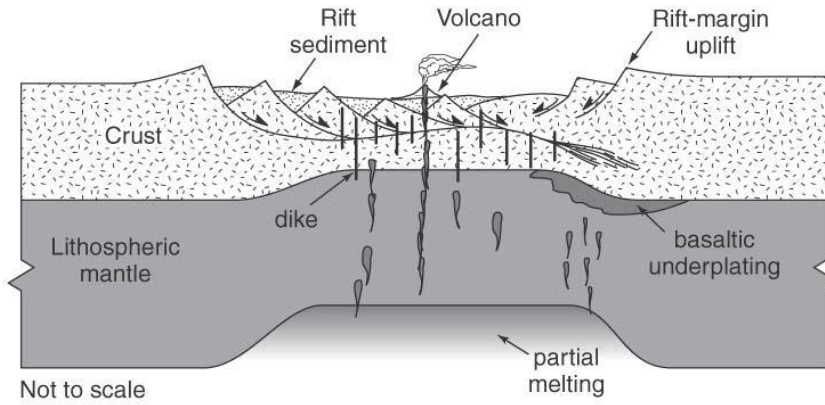
- Riferimento pre-orogenico
- Depositi clastici orogenici: fini-lacustri grossolani
- Rocce molto assottigliate e stirate
- Zona di taglio duttile
- 16,5 Paleoprofondità della placca inferiore del «complesso nucleare»

Estensione totale = 72 km (100%)

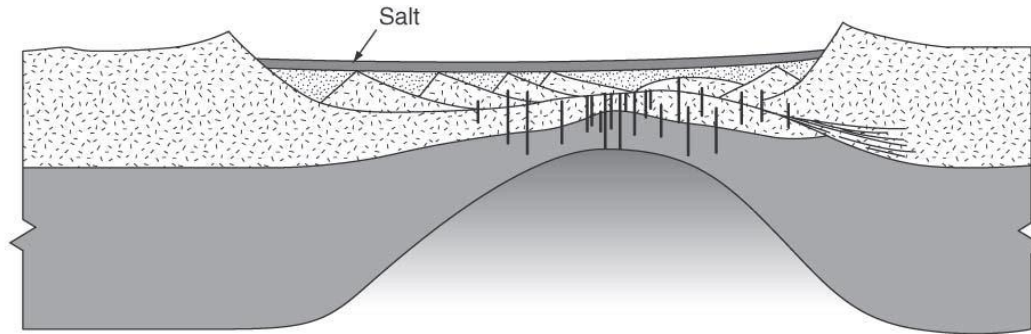




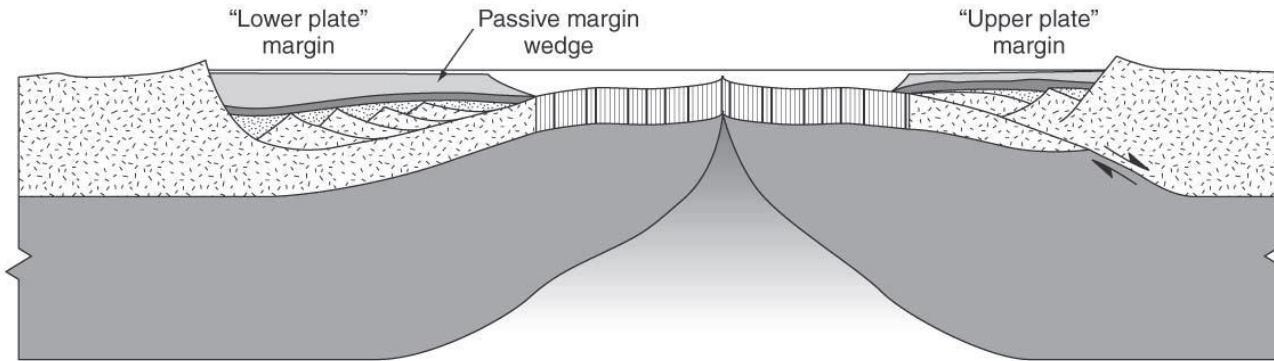
Da van der Pluijm & Marshak, 2004



(a)

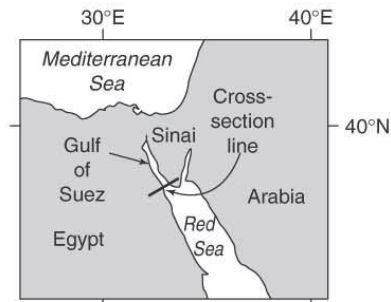
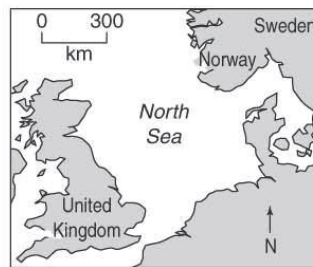
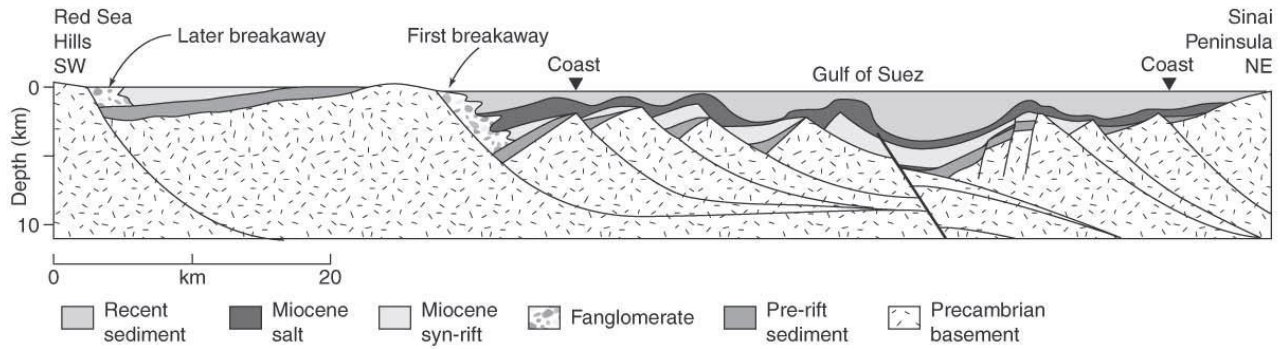
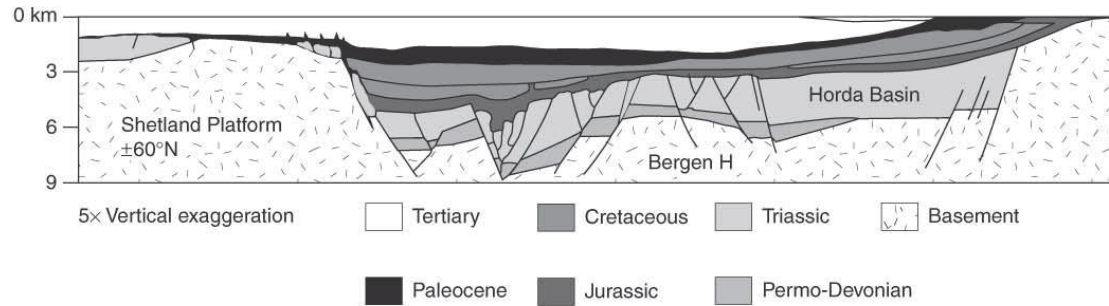


(b)



(c)

### Viking Graben





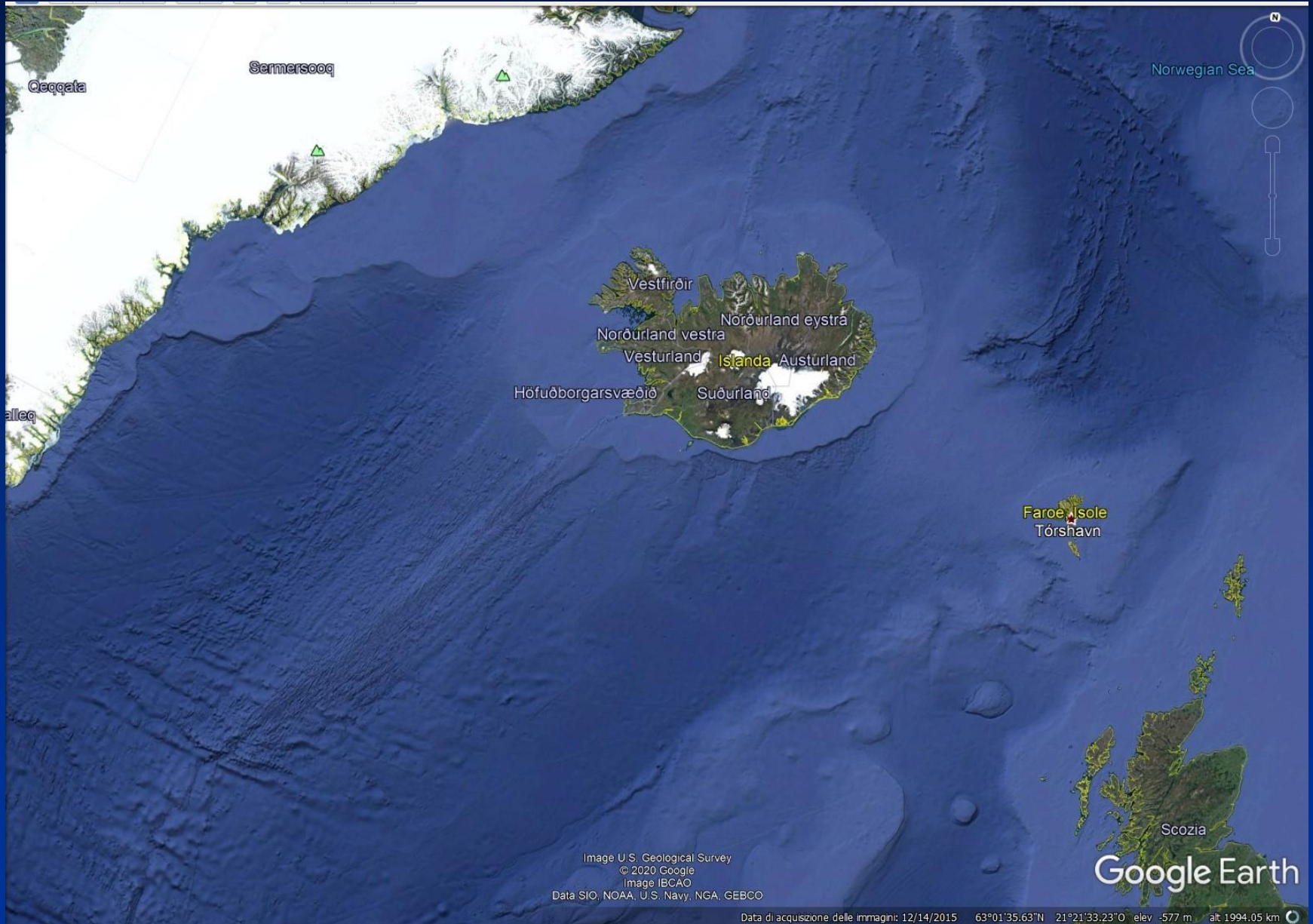
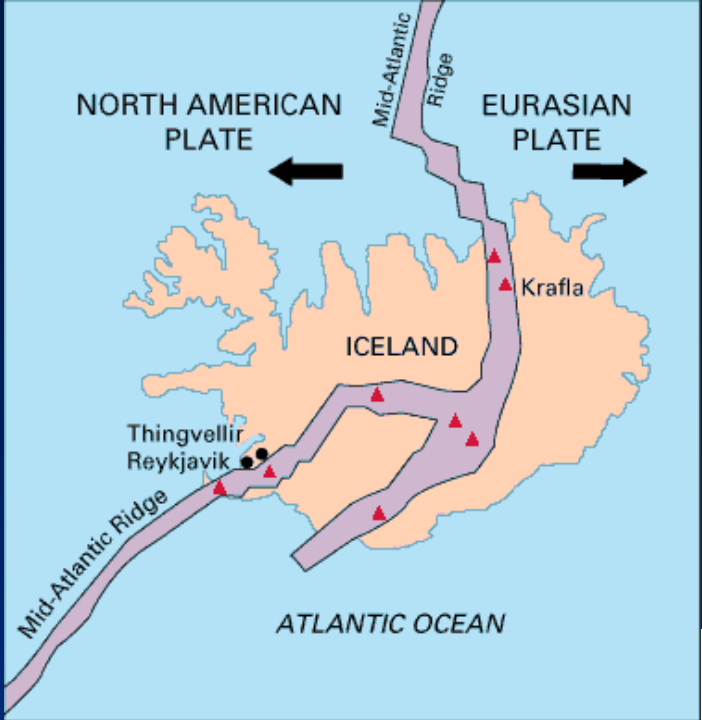


Image U.S. Geological Survey  
© 2020 Google  
Image IBCAO  
Data SIO, NOAA, U.S. Navy, NGA, GEBCO

Google Earth

Data di acquisizione delle immagini: 12/14/2015 63°01'35.63"N 21°21'33.23"O elev -577 m alt 1994.05 km



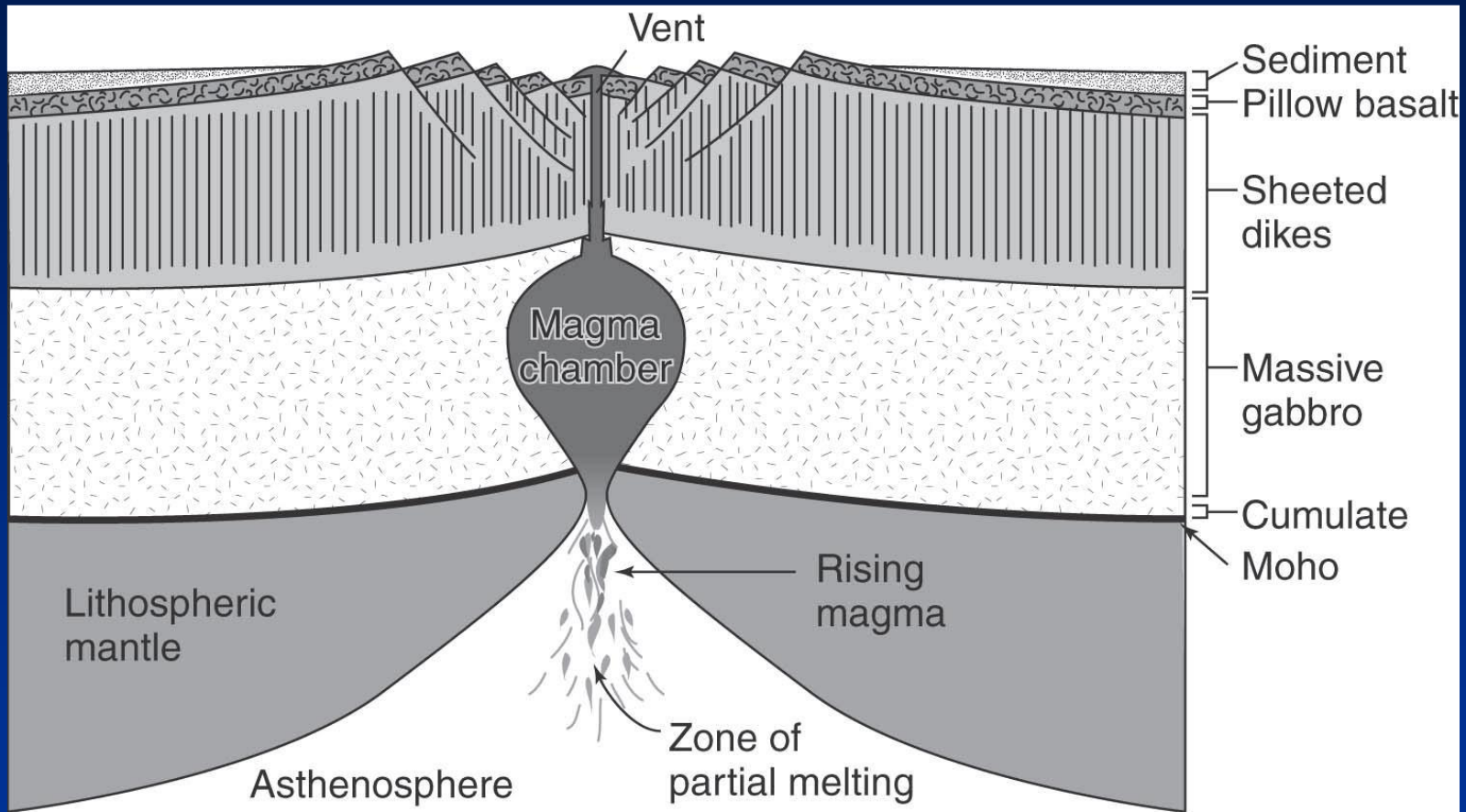
USGS:  
<https://pubs.usgs.gov/gip/dynamic/understanding.html>



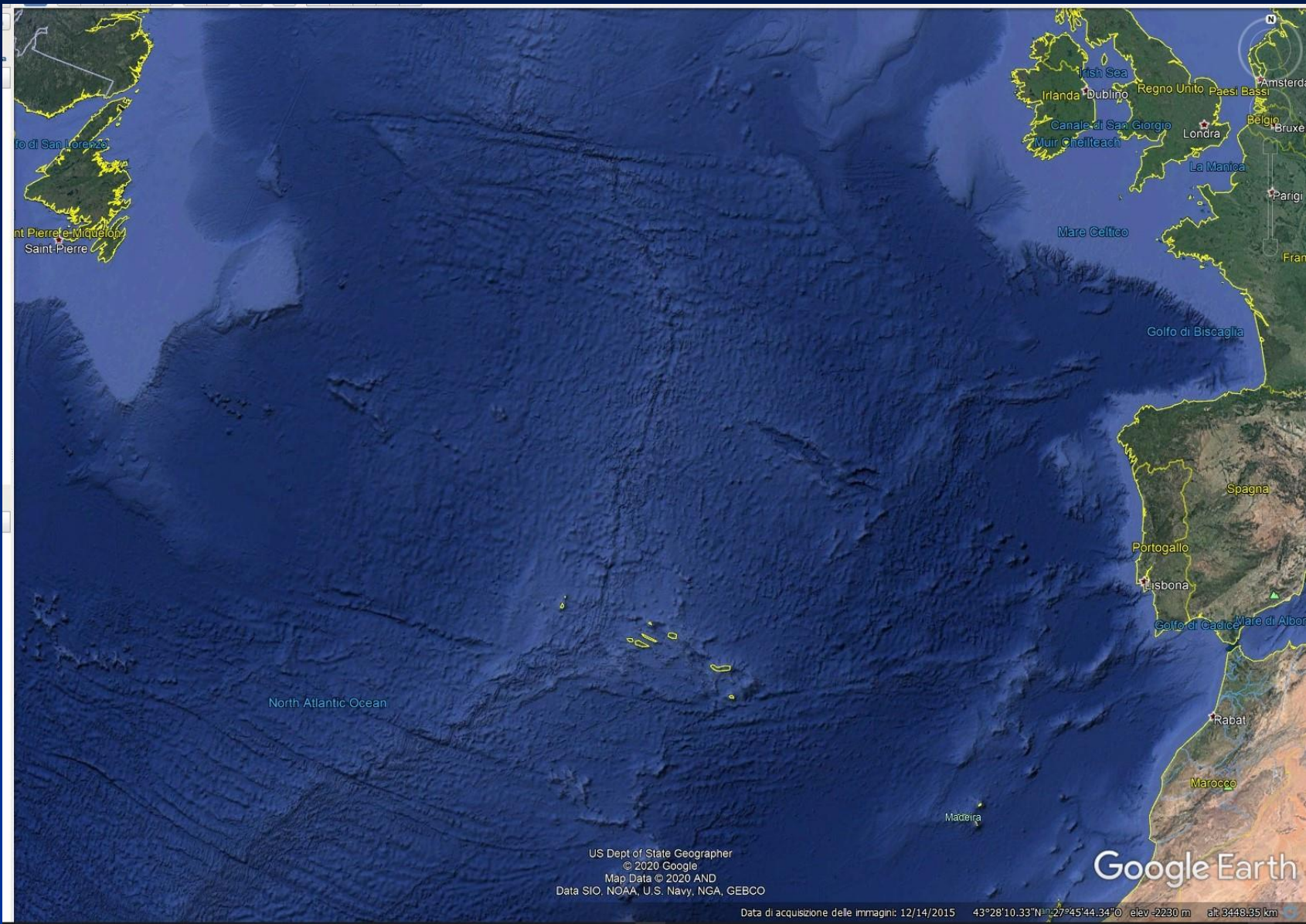
Thingvellir National Park, Iceland

[https://commons.wikimedia.org/wiki/File:Iceland\\_mid\\_atlantic\\_ridge.JPG](https://commons.wikimedia.org/wiki/File:Iceland_mid_atlantic_ridge.JPG)





Da van der Pluijm & Marshak, 2004



0  
1  
2  
3  
4  
5  
6  
7  
8  
9  
10  
11  
12  
13  
14  
15  
16  
17  
18  
19  
20  
21  
22  
23  
24  
25  
26  
27  
28  
29  
30  
31  
32  
33  
34  
35  
36  
37  
38  
39  
40  
41  
42  
43  
44  
45  
46  
47  
48  
49  
50  
51  
52  
53  
54  
55  
56  
57  
58  
59  
60  
61  
62  
63  
64  
65  
66  
67  
68  
69  
70  
71  
72  
73  
74  
75  
76  
77  
78  
79  
80  
81  
82  
83  
84  
85  
86  
87  
88  
89  
90  
91  
92  
93  
94  
95  
96  
97  
98  
99  
100

to di San Lorenzo  
nt Pierre, Michelon  
Saint Pierre

Irish Sea  
Irlanda  
Dublino  
Regno Unito  
Paesi Bassi  
Amsterdam  
Belgio  
Bruxelles  
Londra  
La Manica  
Mare Celtico  
Parigi  
Fran

Golfo di Biscaglia

Spagna  
Portogallo  
Lisbona  
Golfo di Cadice  
Mare di Albor

North Atlantic Ocean

Madeira

Rabat

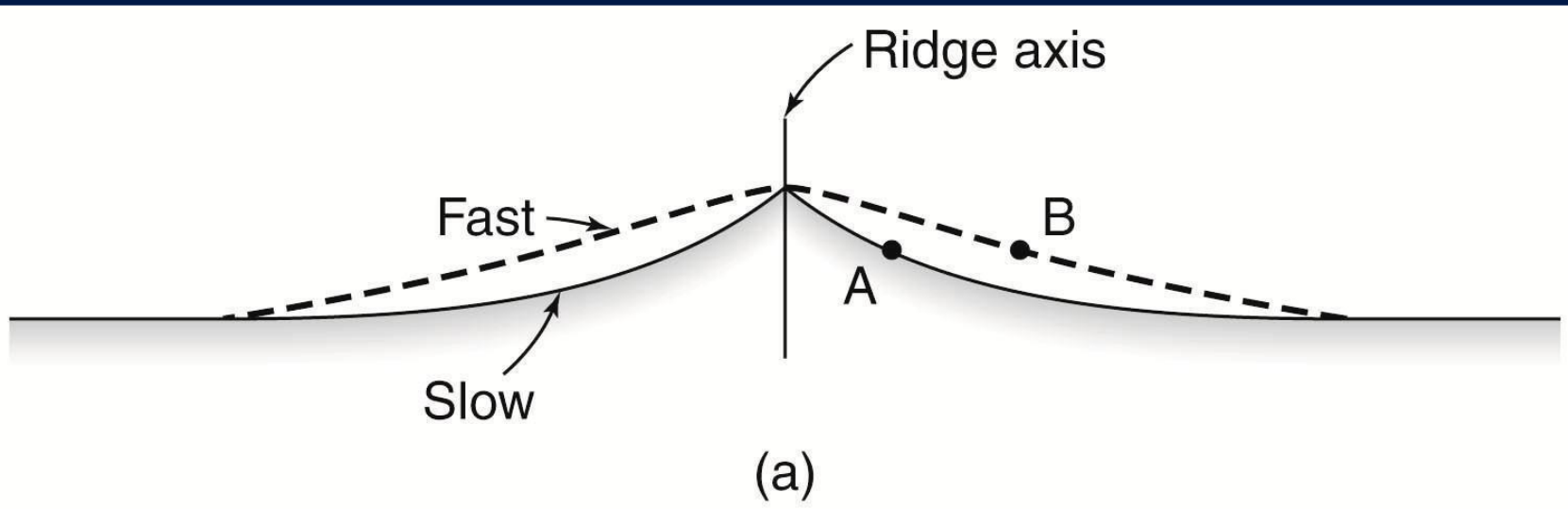
Marocco

US Dept of State Geographer  
© 2020 Google  
Map Data © 2020 AND  
Data SIO, NOAA, U.S. Navy, NGA, GEBCO

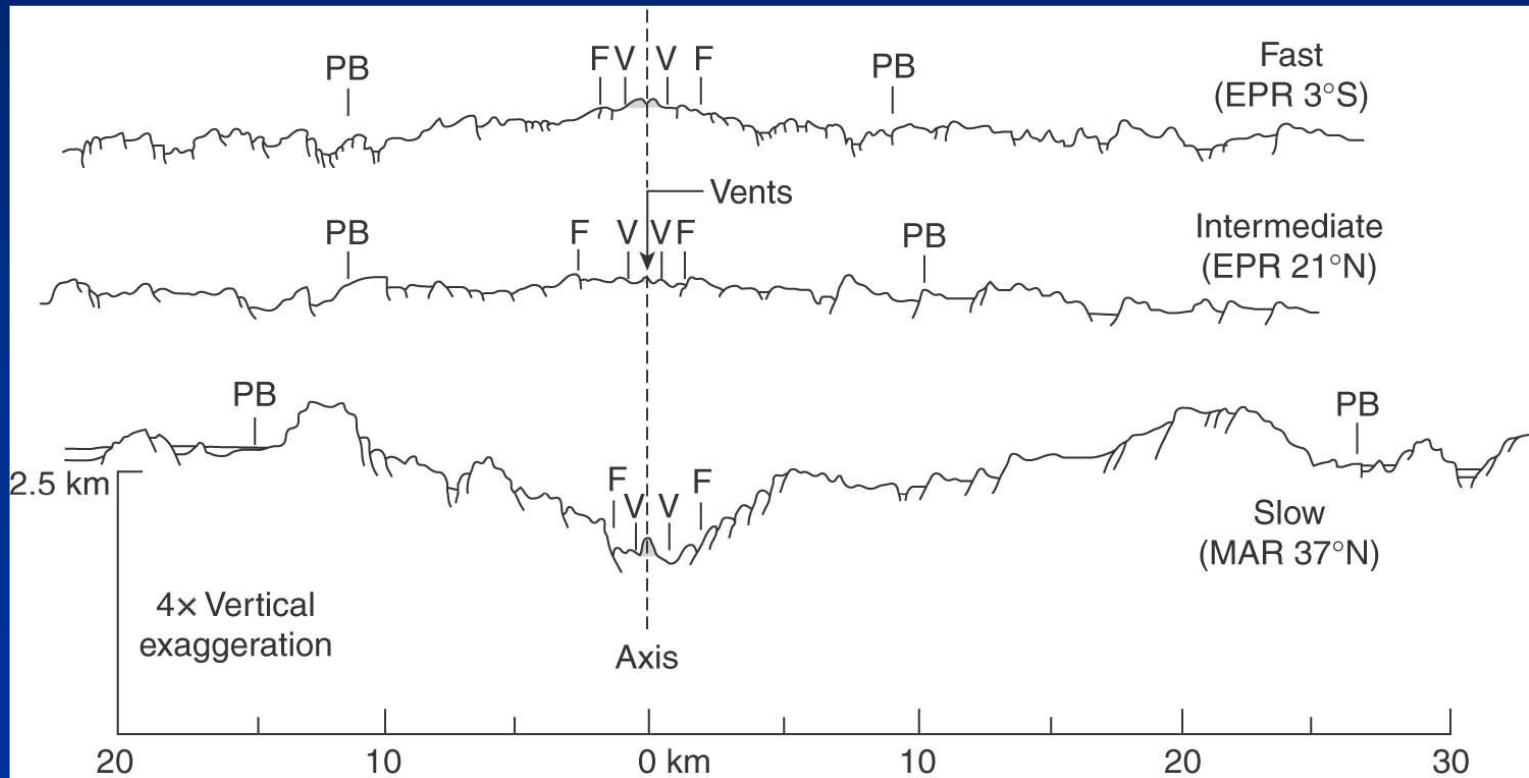
Google Earth

Data di acquisizione delle immagini: 12/14/2015 43°28'10.33"N 27°45'44.34"O elev -2230 m alt 3448.35 km

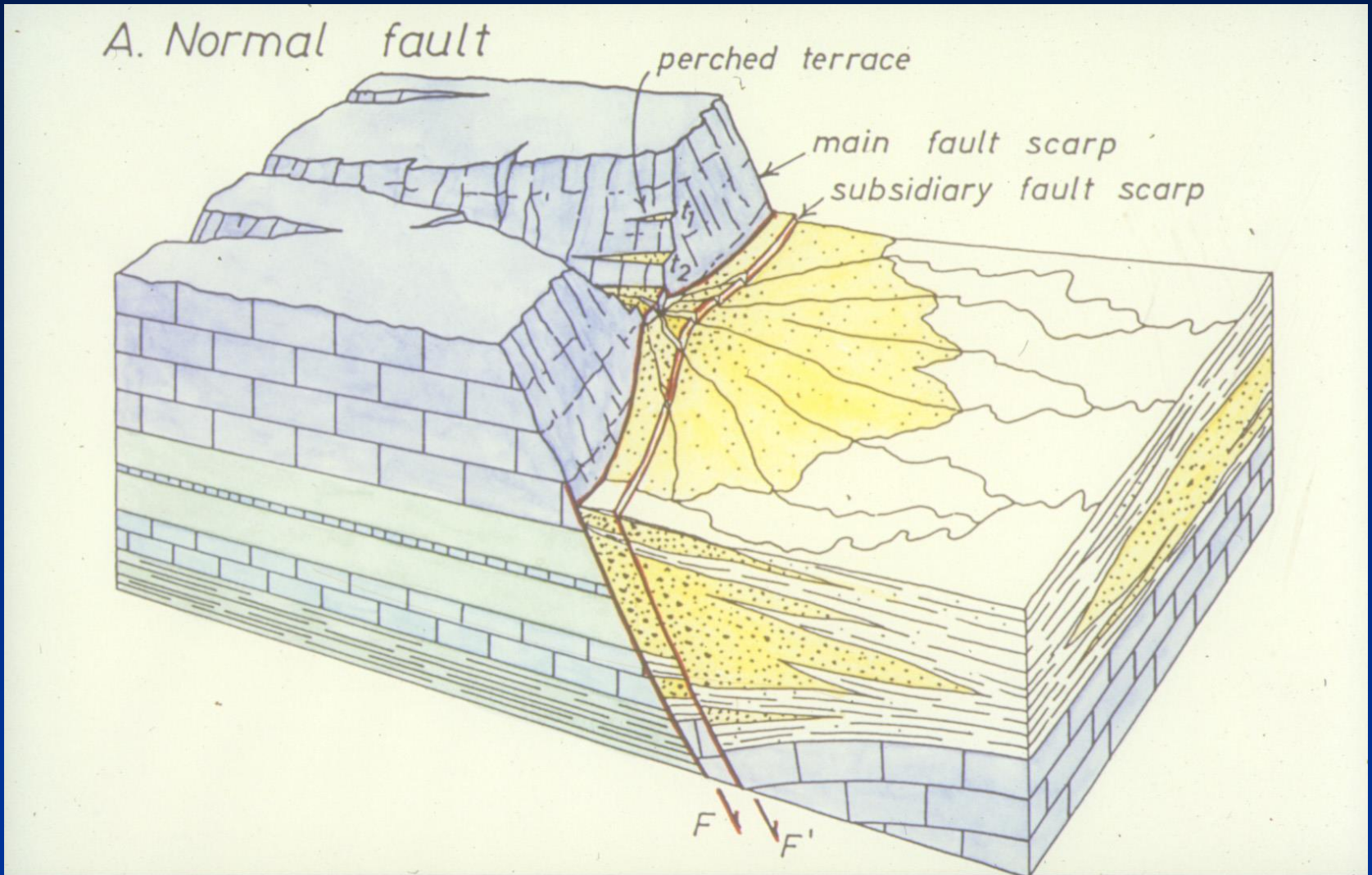




Da van der Pluijm & Marshak, 2004

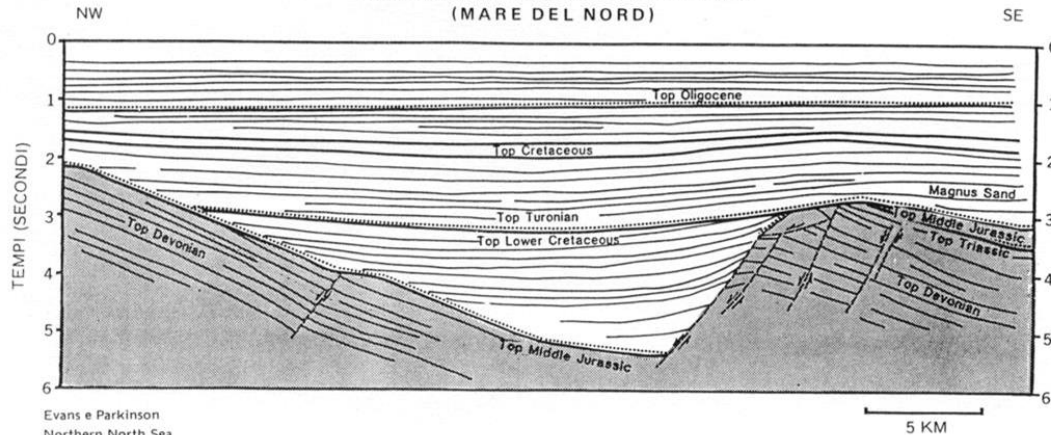


Faglia normale associata ad erosione (letto) e deposizione (sul lembo di tetto). La forma del bacino sedimentario e la stratigrafia dei depositi è controllata dalla attività della faglia





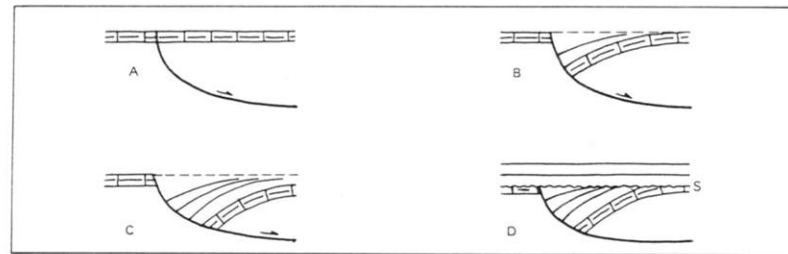
SEMIGRABEN DEL NORD SHETLAND  
(MARE DEL NORD)



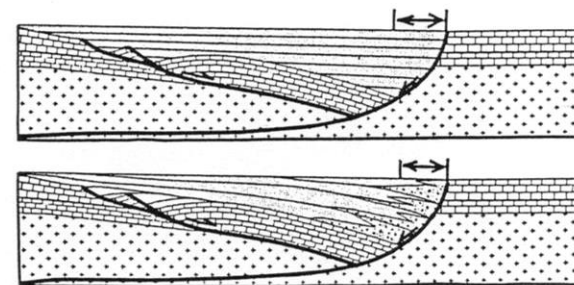
Evans e Parkinson  
Northern North Sea  
AAPG Studies in Geology Series 15 II (2.2.2 - 9)

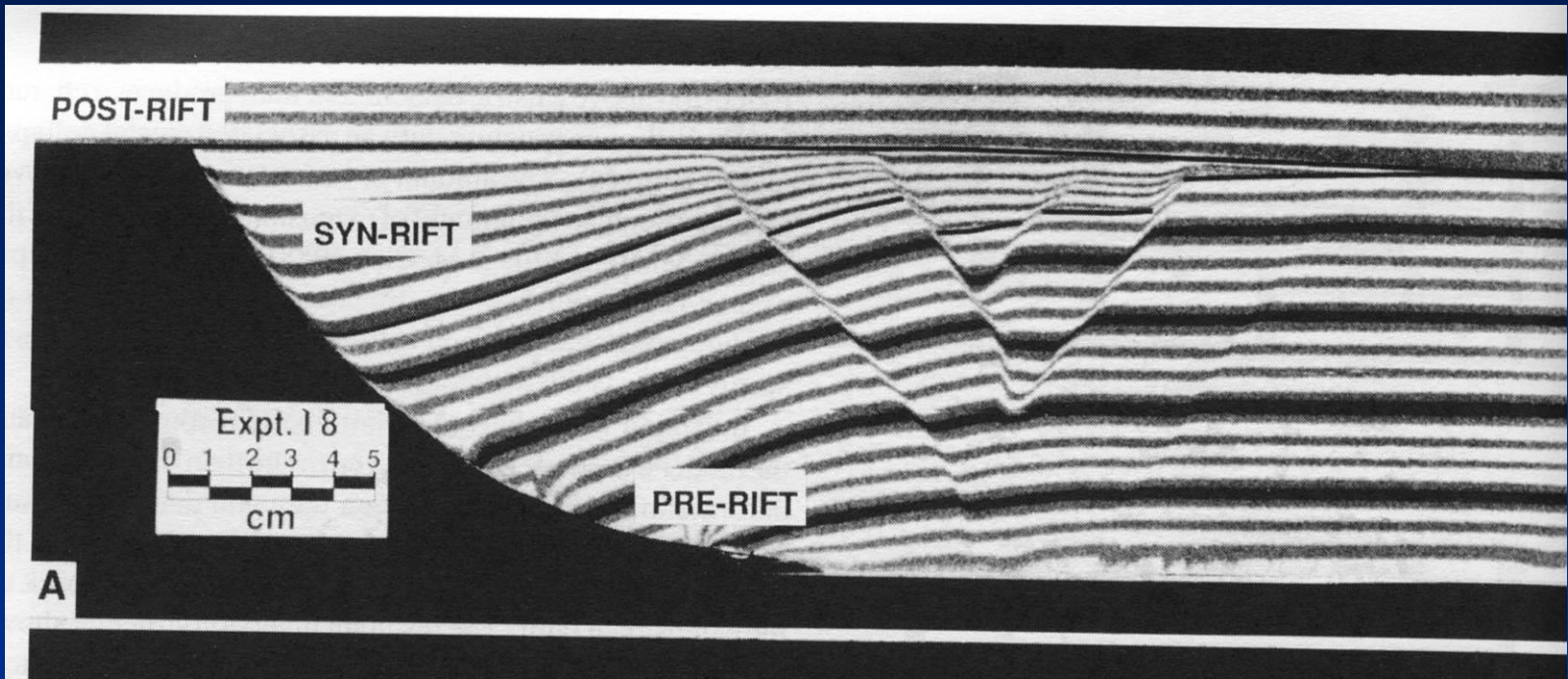
Velocità di attivazione della faglia elevata, basso tasso di sedimentazione

Tasso di sedimentazione elevato, movimento della faglia protratto nel tempo.



I due casi precedenti a confronto





Depositi di pre-, sin- e post-rift.